

ФЕДЕРАЛЬНОЕ АГЕНТСТВО ПО ОБРАЗОВАНИЮ  
МОСКОВСКИЙ ИНЖЕНЕРНО-ФИЗИЧЕСКИЙ ИНСТИТУТ  
(ГОСУДАРСТВЕННЫЙ УНИВЕРСИТЕТ)

В.Т. Сапунов

# **Прикладная теория упругости**

Учебное пособие

Часть 2

Рекомендовано УМО «Ядерные физика и технологии»  
в качестве учебного пособия для студентов высших  
учебных заведений

Москва 2008

УДК 539.3 (075)  
ББК 22.251я7  
С 19

Сапунов В.Т. **Прикладная теория упругости**: Учеб. пособие в 2-х частях. Ч. 2. М.: МИФИ, 2008. – 140 с.

Предлагаемое издание является второй частью учебного пособия, в которой рассмотрены плоская задача в комплексных переменных, теория изгиба тонких плит и вариационные принципы и энергетические методы решения задач теории упругости. Особое внимание уделено простоте построения уравнений теории упругости, определяющих решения поставленных задач, выявляющих особенности напряженно-деформированного состояния элементов конструкций. Все решаемые задачи доведены до конечных формул и представляют интерес для практики инженерных расчетов.

Пособие рекомендовано для студентов старших курсов специальностей «Физика прочности» и «Основы конструирования физических установок», аспирантов и инженерно-технических работников, специализирующихся в области прочности и жесткости элементов конструкций.

Пособие подготовлено в рамках Инновационной образовательной программы

Рецензент: д-р техн. наук, профессор Е.М. Морозов (МИФИ)

ISBN 978 – 5 – 7262 – 1056 – 8

© Московский инженерно-физический институт  
(государственный университет), 2008

## Оглавление

<b>1. Плоская задача теории упругости в комплексных переменных (метод Колосова – Мухелишвили) . . . . .</b>	<b>6</b>
1.1. Комплексные переменные и комплексные функции . . . . .	6
1.2. Комплексное представление плоской задачи . . . . .	8
1.2.1. Комплексное представление функции напряжений . . . . .	9
1.2.2. Комплексное представление перемещений . . . . .	11
1.2.3. Комплексное представление напряжений . . . . .	14
1.2.4. Комплексное представление нагрузки, приложенной к контуру . . . . .	16
1.2.5. Комплексное представление перемещений и напряжений в полярных координатах . . . . .	18
1.3. Степень определенности введенных комплексных функций . . . . .	19
1.3.1. Односвязная область . . . . .	19
1.3.2. Конечная многосвязная область . . . . .	22
1.3.3. Бесконечная многосвязная область . . . . .	27
1.4. Приведение основных граничных задач к задачам теории функций комплексных переменных . . . . .	33
1.4.1. Односвязная конечная область . . . . .	34
1.4.2. Бесконечная область с отверстием . . . . .	36
1.4.3. Конечная многосвязная область . . . . .	38
1.5. Решение некоторых задач плоской теории упругости . . . . .	40
1.5.1. Решение первой основной граничной задачи для бесконечной плоскости с круговым отверстием . . . . .	40
1.5.2. Решение первой основной граничной задачи для кругового кольца . . . . .	53
1.6. Решение граничных задач для полуплоскости и плоскости с прямолинейными разрезами . . . . .	62
1.6.1. Преобразование общих формул для полуплоскости . . . . .	62
1.6.2. Решение первой основной граничной задачи для полуплоскости . . . . .	68
1.6.3. Решение первой основной граничной задачи для плоскости с прямолинейными разрезами . . . . .	69
1.7. Напряженное состояние в вершине разреза (трещины) при растяжении пластины . . . . .	75

<b>2. Изгиб тонких плит (пластин) . . . . .</b>	<b>79</b>
2.1. Изгиб прямоугольных пластин . . . . .	80
2.1.1. Уравнение прогибов при изгибе прямоугольной пластины . . . . .	81
2.1.2. Граничные условия при изгибе . . . . .	86
2.1.3. Мембранная аналогия при изгибе прямоугольной пластины . . . . .	89
2.1.4. Потенциальная энергия изогнутой прямоугольной пластины . . . . .	90
2.2. Изгиб круглых пластин . . . . .	100
2.2.1. Уравнение прогибов в полярных координатах. Граничные условия . . . . .	100
2.2.2. Симметрично нагруженные круглые пластины . . . . .	104
<b>3. Вариационные принципы и энергетические методы в теории упругости . . . . .</b>	<b>111</b>
3.1. Общие и частные вариационные принципы и теоремы теории упругости. . . . .	111
3.2. Принцип возможных работ . . . . .	116
3.3. Принцип минимума потенциальной энергии (принцип Лагранжа) . . . . .	117
3.4. Принцип минимума дополнительной работы (принцип Кастильяно) . . . . .	119
3.5. Энергетические методы решения задач теории упругости. . . . .	120
3.5.1. Метод Рэлея – Ритца . . . . .	121
3.5.2. Метод Бубнова – Галеркина . . . . .	130
<b>Список литературы . . . . .</b>	<b>139</b>

В первой части учебного пособия [1] изложены основы теории упругости, начиная с рассмотрения соответствующей расчетной модели и законов механики сплошного твердого деформируемого тела. Получены основные уравнения теории упругости, следующие из законов равновесия и сплошности, проведено подробное исследование напряженного и деформированного состояний в точке. В общем виде рассмотрена задача определения перемещений по заданным компонентам деформаций с выявлением условий однозначности ее решения и получением условий совместности (неразрывности) деформаций Сен-Венана. Построение функциональной связи между напряжениями и деформациями (обобщенного закона Гука) проведено на базе физического закона механики деформируемого твердого тела. Здесь получен линейный физический закон для однородного изотропного материала и рассмотрены основные упругие технические постоянные, характеризующие свойства реальных материалов.

Рассмотрена полная система определяющих уравнений упругого равновесия и общие методы решения граничных задач линейной теории упругости. При представлении задач теории упругости в перемещениях и в напряжениях получены основные уравнения и общие методы решений этих уравнений.

Дана постановка температурных и динамических задач линейной теории упругости с получением определяющих уравнений и обсуждением методов их решения.

Отметим, что на практике приходится встречаться с довольно обширным, практически очень важным классом основных задач теории упругости, в которых на форму тела и на приложенные к нему внешние силы накладываются определенные ограничения. Первая часть пособия охватывает лишь часть таких задач: подробно рассмотрены задача Сен-Венана с проверкой гипотез сопротивления материалов и решением проблемы кручения призматических стержней, плоская задача в действительных переменных в прямоугольной и полярной системах координат и задача осесимметричного нагружения оболочек вращения с решениями по безмоментной и моментной теориям.

Во второй части учебного пособия рассмотрены плоская задача в комплексных переменных (глава 1), теория изгиба тонких плит (глава 2) и вариационные принципы и энергетические методы решения задач теории упругости (глава 3). Особое внимание уделено простоте построения уравнений теории упругости, определяющих решения поставленных задач, выявляющих особенности напряженно-деформированного состояния элементов конструкций. Все решаемые задачи доведены до конечных формул и представляют интерес для практики инженерных расчетов.

# 1. Плоская задача теории упругости в комплексных переменных (метод Колосова – Мусхелишвили)

При рассмотрении плоской задачи теории упругости в действительных переменных показано, что и задача о плоской деформации, и задача о плоском напряженном состоянии при наличии объемных сил тяжести сводятся к определению функции напряжений, удовлетворяющей бигармоническому уравнению.

Трудности, связанные с решением бигармонического уравнения для более или менее широких классов частных случаев, имеющих практическое значение, привели к поиску эффективных методов решения этого уравнения, в частности, к решению с применением комплексных переменных.

Впервые решение плоской задачи теории упругости в комплексных переменных было построено Г.В. Колосовым (1909, 1914 гг.). Комплексное представление общего решения плоской задачи оказалось весьма плодотворным не только для эффективного решения основных граничных задач, но и для исследований общего характера, например, возможности обобщений на случай анизотропных тел. Н.И. Мусхелишвили принадлежит более строгий вывод формул, полученных Г.В. Колосовым, а также ряда других формул, представляющих результаты в более простой форме, и применение этих формул к решению основных граничных задач при использовании конформного отображения и свойств интегралов типа Коши.

## 1.1. Комплексные переменные и комплексные функции

В комплексную переменную  $z$  входят две вещественные переменные  $x$  и  $y$ , так что  $z = x + iy$ , где  $i = \sqrt{-1}$  – мнимая единица;  $x$  – вещественная часть комплексной переменной;  $y$  (коэффициент при  $i$ ) – мнимая часть. В полярных координатах, учитывая, что  $x = r \cos \theta$ ,  $y = r \sin \theta$ , имеем  $z = r(\cos \theta + i \sin \theta) = r e^{i\theta}$ , где  $r = \sqrt{x^2 + y^2}$  – модуль комплексного числа;  $\theta$  – его аргумент.

Комплексная переменная  $\bar{z} = x - iy$  носит название сопряженной переменной  $z$ . В полярных координатах переменная  $\bar{z}$  записывается в виде:  $\bar{z} = re^{-i\theta}$ . Очевидно, что  $z\bar{z} = r^2$ .

Функция комплексной переменной  $z$  носит название комплексной функции. Подобно комплексной переменной, комплексная функция может быть разделена на вещественную и мнимую части:

$$f(z) = f(x + iy) = P(x, y) + iQ(x, y) ,$$

где  $P(x, y)$  и  $Q(x, y)$  – функции вещественных переменных  $x$  и  $y$ .

Функция  $\overline{f(z)}$ , сопряженная с комплексной функцией  $f(z)$ , имеет вид:

$$\overline{f(z)} = P(x, y) - iQ(x, y) .$$

Комплексная функция  $f(z)$  называется аналитической (или регулярной, или голоморфной) в области  $S$ , если она однозначна и дифференцируема в каждой точке этой области. Необходимыми и достаточными условиями для выполнения этих требований являются уравнения Коши – Римана:

$$\frac{\partial P}{\partial x} = \frac{\partial Q}{\partial y} , \quad \frac{\partial P}{\partial y} = -\frac{\partial Q}{\partial x} .$$

Точки области, в которых функция  $f(z)$  не имеет производных, называются особыми точками (особенностями) аналитической функции.

Можно показать, что если функция  $f(z)$  является аналитической в области  $S$ , то в этой области существуют не только первые производные функций  $P$  и  $Q$ , но и производные высших порядков.

Для аналитической комплексной функции справедливо следующее утверждение: функции  $P$  и  $Q$  являются гармоническими сопряженными функциями, т.е. удовлетворяют уравнению Лапласа

са. Действительно, если из уравнений Коши – Римана путем дифференцирования поочередно исключать  $P$  и  $Q$ , будем иметь:

$$\frac{\partial^2 P}{\partial x^2} + \frac{\partial^2 P}{\partial y^2} = 0, \quad \frac{\partial^2 Q}{\partial x^2} + \frac{\partial^2 Q}{\partial y^2} = 0.$$

Обратимся к правилам дифференцирования комплексной функции. Понятия предела, непрерывности и производной функции комплексной переменной  $f(z)$  определяются формально так же, как и для функции действительной переменной. Учитывая, что  $z = x + iy$ , имеем

$$\partial z / \partial x = 1, \quad \partial z / \partial y = i.$$

В таком случае справедливы соотношения

$$\frac{\partial f}{\partial x} = \frac{df}{dz} \frac{\partial z}{\partial x} = \frac{df}{dz}, \quad \frac{\partial f}{\partial y} = \frac{df}{dz} \frac{\partial z}{\partial y} = i \frac{df}{dz},$$

используя которые можно получить

$$\frac{df}{dz} = \frac{1}{2} \left( \frac{\partial f}{\partial x} - i \frac{\partial f}{\partial y} \right), \quad \frac{df}{d\bar{z}} = \frac{1}{2} \left( \frac{\partial f}{\partial x} + i \frac{\partial f}{\partial y} \right).$$

Некоторые другие понятия и зависимости теории функций комплексных переменных будут использоваться в последующем изложении по мере необходимости.

## 1.2. Комплексное представление плоской задачи

Решение плоской задачи теории упругости сводится к определению функции напряжений  $U(x, y)$ , удовлетворяющей бигармоническому уравнению  $\nabla^2 \nabla^2 U = 0$  (при отсутствии объемных сил) и заданным граничным условиям на контуре области  $S$ , занятой

телом. Область  $S$  будем считать односвязной до тех пор, пока иное не будет оговорено особо.

### 1.2.1. Комплексное представление функции напряжений

Рассматривая бигармоническое уравнение  $\nabla^2 \nabla^2 U = 0$ , можем утверждать, что гармоническая функция  $P = \nabla^2 U$  является решением этого уравнения. Пользуясь соотношениями Коши – Римана, можем подобрать гармоническую функцию  $Q$ , сопряженную с функцией  $P$ , и составить функцию комплексной переменной  $f(z) = P + iQ$ , аналитическую в области  $S$ , занятой телом. Поскольку гармоническая функция  $Q$  определяется соотношениями Коши – Римана с точностью до постоянной, функция  $f(z)$  будет определена с точностью до мнимой постоянной.

Интеграл от функции  $f(z)$  также будет аналитической функцией:

$$\varphi(z) = \frac{1}{4} \int f(z) dz = p + iq .$$

Дифференцируя функцию  $\varphi(z)$  по переменной  $z$  и учитывая, что производная по  $z$  равна производной по  $x$ , получим

$$\varphi'(z) = \frac{\partial p}{\partial x} + i \frac{\partial q}{\partial x} = \frac{1}{4} (P + iQ) ,$$

откуда, принимая во внимание соотношения Коши – Римана, будем иметь

$$\frac{\partial p}{\partial x} = \frac{\partial q}{\partial y} = \frac{P}{4} , \quad \frac{\partial p}{\partial y} = - \frac{\partial q}{\partial x} = - \frac{Q}{4} .$$

Учитывая, что функции  $p$  и  $q$  являются гармоническими, применение оператора Лапласа к функции  $xp + yq$  позволяет

получить

$$\nabla^2(xp + yq) = 2\frac{\partial p}{\partial x} + 2\frac{\partial q}{\partial y} = P \quad .$$

Принимая во внимание соотношение  $P = \nabla^2 U$ , введем в рассмотрение новую гармоническую функцию

$$p_1 = U - xp - yq$$

и представим функцию напряжений в виде:

$$U = p_1 + xp + yq \quad .$$

Будем считать гармоническую функцию  $p_1$  действительной частью комплексной функции  $\chi(z)$  и, используя соотношения Коши – Римана, подберем мнимую часть в виде гармонической функции  $q_1$ , сопряженной с функцией  $p_1$ . Функция комплексной переменной  $\chi(z) = p_1 + iq_1$  будет аналитической в области  $S$ , занятой телом.

С учетом введенной функции  $\chi(z)$  функцию напряжений  $U$  можем представить в виде:

$$U = \operatorname{Re}[\bar{z}\varphi(z) + \chi(z)] \quad .$$

Далее, используя представление о сопряженных комплексных функциях, окончательно получим:

$$2U = \bar{z}\varphi(z) + z\overline{\varphi(z)} + \chi(z) + \overline{\chi(z)} \quad . \quad (1.1)$$

Представленное соотношение для функции напряжений  $U$  является искомым, однако в дальнейшем чаще придется пользоваться не этим соотношением, а частными производными функции напряжений, поскольку именно они имеют физическое значение.

Легко получить, что

$$2 \frac{\partial U}{\partial x} = \varphi(z) + \bar{z}\varphi'(z) + \overline{\varphi(z)} + z\overline{\varphi'(z)} + \chi'(z) + \overline{\chi'(z)} ,$$

$$2 \frac{\partial U}{\partial y} = i \left[ -\varphi(z) + \bar{z}\varphi'(z) + \overline{\varphi(z)} - z\overline{\varphi'(z)} + \chi'(z) - \overline{\chi'(z)} \right] .$$

Рассмотрение полученных формул показывает, что вместо производных  $\partial U / \partial x$  и  $\partial U / \partial y$  удобнее использовать их комплексную комбинацию

$$f(x, y) = \frac{\partial U}{\partial x} + i \frac{\partial U}{\partial y} = \varphi(z) + z\overline{\varphi'(z)} + \overline{\psi(z)} ,$$

где  $\psi(z) = \chi'(z)$ .

Возвращаясь к соотношению (1.1) для функции напряжений  $U$ , заметим, что справедливо и обратное утверждение: любое соотношение типа (1.1) является бигармонической функцией, если функции  $\varphi(z)$  и  $\chi(z)$  – аналитические комплексные функции.

### 1.2.2. Комплексное представление перемещений

Для определения перемещений воспользуемся уравнениями линейного физического закона, представляя напряжения через функцию напряжений  $U$  :

$$\sigma_x = \frac{\partial^2 U}{\partial y^2} = \lambda \vartheta + 2\mu \frac{\partial u}{\partial x} ,$$

$$\sigma_y = \frac{\partial^2 U}{\partial x^2} = \lambda \vartheta + 2\mu \frac{\partial v}{\partial y} ,$$

$$\tau_{xy} = -\frac{\partial^2 U}{\partial x \partial y} = \mu \left( \frac{\partial u}{\partial y} + \frac{\partial v}{\partial x} \right) ,$$

где  $\vartheta = \frac{\partial u}{\partial x} + \frac{\partial v}{\partial y} + \frac{\partial w}{\partial z}$ .

Решая первые два уравнения относительно производных  $\partial u / \partial x$  и  $\partial v / \partial y$ , будем иметь:

$$2\mu \frac{\partial u}{\partial x} = \frac{\partial^2 U}{\partial y^2} - \frac{\lambda}{2(\lambda + \mu)} \nabla^2 U ,$$

$$2\mu \frac{\partial v}{\partial y} = \frac{\partial^2 U}{\partial x^2} - \frac{\lambda}{2(\lambda + \mu)} \nabla^2 U .$$

Используя введенное ранее обозначение  $P = \nabla^2 U$  и учитывая, что  $P/4 = \partial p / \partial x = \partial q / \partial y$ , представим вторые производные функции напряжений  $U$  в форме:

$$\frac{\partial^2 U}{\partial y^2} = P - \frac{\partial^2 U}{\partial x^2} = 4 \frac{\partial p}{\partial x} - \frac{\partial^2 U}{\partial x^2} ,$$

$$\frac{\partial^2 U}{\partial x^2} = P - \frac{\partial^2 U}{\partial y^2} = 4 \frac{\partial q}{\partial y} - \frac{\partial^2 U}{\partial y^2} .$$

Полученные зависимости позволяют переписать соотношения, определяющие производные перемещений  $\partial u / \partial x$  и  $\partial v / \partial y$ , в следующем виде:

$$2\mu \frac{\partial u}{\partial x} = 4 \frac{\partial p}{\partial x} - \frac{\partial^2 U}{\partial x^2} - \frac{\lambda}{2(\lambda + \mu)} \cdot 4 \frac{\partial p}{\partial x} = - \frac{\partial^2 U}{\partial x^2} + \frac{2(\lambda + 2\mu)}{\lambda + \mu} \cdot \frac{\partial p}{\partial x} ,$$

$$2\mu \frac{\partial v}{\partial y} = - \frac{\partial^2 U}{\partial y^2} + \frac{2(\lambda + 2\mu)}{\lambda + \mu} \cdot \frac{\partial q}{\partial y} .$$

Интегрируя, будем иметь:

$$2\mu u = -\frac{\partial U}{\partial x} + \frac{2(\lambda + 2\mu)}{\lambda + \mu} \cdot p + f_1(y) ,$$

$$2\mu v = -\frac{\partial U}{\partial y} + \frac{2(\lambda + 2\mu)}{\lambda + \mu} \cdot q + f_2(x) .$$

Функции интегрирования  $f_1(y)$  и  $f_2(x)$  определим, подставляя найденные значения перемещений в третье уравнение линейного физического закона и учитывая, что в силу условий Коши – Римана  $(\partial p / \partial y) + (\partial q / \partial x) = 0$  . Будем иметь

$$f_1'(y) + f_2'(x) = 0 \Rightarrow f_1'(y) = -f_2'(x) = C ,$$

где  $C$  – действительная постоянная. В этом случае

$$f_1(y) = Cy + C_1 , \quad f_2(x) = -Cx + C_2 ,$$

но эти две функции не вызывают деформаций (представляют жесткое перемещение тела) и могут быть отброшены.

Окончательно, для определения перемещений имеем:

$$2\mu u = -\frac{\partial U}{\partial x} + \frac{2(\lambda + 2\mu)}{\lambda + \mu} \cdot p ,$$

$$2\mu v = -\frac{\partial U}{\partial y} + \frac{2(\lambda + 2\mu)}{\lambda + \mu} \cdot q ,$$

или, переходя к записи в комплексной форме,

$$2\mu(u + iv) = -\left(\frac{\partial U}{\partial x} + i \frac{\partial U}{\partial y}\right) + \frac{2(\lambda + 2\mu)}{\lambda + \mu} \varphi(z) .$$

Используя теперь полученную ранее комплексную комбинацию производных функции напряжений  $\partial U / \partial x$  и  $\partial U / \partial y$ , будем

иметь:

$$\begin{aligned}
 2\mu(u + iv) &= -\varphi(z) - z\overline{\varphi'(z)} - \overline{\psi(z)} + \frac{2(\lambda + 2\mu)}{\lambda + \mu} \varphi(z) = \\
 &= \kappa\varphi(z) - z\overline{\varphi'(z)} - \overline{\psi(z)} ,
 \end{aligned}
 \tag{1.2}$$

где  $\kappa = \frac{\lambda + 3\mu}{\lambda + \mu} = 3 - 4\nu$  для случая плоской деформации. В случае плоского напряженного состояния постоянная  $\kappa$  должна быть заменена на постоянную  $\kappa^* = \frac{\lambda^* + 3\mu}{\lambda^* + \mu} = \frac{3 - \nu}{1 + \nu} \left( \lambda^* = \frac{2\lambda\mu}{\lambda + 2\mu} \right)$ .

### 1.2.3. Комплексное представление напряжений

Комплексное представление напряжений будем строить, используя соотношения, определяющие составляющие полного напряжения на произвольной площадке с внешней нормалью  $\vec{n}(l, m, n)$ :

$$X_n = \sigma_x l + \tau_{xy} m ,$$

$$Y_n = \tau_{xy} l + \sigma_y m .$$

Перепишем представленные соотношения, подставляя вместо напряжений их значения через функцию напряжений  $U$  и учитывая, что  $l = dy/ds$ ,  $m = -dx/ds$ . Будем иметь

$$X_n = \frac{\partial^2 U}{\partial y^2} \cdot \frac{dy}{ds} - \frac{\partial^2 U}{\partial x \partial y} \cdot \left( -\frac{dx}{ds} \right) \Rightarrow X_n = \frac{d}{ds} \left( \frac{\partial U}{\partial y} \right) ,$$

$$Y_n = \frac{\partial^2 U}{\partial x^2} \cdot \left( -\frac{dx}{ds} \right) - \frac{\partial^2 U}{\partial x \partial y} \cdot \frac{dy}{ds} \Rightarrow Y_n = -\frac{d}{ds} \left( \frac{\partial U}{\partial x} \right) ,$$

или, переходя к записи в комплексной форме,

$$X_n + iY_n = \frac{d}{ds} \left( \frac{\partial U}{\partial y} - i \frac{\partial U}{\partial x} \right) \Rightarrow X_n + iY_n = -i \frac{d}{ds} \left( \frac{\partial U}{\partial x} + i \frac{\partial U}{\partial y} \right).$$

Используя комплексную комбинацию производных функции напряжений  $\partial U / \partial x$  и  $\partial U / \partial y$ , будем иметь:

$$X_n + iY_n = -i \frac{d}{ds} \left[ \varphi(z) + z\overline{\varphi'(z)} + \overline{\psi(z)} \right].$$

Перепишем полученное соотношение в несколько иной форме

$$ds \cdot (X_n + iY_n) = -i \cdot d \left[ \varphi(z) + z\overline{\varphi'(z)} + \overline{\psi(z)} \right]$$

и дадим элементу  $ds$  направление  $dy$ . В этом случае

$$ds = dy, \quad dz = idy, \quad d\bar{z} = -idy, \quad X_n = \sigma_x, \quad Y_n = \tau_{xy}$$

и соотношение, определяющее комплексное представление составляющих полного напряжения на произвольной площадке, принимает вид:

$$\sigma_x + i\tau_{xy} = \varphi'(z) + \overline{\varphi'(z)} - z\overline{\varphi''(z)} - \overline{\psi'(z)}.$$

Придадим теперь элементу  $ds$  направление  $dx$ . В этом случае

$$ds = dx, \quad dz = d\bar{z} = idx, \quad X_n = -\tau_{xy}, \quad Y_n = -\sigma_y.$$

Соответственно, имеем

$$\sigma_y - i\tau_{xy} = \varphi'(z) + \overline{\varphi'(z)} + z\overline{\varphi''(z)} + \overline{\psi'(z)}.$$

Полученные два соотношения определяют искомое комплексное представление напряжений, но их можно заменить более простыми. Действительно, складывая их и вычитая, будем иметь:

$$\begin{aligned}\sigma_x + \sigma_y &= 2 \left[ \phi'(z) + \overline{\phi'(z)} \right] , \\ \sigma_y - \sigma_x - 2i\tau_{xy} &= 2 \left[ z \overline{\phi''(z)} + \overline{\psi'(z)} \right] .\end{aligned}$$

Если заменить во втором уравнении  $i$  на  $-i$ , получим:

$$\sigma_y - \sigma_x + 2i\tau_{xy} = 2 \left[ \bar{z} \phi''(z) + \psi'(z) \right] .$$

С введением новых обозначений  $\phi'(z) = \Phi(z)$ ,  $\psi'(z) = \Psi(z)$ , окончательно будем иметь:

$$\begin{aligned}\sigma_x + \sigma_y &= 2 \left[ \Phi(z) + \overline{\Phi(z)} \right] = 4 \operatorname{Re} \Phi(z) , \\ \sigma_y - \sigma_x + 2i\tau_{xy} &= 2 \left[ \bar{z} \Phi'(z) + \Psi(z) \right] .\end{aligned}\tag{1.3}$$

#### 1.2.4. Комплексное представление нагрузки, приложенной к контуру

Составляющие  $\bar{X}$  и  $\bar{Y}$  внешней нагрузки, приложенной к контуру тела, на произвольной площадке с нормалью  $\bar{n}(l, m, n)$  при положительном направлении обхода контура, когда область, занятая телом, остается слева, представляются известными соотношениями (см. раздел 1.2.3.):

$$\bar{X} = \frac{d}{ds} \left( \frac{\partial U}{\partial y} \right) , \quad \bar{Y} = -\frac{d}{ds} \left( \frac{\partial U}{\partial x} \right) .$$

Соответственно, проекции главного вектора  $X$  и  $Y$  нагрузки, приложенной на участке  $AB$  контура тела, запишем в следующем виде:

$$X = \left[ \frac{\partial U}{\partial y} \right]_A^B , \quad Y = \left[ -\frac{\partial U}{\partial x} \right]_A^B ,$$

где символ  $\left[ \right]_A^B$  обозначает приращение функции, заключенной в скобки, при перемещении по участку контура  $AB$  из точки  $A$  в точку  $B$ .

Переходя к записи главного вектора в комплексной форме, получим:

$$X + iY = \left[ \frac{\partial U}{\partial y} - i \frac{\partial U}{\partial x} \right]_A^B \Rightarrow X + iY = -i \left[ \frac{\partial U}{\partial x} + i \frac{\partial U}{\partial y} \right]_A^B .$$

Используя комплексную комбинацию производных функции напряжений  $\partial U / \partial x$  и  $\partial U / \partial y$ , будем иметь:

$$X + iY = -i \left[ \varphi(z) + z\overline{\varphi'(z)} + \overline{\psi(z)} \right]_A^B . \quad (1.4, a)$$

Аналогичная формула, определяющая главный момент нагрузки, приложенной на участке  $AB$  контура тела, относительно начала координат, имеет вид:

$$M = \text{Re} \left[ \chi(z) - z\psi(z) - z\overline{z}\overline{\varphi'(z)} \right]_A^B . \quad (1.4, б)$$

Поскольку рассматриваемая область  $S$ , занятая телом, односвязная, аналитические комплексные функции  $\varphi(z)$ ,  $\psi(z)$ ,  $\chi(z)$  однозначны в этой области. Поэтому, если точка  $B$  совпадает с точкой  $A$ , как и следует ожидать, будем иметь:

$$X = Y = M = 0 .$$

Полученный результат подтверждает тот факт, что совокупность внешних нагрузок, действующих на контуре области  $S$ , для находящегося в равновесии тела всегда статически эквивалентна нулю.

### 1.2.5. Комплексное представление перемещений и напряжений в полярных координатах

Во многих случаях решение плоской задачи проще строить в полярной системе координат  $r$ ,  $\theta$ , представляя комплексную переменную в виде:  $z = x + iy = re^{i\theta}$  ( $\bar{z} = re^{-i\theta}$ ). Проекции полного перемещения произвольной точки на направления  $r$ ,  $\theta$  обозначим соответственно через  $v_r$  и  $v_\theta$ .

Введенные компоненты перемещения  $v_r$  и  $v_\theta$  легко связать с компонентами перемещения этой же точки  $u$ ,  $v$  в прямоугольных координатах  $x$ ,  $y$ :

$$\begin{aligned}u &= v_r \cos \theta - v_\theta \sin \theta, \\v &= v_r \sin \theta + v_\theta \cos \theta.\end{aligned}$$

Переходя к записи полученных соотношений в комплексной форме, после некоторых простых преобразований получим:

$$u + iv = (v_r + iv_\theta)e^{i\theta} \Rightarrow v_r + iv_\theta = (u + iv)e^{-i\theta}.$$

Используя комплексную комбинацию перемещений  $u$ ,  $v$  в форме полученной ранее зависимости (1.2), будем иметь:

$$2\mu(v_r + iv_\theta) = e^{-i\theta} \left[ \kappa\varphi(z) - z\overline{\varphi'(z)} - \overline{\psi(z)} \right].$$

Полученное соотношение определяет компоненты перемещения  $v_r$  и  $v_\theta$  в полярных координатах, если в правой части заменить переменную  $z$  на ее значение  $re^{i\theta}$  и отделить действительную часть от мнимой.

В полярной системе координат компоненты тензора напряжений обозначим как  $\sigma_r$ ,  $\sigma_\theta$ ,  $\tau_{r\theta}$ . Используя формулы преобразования компонентов тензора напряжений при замене системы координат, легко получить:

$$\begin{aligned}\sigma_r + \sigma_\theta &= \sigma_x + \sigma_y \quad , \\ \sigma_\theta - \sigma_r + 2i\tau_{r\theta} &= (\sigma_y - \sigma_x + 2i\tau_{xy})e^{2i\theta} \quad .\end{aligned}$$

Комплексное представление напряжений в прямоугольной системе координат определяется зависимостями (1.3). Соответственно, для напряжений в полярной системе координат будем иметь:

$$\begin{aligned}\sigma_r + \sigma_\theta &= 2 [\Phi(z) + \overline{\Phi(z)}] = 4 \operatorname{Re} \Phi(z) \quad , \\ \sigma_\theta - \sigma_r + 2i\tau_{r\theta} &= 2e^{2i\theta} [\bar{z}\Phi'(z) + \Psi(z)] \quad .\end{aligned}$$

Вычитая из первого соотношения второе, можем получить еще одну полезную формулу:

$$\sigma_r - i\tau_{r\theta} = \Phi(z) + \overline{\Phi(z)} - e^{2i\theta} [\bar{z}\Phi'(z) + \Psi(z)] \quad ,$$

определяющую напряжения, действующие на площадке, расположенной на дуге окружности  $r = \text{const}$ .

### 1.3. Степень определенности введенных комплексных функций

#### 1.3.1. Односвязная область

Комплексное представление перемещений (1.2) и напряжений (1.3) показывает, что при заданных аналитических комплексных функциях  $\Phi(z)$ ,  $\Psi(z)$ ,  $\varphi(z)$ ,  $\psi(z)$  перемещения точек тела и напряжения в каждой его точке определены однозначно. Напомним, что область  $S$ , занятую телом, считаем односвязной.

Перейдем к рассмотрению вопроса о том, насколько определены комплексные функции  $\Phi$ ,  $\Psi$ ,  $\varphi$ ,  $\psi$  заданием напряженного состояния или же заданием перемещений точек тела.

Пусть *заданное напряженное состояние* определяется набором комплексных функций  $\Phi$ ,  $\Psi$ ,  $\varphi$ ,  $\psi$ :

$$\begin{aligned}\sigma_x + \sigma_y &= 2 [\Phi(z) + \overline{\Phi(z)}] = 4 \operatorname{Re} \Phi(z) , \\ \sigma_y - \sigma_x + 2i\tau_{xy} &= 2 [\bar{z} \Phi'(z) + \Psi(z)] , \\ \varphi(z) &= \int \Phi(z) dz , \quad \psi(z) = \int \Psi(z) dz .\end{aligned}$$

Предположим, что имеет место другой набор комплексных функций  $\Phi_1, \Psi_1, \varphi_1, \psi_1$ , определяющих это же напряженное состояние:

$$\begin{aligned}\sigma_x + \sigma_y &= 2 [\Phi_1(z) + \overline{\Phi_1(z)}] = 4 \operatorname{Re} \Phi_1(z) , \\ \sigma_y - \sigma_x + 2i\tau_{xy} &= 2 [\bar{z} \Phi_1'(z) + \Psi_1(z)] , \\ \varphi_1(z) &= \int \Phi_1(z) dz , \quad \psi_1(z) = \int \Psi_1(z) dz .\end{aligned}$$

Из рассмотрения первых уравнений, определяющих напряженное состояние, легко видеть, что функции  $\Phi_1$  и  $\Phi$  имеют одинаковые действительные части, значит, сами функции могут отличаться только мнимой постоянной  $iC$  :

$$\Phi_1(z) = \Phi(z) + iC .$$

Учитывая, что  $\Phi_1'(z) = \Phi'(z)$ , из сравнения вторых уравнений сразу следует:

$$\Psi_1(z) = \Psi(z) .$$

Соответственно, для функций  $\varphi_1(z)$  и  $\psi_1(z)$  будем иметь:

$$\begin{aligned}\varphi_1(z) &= \varphi(z) + iCz + \gamma , \\ \psi_1(z) &= \psi(z) + \gamma' ,\end{aligned}$$

где  $\gamma$  и  $\gamma'$  – произвольные комплексные постоянные.

Таким образом, при заданном напряженном состоянии функция  $\Psi(z)$  определена полностью, функция  $\Phi(z)$  – с точностью до слагаемого  $iC$ , функция  $\varphi(z)$  – с точностью до слагаемого  $iCz + \gamma$  и функция  $\psi(z)$  – с точностью до слагаемого  $\gamma'$ . Этим самым утверждается, что все три постоянные  $C$ ,  $\gamma$  и  $\gamma'$  могут быть заданы произвольно.

С другой стороны, очевидно, что напряженное состояние не изменится, если

- функцию  $\varphi(z)$  заменить на функцию  $\varphi(z) + iCz + \gamma$ ;
- функцию  $\psi(z)$  заменить на функцию  $\psi(z) + \gamma'$ .

При этом функция  $\Phi(z) = \varphi'(z)$  заменяется на  $\Phi(z) + iC$ , а функция  $\Psi(z)$  остается без изменения.

Задание перемещений точек тела вполне определяет компоненты напряженного состояния. Ясно, что при **заданных перемещениях** замены комплексных функций можно проводить только по типу рассмотренных выше. Посмотрим, как влияют такие замены на компоненты перемещений, определяемых комплексным соотношением (1.2):

$$2\mu(u + iv) = \kappa\varphi(z) - z\overline{\varphi'(z)} - \overline{\psi(z)} .$$

Непосредственная замена функций  $\varphi(z)$  и  $\psi(z)$  на функции  $\varphi_1(z)$  и  $\psi_1(z)$  позволяет получить

$$2\mu(u_1 + iv_1) = 2\mu(u + iv) + (\kappa + 1)Ciz + \kappa\gamma - \gamma' ,$$

откуда следует, что проведенная замена комплексных функций без изменения значений перемещений возможна только в том случае, если

$$C = 0 , \quad \kappa\gamma - \gamma' = 0 .$$

Следовательно, при заданных перемещениях можно произвольно

распорядиться только одной из комплексных постоянных  $\gamma$ ,  $\gamma'$ .

Этот же результат можно получить, полагая  $\gamma = \alpha + i\beta$ ,  $\gamma' = \alpha' + i\beta'$  и записывая перемещения  $u_1$  и  $v_1$  через  $u$  и  $v$ . Будем иметь

$$u_1 = u + u_0, \quad v_1 = v + v_0,$$

где

$$u_0 = -\frac{(\kappa+1)C}{2\mu}y + \frac{\kappa\alpha - \alpha'}{2\mu}, \quad v_0 = \frac{(\kappa+1)C}{2\mu}x + \frac{\kappa\beta + \beta'}{2\mu}.$$

Видно, что слагаемые  $u_0$  и  $v_0$  определяют жесткое перемещение тела как целого, и, соответственно, эти слагаемые должны быть приравнены к нулю, что и приводит к уже известному результату.

Возможность произвольного выбора постоянных позволяет принимать их, например, равными нулю или обеспечивать соблюдение некоторых условий для рассматриваемых комплексных функций.

Так, при *заданных напряжениях* постоянные  $C$ ,  $\gamma$  и  $\gamma'$  можем выбрать так, чтобы

$$\varphi(0) = 0, \quad \text{мнимая часть } \varphi'(0) = 0, \quad \psi(0) = 0.$$

При *заданных перемещениях* подходящим выбором постоянной  $\gamma$  или  $\gamma'$  можно обеспечить

$$\varphi(0) = 0 \quad \text{или} \quad \psi(0) = 0.$$

### 1.3.2. Конечная многосвязная область

Будем считать, что область  $S$ , занятая телом, ограничена несколькими простыми замкнутыми контурами  $L_1, L_2, \dots, L_m, L_{m+1}$ , из которых последний охватывает все предыдущие; предполагается, что контуры не имеют общих точек.

Напомним, что по определению напряжения и перемещения должны быть однозначными функциями, однако введенные в рассмотрение комплексные функции в случае многосвязной области могут оказаться многозначными.

Рассмотрим, какие условия необходимо выполнить и в каком виде нужно выбрать комплексные функции, чтобы сохранить однозначность напряжений и перемещений.

Прежде всего, формула  $\sigma_x + \sigma_y = 4 \operatorname{Re} \Phi(z)$  показывает, что действительная часть функции  $\Phi(z)$  должна быть однозначна. Однако ее мнимая часть при однократном обходе какого-либо замкнутого контура  $L'_k$  ( $k = 1, 2, \dots, m$ ), охватывающего один из контуров  $L_k$  (или при обходе самого контура  $L_k$ , поскольку  $L'_k$  стягивается к  $L_k$ ), может испытать приращение вида  $iB_k = i \cdot 2\pi A_k$ , где  $B_k$  ( $A_k$ ) – действительная постоянная.

Введем в рассмотрение новую функцию

$$\Phi^*(z) = \Phi(z) - \sum_{k=1}^m A_k \ln(z - z_k),$$

где  $z_k$  – произвольно выбранная точка внутри контура  $L_k$  (вне контура  $S$ ). Функция  $\ln(z - z_k)$  при обходе против часовой стрелки вокруг контура  $L_k$  получает приращение  $2\pi i$ . Действительно,  $\ln z = \ln r e^{i\theta} = \ln r + \ln e^{i\theta} = \ln r + i\theta$ , и при обходе контура по положительному направлению угла  $\theta$  (против часовой стрелки) получаем приращение  $\theta$ , равное  $2\pi$ . Соответственно, функция  $A_k \ln(z - z_k)$  прирастет на величину  $2\pi i A_k$ , а остальные слагаемые под знаком суммы вернутся к своим прежним значениям.

Итак, имеем

$$\Phi(z) = \sum_{k=1}^m A_k \ln(z - z_k) + \Phi^*(z),$$

где функция  $\Phi^*(z)$  является аналитической и, следовательно, однозначной в области  $S$ .

Для комплексной функции  $\varphi(z)$  получаем:

$$\varphi(z) = \int_{z_0}^z \Phi(z) dz + \text{const} = \sum_{k=1}^m A_k [(z - z_k) \ln(z - z_k) - (z - z_k)] + \int_{z_0}^z \Phi^*(z) dz + \text{const} ,$$

где  $z_0$  – произвольная постоянная точка в области  $S$ . Интеграл  $\int_{z_0}^z \Phi^*(z) dz$  представляет собой функцию комплексной переменной  $z$ , которая при обходе внутреннего контура  $L_k$  может получить приращение типа  $2\pi i c_k$ , где  $c_k$  – постоянная (в общем случае комплексная; множитель  $2\pi i$  введен для удобства). Следовательно, аналогично предыдущему рассмотрению можно принять

$$\int_{z_0}^z \Phi^*(z) dz = \sum_{k=1}^m c_k \ln(z - z_k) + \text{однозначная функция.}$$

Подставляя полученное соотношение в формулу для  $\varphi(z)$  и группируя вместе слагаемые типа  $A_k z_k \ln(z - z_k)$  и  $c_k \ln(z - z_k)$ , получим:

$$\varphi(z) = z \sum_{k=1}^m A_k \ln(z - z_k) + \sum_{k=1}^m \gamma_k \ln(z - z_k) + \varphi^*(z) ,$$

где  $\varphi^*(z)$  – функция, аналитическая в области  $S$ ;  $\gamma_k$  – некоторые комплексные постоянные.

Рассматривая вторую из формул (1.3), определяющих напряженное состояние, а именно

$$\sigma_y - \sigma_x + 2i\tau_{xy} = 2 [\bar{z}\Phi'(z) + \Psi(z)] ,$$

убеждаемся, что функция  $\Psi(z)$  – аналитическая (однозначная) функция. Соответственно, для функции  $\psi(z) = \int \Psi(z)dz$  имеем:

$$\psi(z) = \sum_{k=1}^m \gamma'_k \ln(z - z_k) + \psi^*(z) ,$$

где  $\psi^*(z)$  – функция, аналитическая в области  $S$ ;  $\gamma'_k$  – некоторые комплексные постоянные.

Дополнительно введем в рассмотрение комплексную функцию  $\chi(z) = \int \psi(z)dz$ . По аналогии с предыдущим будем иметь:

$$\chi(z) = z \sum_{k=1}^m \gamma'_k \ln(z - z_k) + \sum_{k=1}^m \gamma''_k \ln(z - z_k) + \chi^*(z) .$$

Посмотрим, какие требования к комплексным функциям должны быть добавлены, чтобы однозначными оставались и перемещения. Комплексное представление перемещений имеет вид (1.2):

$$2\mu(u + iv) = \kappa\varphi(z) - z\overline{\varphi'(z)} - \overline{\psi(z)} .$$

Подставим в приведенную формулу найденные выше соотношения для функций  $\varphi(z)$  и  $\psi(z)$ . Будем иметь:

$$\begin{aligned} 2\mu(u + iv) = & \kappa \left[ z \sum_{k=1}^m A_k \ln(z - z_k) + \sum_{k=1}^m \gamma_k \ln(z - z_k) + \varphi^*(z) \right] - \\ & - z \left[ \sum_{k=1}^m A_k \overline{\ln(z - z_k)} + \overline{\varphi^*(z)} \right] - \sum_{k=1}^m \gamma'_k \overline{\ln(z - z_k)} - \overline{\psi^*(z)} . \end{aligned}$$

При обходе контура  $L_k$  против часовой стрелки функция  $2\mu(u + iv)$  получит следующее приращение:

$$2\mu [u + iv]_{L_k} = 2\pi i \left[ (\kappa + 1)A_k z + \kappa \gamma_k + \overline{\gamma'_k} \right] .$$

Следовательно, для однозначности перемещений необходимо и достаточно, чтобы выполнялись следующие условия:

$$A_k = 0 , \quad \kappa \gamma_k + \overline{\gamma'_k} = 0 \quad (k = 1, 2, \dots, m) .$$

Покажем, что комплексные постоянные  $\gamma_k$  и  $\gamma'_k$  могут быть представлены через компоненты главного вектора  $X_k, Y_k$  внешних усилий, приложенных к контуру  $L_k$  ( $k = 1, 2, \dots, m$ ).

Представление главного вектора нагрузки, приложенной к контуру  $L_k$ , в комплексной форме имеет вид (1.4, а):

$$X_k + iY_k = -i \left[ \varphi(z) + z\overline{\varphi'(z)} + \overline{\psi(z)} \right]_{L_k} ,$$

где на этот раз контур  $L_k$  должен обходиться в направлении часовой стрелки (при положительном обходе область, занятая телом, остается слева). Принимая во внимание данное обстоятельство, будем иметь:

$$X_k + iY_k = -2\pi(\gamma_k - \overline{\gamma'_k}) .$$

Решение двух уравнений относительно комплексных постоянных  $\gamma_k$  и  $\gamma'_k$  позволяет получить:

$$\gamma_k = -\frac{X_k + iY_k}{2\pi(1 + \kappa)} , \quad \gamma'_k = \frac{\kappa(X_k - iY_k)}{2\pi(1 + \kappa)} .$$

Окончательно комплексные функции  $\varphi(z)$  и  $\psi(z)$  будут иметь вид:

$$\varphi(z) = -\frac{1}{2\pi(1+\kappa)} \sum_{k=1}^m (X_k + iY_k) \ln(z - z_k) + \varphi^*(z) ,$$

$$\psi(z) = \frac{\kappa}{2\pi(1+\kappa)} \sum_{k=1}^m (X_k - iY_k) \ln(z - z_k) + \psi^*(z) .$$

### 1.3.3. Бесконечная многосвязная область

Бесконечную многосвязную область можно представить как предельный случай конечной многосвязной области, когда контур  $L_{m+1}$  целиком уходит в бесконечность. Граница такой области состоит из одного или нескольких контуров  $L_1, L_2, \dots, L_m$ .

Очевидно, что все соотношения, определяющие комплексные функции, полученные в разделе 1.3.2, остаются справедливыми для любой конечной области  $S$ . Остается изучить поведение рассматриваемых функций в окрестности бесконечно удаленной точки плоскости.

Опишем из начала координат, как из центра, окружность  $L_R$  радиуса  $R$  так, чтобы все контуры  $L_k$  ( $k = 1, 2, \dots, m$ ) находились внутри  $L_R$ .

Для всякой точки  $z$ , находящейся вне  $L_R$ , будем иметь  $|z| > |z_k|$ . Представим функцию  $\ln(z - z_k)$  в следующем виде:

$$\ln(z - z_k) = \ln z + \ln\left(1 - \frac{z_k}{z}\right) = \ln z -$$

$$-\frac{z_k}{z} - \frac{1}{2}\left(\frac{z_k}{z}\right)^2 - \frac{1}{3}\left(\frac{z_k}{z}\right)^3 - \frac{1}{4}\left(\frac{z_k}{z}\right)^4 - \dots = \ln z + \zeta(z) ,$$

где  $\zeta(z)$  – комплексная функция, аналитическая (голоморфная) вне

$L_R$  (по определению, имеющему место в теории функций комплексной переменной).

Преобразуем формулы для комплексных функций  $\varphi(z)$  и  $\psi(z)$ , полученные в разделе 1.3.2, для точек  $z$ , находящихся вне  $L_R$  (для больших  $|z|$ ) с учетом полученного представления функции  $\ln(z - z_k)$ . Будем иметь:

$$\varphi(z) = -\frac{1}{2\pi(1+\kappa)} \sum_{k=1}^m (X_k + iY_k) [\ln z + \zeta(z)] + \varphi^*(z) \Rightarrow$$

$$\Rightarrow \varphi(z) = -\frac{X + iY}{2\pi(1+\kappa)} \ln z + \varphi^{**}(z) ,$$

$$\psi(z) = \frac{\kappa}{2\pi(1+\kappa)} \sum_{k=1}^m (X_k - iY_k) [\ln z + \zeta(z)] + \psi^*(z) \Rightarrow$$

$$\Rightarrow \psi(z) = \frac{\kappa(X - iY)}{2\pi(1+\kappa)} \ln z + \psi^{**}(z) ,$$

где  $X = \sum_{k=1}^m X_k$  и  $Y = \sum_{k=1}^m Y_k$  – составляющие главного вектора всех внешних усилий, приложенных к границе области  $S$  ( $\kappa$  совокупности контуров  $L_1, L_2, \dots, L_m$ );  $\varphi^{**}(z)$  и  $\psi^{**}(z)$  – комплексные функции, аналитические (голоморфные) вне  $L_R$ .

Согласно теореме Лорана<sup>1</sup> функции  $\varphi^{**}(z)$  и  $\psi^{**}(z)$  можно разложить в ряд вне окружности  $L_R$ :

---

<sup>1</sup> Если функция  $f(z)$  голоморфна внутри кругового кольца, ограниченного концентрическими окружностями  $L_1$  и  $L_2$ , то в этой области она разлагается в ряд вида  $f(z) = \sum_{k=-\infty}^{+\infty} a_k z^k$ . В рассматриваемом случае роль  $L_1$  исполняет  $L_R$ , а роль  $L_2$  – бесконечно большая окружность.

$$\varphi^{**}(z) = \sum_{-\infty}^{+\infty} a_n z^n, \quad \psi^{**}(z) = \sum_{-\infty}^{+\infty} a'_n z^n.$$

Приведенными рассуждениями комплексные функции  $\varphi(z)$  и  $\psi(z)$  полностью определены в окрестности бесконечно удаленной точки плоскости. Однако, поскольку эти функции предназначены для описания напряжений и перемещений, необходимо добавить условия ограниченности этих величин на бесконечности: напряжения и перемещения должны принимать конечные значения в бесконечно удаленных частях плоскости.

Рассмотрим, каковы должны быть комплексные функции  $\varphi(z)$  и  $\psi(z)$  при соблюдении условия об **ограниченности напряжений** во всей рассматриваемой области  $S$ .

Формулы для комплексного представления напряжений в общем случае имеют вид (1.3):

$$\begin{aligned} \sigma_x + \sigma_y &= 2 [\Phi(z) + \overline{\Phi(z)}] = 2 [\varphi'(z) + \overline{\varphi'(z)}], \\ \sigma_y - \sigma_x + 2i\tau_{xy} &= 2 [\bar{z}\Phi'(z) + \Psi(z)] = 2 [\bar{z}\varphi''(z) + \psi'(z)]. \end{aligned}$$

Подставляя полученные соотношения для функций  $\varphi(z)$  и  $\psi(z)$  в первое уравнение, получим:

$$\sigma_x + \sigma_y = 2 \left\{ -\frac{X+iY}{2\pi(1+\kappa)} \cdot \frac{1}{z} - \frac{X-iY}{2\pi(1+\kappa)} \cdot \frac{1}{\bar{z}} + \sum_{-\infty}^{+\infty} n (a_n z^{n-1} + \bar{a}_n \bar{z}^{n-1}) \right\}.$$

Неограниченное возрастание суммы напряжений  $\sigma_x + \sigma_y$  вместе с ростом  $|z|$  связано с членами ряда

$$\sum_{n=2}^{\infty} n (a_n z^{n-1} + \bar{a}_n \bar{z}^{n-1}) = \sum_{n=2}^{\infty} n r^{n-1} (a_n e^{i(n-1)\theta} + \bar{a}_n e^{-i(n-1)\theta}).$$

Очевидно, что для обеспечения ограниченности суммы  $\sigma_x + \sigma_y$  нужно принять

$$a_n = \bar{a}_n = 0 \quad \text{при } n \geq 2 .$$

Подобным образом можно убедиться, что для обеспечения ограниченности комбинации напряжений  $\sigma_y - \sigma_x + 2i\tau_{xy}$  необходимо и достаточно, чтобы оставался ограниченным ряд

$$\sum_{n=2}^{\infty} nr^{n-1} a'_n e^{i(n-1)\theta} ,$$

откуда следует

$$a'_n = 0 \quad \text{при } n \geq 2 .$$

Таким образом, с учетом введенного условия об *ограниченности напряжений* во всей рассматриваемой области  $S$ , комплексные функции  $\varphi(z)$  и  $\psi(z)$  принимают вид:

$$\begin{aligned} \varphi(z) &= -\frac{X+iY}{2\pi(1+\kappa)} \ln z + \Gamma z + \varphi_0(z) , \\ \psi(z) &= \frac{\kappa(X-iY)}{2\pi(1+\kappa)} \ln z + \Gamma' z + \psi_0(z) , \end{aligned}$$

где  $\Gamma = B + iC$ ,  $\Gamma' = B' + iC'$  – комплексные постоянные;  $\varphi_0(z)$  и  $\psi_0(z)$  – функции, голоморфные вне окружности  $L_R$ , представляемые при достаточно больших значениях  $|z|$  разложениями вида<sup>1</sup>

---

<sup>1</sup> Поменяли ряд  $\sum_{-\infty}^{+\infty} a_n z^n$  на ряд  $\sum_{-1}^{\infty} a_n (1/z^n)$  и выделили отдельно слагаемое

$$a_{-1} z \equiv \Gamma z .$$

$$\varphi_0(z) = a_0 + \frac{a_1}{z} + \frac{a_2}{z^2} + \dots, \quad \psi_0(z) = a'_0 + \frac{a'_1}{z} + \frac{a'_2}{z^2} + \dots$$

Поскольку при заданном напряженном состоянии можем произвольно распоряжаться некоторыми постоянными, входящими в функции  $\varphi$  и  $\psi$  (раздел 1.3.1), можем принять

$$C = 0 ;$$

$$a_0 = a'_0 = 0 \Rightarrow \varphi_0(\infty) = \psi_0(\infty) = 0 .$$

Действительные постоянные  $B$ ,  $B'$  и  $C'$ , входящие в соотношения для функций  $\varphi(z)$  и  $\psi(z)$  посредством комплексных постоянных  $\Gamma$  и  $\Gamma'$ , имеют простой физический смысл. Действительно, рассматривая поведение напряжений на бесконечности, будем иметь:

$$\lim_{|z| \rightarrow \infty} (\sigma_x + \sigma_y) = 2(\Gamma + \bar{\Gamma}) = 4 \operatorname{Re} \Gamma = 4B ,$$

$$\lim_{|z| \rightarrow \infty} (\sigma_y - \sigma_x + 2i\tau_{xy}) = 2\Gamma' = 2(B' + iC') .$$

Решение представленных уравнений относительно напряжений в бесконечно удаленных точках плоскости позволяет записать:

$$\sigma_x^\infty = 2B - B' , \quad \sigma_y^\infty = 2B + B' , \quad \tau_{xy}^\infty = C' .$$

Полученные соотношения показывают, что на бесконечности имеет место равномерное распределение напряжений, вернее, распределение, бесконечно мало отличающееся от равномерного. Если принять, что  $N_1$  и  $N_2$  – значения главных напряжений на бесконечности, а  $\alpha$  – угол, который главная ось 1 составляет с осью  $x$ , то, воспользовавшись формулами перехода компонентов тензора

напряжений при замене прямоугольной системы координат<sup>1</sup>, можно получить:

$$\begin{aligned}\sigma_x^\infty + \sigma_y^\infty &= N_1 + N_2 \quad , \\ \sigma_y^\infty - \sigma_x^\infty + 2i\tau_{xy}^\infty &= -(N_1 - N_2)e^{-2i\alpha} \quad .\end{aligned}$$

Переходя к постоянным  $B$ ,  $B'$  и  $C'$ , будем иметь:

$$\begin{aligned}\operatorname{Re}\Gamma = B &= \frac{1}{4}(N_1 + N_2) \quad , \\ \Gamma' = B' + iC' &= -\frac{1}{2}(N_1 - N_2)e^{-2i\alpha} \quad .\end{aligned}$$

Перейдем теперь к рассмотрению требования об *ограниченности перемещений* во всей рассматриваемой области  $S$ . Напомним, что в общем случае комплексное представление перемещений имеет вид (1.2):

$$2\mu(u + iv) = \kappa\phi(z) - z\overline{\phi'(z)} - \overline{\psi(z)} \quad .$$

Подставляя имеющиеся соотношения для функций  $\phi(z)$  и  $\psi(z)$ , получим:

$$2\mu(u + iv) = -\frac{\kappa(X + iY)}{2\pi(1 + \kappa)} \ln(z\bar{z}) + (\kappa\Gamma - \bar{\Gamma}')z - \bar{\Gamma}'\bar{z} + \dots \quad ,$$

где многоточие определяет слагаемые, остающиеся ограниченными при сколь угодно больших значениях  $|z|$ . Можно видеть, что пере-

---

<sup>1</sup> При переходе в плоскости от одной прямоугольной системы координат  $(xy)$  к другой  $(x'y')$  имеем:

$$\sigma_{x'} + \sigma_{y'} = \sigma_x + \sigma_y \quad , \quad \sigma_{y'} - \sigma_{x'} + 2i\tau_{x'y'} = (\sigma_y - \sigma_x + 2i\tau_{xy})e^{2i\alpha} \quad .$$

мещение на бесконечности будет ограничено, если главный вектор всех внешних усилий, приложенных к границе области  $S$  (к совокупности контуров  $L_1, L_2, \dots, L_m$ ) и напряжения на бесконечности равны нулю. Если напряжения на бесконечности равны нулю, а главный вектор внешних усилий отличен от нуля, то перемещения на бесконечности возрастают как  $\ln(z\bar{z}) = 2 \ln r$ .

#### 1.4. Приведение основных граничных задач к задачам теории функций комплексных переменных

Под основными граничными задачами плоской теории упругости будем понимать те же граничные задачи, которые сформулированы ранее для трехмерного случая.

**Первая основная граничная задача.** Определить упругое равновесие тела при заданных внешних силах, приложенных к границе  $L$  области  $S$ .

**Вторая основная граничная задача.** Определить упругое равновесие тела при заданных перемещениях точек границы  $L$  области  $S$ .

**Третья основная граничная задача.** Определить упругое равновесие тела, когда на одной части границы  $L$  области  $S$  заданы внешние силы, а на другой – перемещения точек.

Комплексное представление перемещений (1.2) и напряжений (1.3) показывает, что при известных аналитических комплексных функциях  $\varphi(z)$  и  $\psi(z)$  упругое равновесие тела определено однозначно. Соответственно, сформулированные граничные задачи должны быть сведены к отысканию этих функций по определенным условиям на границе  $L$  области  $S$ , отвечающим той или иной граничной задаче.

Точки границы  $L$  области  $S$  будем обозначать через переменную  $t = x + iy$ , где  $x$  и  $y$  – координаты рассматриваемой точки границы.

Под областью  $S$ , как и ранее, понимаем область, занятую телом, а под границей  $L$  – либо совокупность контуров  $L_1, L_2, \dots, L_m$ ,

$L_{m+1}$ , если область конечна, либо совокупность контуров  $L_1, L_2, \dots, L_m$ , если область бесконечна.

Если область  $S$  бесконечна, для первой основной граничной задачи будем считать заданными значения напряжений на бесконечности, что сводится к заданию постоянных

$$\operatorname{Re} \Gamma = B, \quad \Gamma' = B' + iC'.$$

Постоянная  $C$  не влияет на распределение напряжений, и в дальнейшем она принимается равной нулю.

В дальнейшем будем рассматривать только первую основную граничную задачу.

### 1.4.1. Односвязная конечная область

Пусть  $\bar{X}$  и  $\bar{Y}$  – заданные значения составляющих внешней нагрузки, приложенной к контуру тела, на произвольной площадке с нормалью  $\vec{n}(l, m, n)$ . Проекции главного вектора  $X$  и  $Y$  нагрузки, приложенной на участке  $AB$  контура тела, представим (раздел 1.2.4) в следующем виде:

$$X + iY = \int_{AB} (\bar{X} + i\bar{Y}) ds = -i \left[ \varphi(t) + t \overline{\varphi'(t)} + \overline{\psi(t)} \right]_A^B,$$

где символ  $\left[ \right]_A^B$ , как и раньше, обозначает приращение функции, заключенной в скобки, при перемещении по участку контура  $AB$  из точки  $A$  в точку  $B$  в положительном направлении, когда область, занятая телом, остается слева.

Если считать точку  $A$  фиксированной, а точку  $B$  – переменной, представленное соотношение можно переписать в виде граничного условия:

$$\varphi(t) + t \overline{\varphi'(t)} + \overline{\psi(t)} = f_1 + if_2 + \text{const}.$$

Здесь постоянная определяет значение левой части соотношения в точке  $A$ , а комбинация  $f_1 + if_2$  имеет вид:

$$f_1 + if_2 = f_1(t) + if_2(t) = f_1(s) + if_2(s) = \\ = i \int_{t_0}^t (\bar{X} + i\bar{Y}) ds = i \int_0^s (\bar{X} + i\bar{Y}) ds .$$

Функции  $f_1$  и  $f_2$  являются заданными на контуре  $L$ , поскольку определяются через заданные значения составляющих  $\bar{X}$  и  $\bar{Y}$  внешней нагрузки.

Отметим, что комплексную функцию  $\varphi(t) + t\overline{\varphi'(t)} + \overline{\psi(t)}$  следует понимать, как граничное значение функции  $\varphi(z) + z\overline{\varphi'(z)} + \overline{\psi(z)}$  при стремлении точки  $z$ , расположенной внутри области  $S$ , к точке  $t$  контура  $L$ . Данное обстоятельство справедливо в силу принятого предположения о непрерывности напряжений во всей области  $S$  вплоть до контура  $L$ .

Вернемся теперь к постоянной, входящей в граничное условие. Говоря о степени определенности комплексных функций при заданных напряжениях, получили, что замена функции  $\varphi(z)$  на функцию  $\varphi(z) + iCz + \gamma$  и функции  $\psi(z)$  на функцию  $\psi(z) + \gamma'$  не меняет напряженного состояния. Легко получить, что при этом комплексная функция  $\varphi(z) + z\overline{\varphi'(z)} + \overline{\psi(z)}$  заменится на функцию  $\varphi(z) + z\overline{\varphi'(z)} + \overline{\psi(z)} + \gamma + \gamma'$ . Отсюда следует возможность придать постоянной, входящей в граничное условие, любое фиксированное значение путем подходящего выбора суммы  $\gamma + \gamma'$ . Этим самым принимается, что из трех постоянных  $C$ ,  $\gamma$  и  $\gamma'$  в дальнейших рассуждениях произвольно могут быть заданы уже только две:  $C$  и одна из  $\gamma$ ,  $\gamma'$ .

Предыдущими рассуждениями первая основная граничная задача сведена к отысканию аналитических комплексных функций  $\varphi(z)$  и  $\psi(z)$  по их значениям на границе  $L$  области  $S$ . Соответст-

вующее граничное условие было предложено Н.И. Мухелишвили.

Рассмотрим аналогичное граничное условие, предложенное Г.В. Колосовым в несколько иной форме.

Будем считать, что на границе  $L$  области  $S$  заданы нормальная  $N$  и касательная  $T$  составляющие внешних усилий<sup>1</sup>. Составляющая  $N$  представляет собой проекцию внешней нагрузки на нормаль  $\vec{n}$ , а  $T$  – проекция той же нагрузки на касательную  $\vec{t}$  к границе, направленную влево, если смотреть вдоль  $\vec{n}$  (по положительному направлению обхода контура). Не останавливаясь на промежуточных преобразованиях, приведем граничное условие Г.В. Колосова в окончательном виде:

$$\Phi(t) + \overline{\Phi(t)} - e^{2i\alpha} [\vec{t} \Phi'(t) + \Psi(t)] = N - iT \quad \text{на } L,$$

где  $\alpha$  – угол, который нормаль  $\vec{n}$  составляет с осью  $x$ .

Использование граничного условия в форме Колосова в ряде случаев существенно упрощает решение задачи.

### 1.4.2. Бесконечная область с отверстием

Для бесконечной области  $S$ , ограниченной простым замкнутым контуром  $L$  (для бесконечной области с отверстием) граничное условие запишется в том же виде, как и для конечной односвязной области:

$$\varphi(t) + t \overline{\varphi'(t)} + \overline{\psi(t)} = f_1 + if_2 + \text{const},$$

где функция  $f_1 + if_2$  определяется на контуре  $L$  прежним соотношением

$$f_1 + if_2 = i \int_0^s (\overline{X} + i\overline{Y}) ds \quad \text{при прежнем условии относительно}$$

---

<sup>1</sup> Если внешние усилия заданы в форме составляющих  $\overline{X}$  и  $\overline{Y}$ , то тем самым заданы  $N$  и  $T$ , и наоборот.

но положительного направления обхода контура: область  $S$  должна оставаться слева. Однако, несмотря на такое математическое соответствие уравнений, рассматриваемая задача существенно отличается от предыдущей (см. раздел 1.4.1). Дело в том, что в случае конечной односвязной области функции  $\varphi(z)$  и  $\psi(z)$  голоморфны (и, следовательно, однозначны) во всей области  $S$ , тогда как для бесконечной области это, вообще говоря, не имеет места. Однако полученные в разделе 1.3.3 представления функций  $\varphi(z)$  и  $\psi(z)$  для бесконечной области в виде

$$\begin{aligned}\varphi(z) &= -\frac{X+iY}{2\pi(1+\kappa)} \ln z + \Gamma z + \varphi_0(z) \ , \\ \psi(z) &= \frac{\kappa(X-iY)}{2\pi(1+\kappa)} \ln z + \Gamma'z + \psi_0(z) \ ,\end{aligned}$$

позволяют привести граничное условие к определению голоморфных (и, следовательно, однозначных) функций  $\varphi_0(z)$  и  $\psi_0(z)$ .

Подставим выписанные соотношения для функций  $\varphi(z)$  и  $\psi(z)$  в граничное условие, предварительно заменив в них переменную  $z$  на переменную  $t$ . Будем иметь:

$$\begin{aligned}\varphi_0(t) + t \overline{\varphi'_0(t)} + \overline{\psi_0(t)} &= f_1 + if_2 + \\ + \frac{X+iY}{2\pi(1+\kappa)} (\ln t - \kappa \ln \bar{t}) + \frac{X-iY}{2\pi(1+\kappa)} \frac{t}{\bar{t}} - (\Gamma + \Gamma')t - \bar{\Gamma}'\bar{t} + \text{const} \ .\end{aligned}$$

Перепишем полученное соотношение в виде:

$$\varphi_0(t) + t \overline{\varphi'_0(t)} + \overline{\psi_0(t)} = f_1^0 + if_2^0 + \text{const} \ ,$$

где введено обозначение

$$f_1^0 + if_2^0 = f_1 + if_2 + \\ + \frac{X + iY}{2\pi(1 + \kappa)} (\ln t - \kappa \ln \bar{t}) + \frac{X - iY}{2\pi(1 + \kappa)} \frac{t}{\bar{t}} - (\Gamma + \Gamma')t - \bar{\Gamma}'\bar{t} .$$

Введенная в рассмотрение функция  $f_1^0 + if_2^0$  является однозначной и непрерывной на контуре  $L$ . Действительно, если функция  $f_1 + if_2$  при обходе контура получает приращение  $i(X + iY) = i \int_L (\bar{X} + i\bar{Y}) ds$ , то точно такое же приращение, но с обратным зна-

ком, дает слагаемое  $\frac{X + iY}{2\pi(1 + \kappa)} (\ln t - \kappa \ln \bar{t})$  (положительное направление обхода контура является отрицательным для угла  $\theta$ ). Следовательно, значение функции  $f_1^0 + if_2^0$  возвращается к своему первоначальному значению.

При фиксировании постоянной, входящей в правую часть граничного условия, в дальнейших рассуждениях из трех постоянных  $C$ ,  $\gamma$  и  $\gamma'$  произвольно могут быть заданы уже только две:  $C$  и одна из  $\gamma$ ,  $\gamma'$ .

### 1.4.3. Конечная многосвязная область

Рассмотрим конечную многосвязную область  $S$ , ограниченную контурами  $L_1, L_2, \dots, L_m, L_{m+1}$ , из которых последний охватывает все предыдущие.

Комплексные функции  $\varphi(z)$  и  $\psi(z)$  в рассматриваемом случае (раздел 1.3.2) представлены соотношениями:

$$\varphi(z) = -\frac{1}{2\pi(1 + \kappa)} \sum_{k=1}^m (X_k + iY_k) \ln(z - z_k) + \varphi^*(z) , \\ \psi(z) = \frac{\kappa}{2\pi(1 + \kappa)} \sum_{k=1}^m (X_k - iY_k) \ln(z - z_k) + \psi^*(z) ,$$

где  $\varphi^*(z)$  и  $\psi^*(z)$  – функции, аналитические (и, следовательно, однозначные) в области  $S$ ;  $z_k$  – произвольно выбранная точка внутри контура  $L_k$ ;  $X_k, Y_k$  – компоненты главного вектора внешних усилий, приложенных на контуре  $L_k$ .

Граничное условие на контуре  $L_k$  ( $k=1, 2, \dots, m+1$ ), очевидно, можно записать в виде:

$$\varphi(t) + t \overline{\varphi'(t)} + \overline{\psi(t)} = f_1 + if_2 + C_k .$$

В приведенном соотношении  $C_k$  ( $k=1, 2, \dots, m+1$ ) – некоторые постоянные;  $f_1 + if_2$  – функция, определенная на контуре  $L_k$ :

$$f_1 + if_2 = i(X_k + iY_k) = i \int_{t_k}^t (\overline{X_k} + i\overline{Y_k}) ds ,$$

где  $t_k$  – точка, произвольно зафиксированная на контуре  $L_k$ . Положительным направлением обхода контура, как и ранее, считается то, при котором область  $S$  остается слева.

Постоянные  $C_k$  заранее неизвестны, но одну из них, например,  $C_{m+1}$  можно зафиксировать произвольно. Остальные постоянные  $C_k$  ( $k=1, 2, \dots, m$ ) подлежат определению вместе с функциями  $\varphi^*(z)$  и  $\psi^*(z)$ .

Очевидно, что граничные условия для многозначных в конечной многосвязной области комплексных функций  $\varphi(z)$  и  $\psi(z)$  нужно переписать в граничные условия для функций  $\varphi^*(z)$  и  $\psi^*(z)$ , аналитических (и, следовательно, однозначных) в области  $S$ . Процедура полностью аналогична той, которая рассмотрена в разделе 1.4.2.

Отметим, что граничное условие в форме Г.В. Колосова

$$\Phi(t) + \overline{\Phi(\bar{t})} - e^{2i\alpha} [\bar{t} \Phi'(t) + \Psi(t)] = N - iT ,$$

где  $\alpha$  – угол, который нормаль  $\vec{n}$  составляет с осью  $x$ , пригодно в рассматриваемом случае без изменений, поскольку функции  $\Phi(z)$  и  $\Psi(z)$  однозначны для конечной многосвязной области.

Случай бесконечной многосвязной области может быть рассмотрен по схемам, предложенным в разделах 1.4.1 и 1.4.2, и поэтому на нем здесь останавливаться не будем.

## 1.5. Решение некоторых задач плоской теории упругости

Ниже рассматриваются решения некоторых простейших граничных задач плоской теории упругости с использованием степенных рядов Фурье. Этот метод решения непосредственно применяется к областям, ограниченным одной окружностью или двумя концентрическими окружностями. Возможность распространить метод на области более общего вида дает использование конформного отображения.

### 1.5.1. Решение первой основной граничной задачи для бесконечной плоскости с круговым отверстием

Решение задачи будем строить в полярной системе координат  $r, \theta$ , помещая начало координат в центр кругового отверстия, имеющего радиус  $R$ .

Для отыскания комплексных функций используем граничное условие в форме Колосова:

$$\Phi(t) + \overline{\Phi(\bar{t})} - e^{2i\theta} [\bar{t} \Phi'(t) + \Psi(t)] = N - iT \quad \text{на } L ,$$

где  $N$  и  $T$  – проекции внешней нагрузки, действующей на окружности  $L$  контура, на направления нормали  $n$ , направленной к центру отверстия, и касательной  $t$ , направленной влево, если смотреть вдоль положительного направления нормали.

Отметим, что в разделе 1.4.1 граничное условие в форме Колосова представлено с использованием угла  $\alpha$ , который нормаль  $n$  составляет с осью  $x$ , а здесь перешли к углу  $\theta$ . Однако не надо упускать из виду, что направления осей  $r$  и  $\theta$  противоположны направлениям  $n$  и  $t$ . Соответственно, поскольку  $\alpha = \theta \pm \pi$ , то  $e^{2i\alpha} = e^{2i\theta}$ , и вид граничного условия остается прежним.

Граничное условие в форме Колосова предполагает использование комплексных функций

$$\Phi(z) = \varphi'(z) \quad , \quad \Psi(z) = \psi'(z) \quad .$$

В свою очередь функции  $\varphi(z)$  и  $\psi(z)$  для бесконечной области (плоскости) определены соотношениями

$$\begin{aligned} \varphi(z) &= -\frac{X+iY}{2\pi(1+\kappa)} \ln z + \Gamma z + \varphi_0(z) \quad , \\ \psi(z) &= \frac{\kappa(X-iY)}{2\pi(1+\kappa)} \ln z + \Gamma' z + \psi_0(z) \quad , \end{aligned}$$

где  $\Gamma = B + iC$  и  $\Gamma' = B' + iC'$  – комплексные постоянные (в дальнейшем будем принимать  $C = 0$ );  $\varphi_0(z)$  и  $\psi_0(z)$  – функции, голоморфные вне окружности  $L$ , представляемые в области  $S$  разложениями вида<sup>1</sup>

$$\varphi_0(z) = a_0 + \frac{a_1}{z} + \frac{a_2}{z^2} + \dots \quad , \quad \psi_0(z) = a'_0 + \frac{a'_1}{z} + \frac{a'_2}{z^2} + \dots$$

Дифференцируем функции  $\varphi(z)$  и  $\psi(z)$ . Будем иметь:

---

<sup>1</sup> Для конечной многосвязной области функции  $\varphi_0(z)$  и  $\psi_0(z)$  голоморфны вне любой окружности, охватывающей все контуры (при достаточно больших значениях  $|z|$ ). Если имеется только один контур (плоскость с отверстием), то эти функции будут голоморфны во всей области  $S$ , если только начало координат взято вне области  $S$ , т.е. внутри отверстия.

$$\Phi(z) = \varphi'(z) = -\frac{X+iY}{2\pi(1+\kappa)} \frac{1}{z} + \Gamma - \frac{a_1}{z^2} - \frac{2a_2}{z^3} - \dots$$

$$\Psi(z) = \psi'(z) = \frac{\kappa(X-iY)}{2\pi(1+\kappa)} \frac{1}{z} + \Gamma' - \frac{a'_1}{z^2} - \frac{2a'_2}{z^3} - \dots$$

Перепишем полученные соотношения в форме рядов

$$\Phi(z) = \sum_{k=0}^{\infty} a_k z^{-k} \quad , \quad \Psi(z) = \sum_{k=0}^{\infty} a'_k z^{-k} \quad ,$$

где введены новые обозначения для коэффициентов:

$$a_0 = \Gamma = B \quad , \quad a'_0 = \Gamma' = B' + iC' \quad ,$$

$$a_1 = -\frac{X+iY}{2\pi(1+\kappa)} \quad , \quad a'_1 = \frac{\kappa(X-iY)}{2\pi(1+\kappa)} \quad \text{и т.д.}$$

Отметим, что коэффициенты разложения  $a_1$  и  $\bar{a}'_1$  связаны между собой условием однозначности перемещений  $\kappa a_1 + \bar{a}'_1 = 0$ .

Поскольку соотношения, полученные для комплексных функций  $\Phi(z)$  и  $\Psi(z)$ , предназначены для использования в граничном условии при  $r = R$ , перепишем их в следующем виде:

$$\Phi(z) = \sum_{k=0}^{\infty} a_k r^{-k} e^{-ik\theta} \quad , \quad \Psi(z) = \sum_{k=0}^{\infty} a'_k r^{-k} e^{-ik\theta} \quad .$$

Правую часть граничного условия также представим в форме ряда

$$N - iT = \sum_{-\infty}^{+\infty} A_k e^{ik\theta} \quad ,$$

где коэффициенты  $A_k$  разложения известны.

Подставляя преобразованные соотношения в граничное условие, получим:

$$\begin{aligned} \sum_{k=0}^{\infty} \left[ \frac{a_k(1+k)}{R^k} - \frac{a'_{k+2}}{R^{k+2}} \right] e^{-ik\theta} + \sum_{k=0}^{\infty} \frac{\bar{a}_k}{R^k} e^{ik\theta} - a'_0 e^{2i\theta} - \frac{a'_1}{R} e^{i\theta} = \\ = \sum_{-\infty}^{+\infty} A_k e^{ik\theta} . \end{aligned}$$

Сравнивая коэффициенты при различных степенях  $e^{i\theta}$ , определим неизвестные коэффициенты разложений  $a_k$  и  $a'_k$  через известные  $A_k$ . Будем иметь:

– сравнение постоянных членов

$$a_0 - \frac{a'_2}{R^2} + \bar{a}_0 = A_0 \Rightarrow 2a_0 - \frac{a'_2}{R^2} = A_0 \Rightarrow a'_2 = R^2(2\Gamma - A_0) ,$$

поскольку  $a_0 = \Gamma = B$  – действительное число;

– сравнение коэффициентов при  $e^{i\theta}$

$$\frac{\bar{a}_1}{R} - \frac{a'_1}{R} = A_1 \Rightarrow \bar{a}_1 - a'_1 = A_1 R ;$$

– сравнение коэффициентов при  $e^{2i\theta}$

$$\frac{\bar{a}_2}{R^2} - a'_0 = A_2 \Rightarrow \bar{a}_2 = R^2(A_2 + \Gamma') \Rightarrow a_2 = R^2(\bar{A}_2 + \bar{\Gamma}') ,$$

поскольку  $a'_0 = \Gamma' = B' + iC'$ ;

– сравнение коэффициентов при  $e^{ik\theta}$ , когда  $k \geq 3$

$$\frac{\bar{a}_k}{R^k} = A_k \Rightarrow \bar{a}_k = A_k R^k ;$$

– сравнение коэффициентов при  $e^{-ik\theta}$ , когда  $k \geq 1$

$$\frac{a_k(1+k)}{R^k} - \frac{a'_{k+2}}{R^{k+2}} = A_{-k} \quad \Rightarrow \quad a'_{k+2} = a_k(1+k)R^2 - A_{-k}R^{k+2}$$

или, с заменой индекса  $k$  на  $(k-2)$ ,

$$a'_k = a_{k-2}(k-1)R^2 - A_{-k+2}R^k \quad \text{при } k \geq 3 .$$

Для определения коэффициентов  $a_1$  и  $a'_1$  имеем два уравнения:

$$\kappa a_1 + \bar{a}'_1 = 0 ,$$

$$\bar{a}_1 - a'_1 = A_1 R .$$

Решение этих уравнений относительно упомянутых неизвестных позволяет получить:

$$a_1 = \frac{1}{1+\kappa} \bar{A}_1 R , \quad a'_1 = -\frac{\kappa}{1+\kappa} A_1 R .$$

Окончательно можем выписать все определяемые коэффициенты рядов:

$$a_0 = \Gamma , \quad a'_0 = \Gamma' ,$$

$$a_1 = \frac{1}{1+\kappa} \bar{A}_1 R , \quad a'_1 = -\frac{\kappa}{1+\kappa} A_1 R ,$$

$$a_2 = R^2(\bar{A}_2 + \bar{\Gamma}') , \quad a'_2 = R^2(2\Gamma - A_0) ,$$

$$\bar{a}_k = A_k R^k \quad (k \geq 3) , \quad a'_k = a_{k-2}(k-1)R^2 - A_{-k+2}R^k \quad (k \geq 3) .$$

Таким образом, первая основная граничная задача для бесконечной плоскости с круговым отверстием решена в общем виде.

## Задачи

1.1.	Одностороннее растяжение пластины, ослабленной круговым отверстием, имеющим радиус $R$ .
------	--

В соответствии с условием задачи имеем, что контур кругового отверстия свободен от нагрузки, а на бесконечности напряжения принимают значения:

$$\sigma_x^\infty = p, \quad \sigma_y^\infty = 0, \quad \tau_{xy}^\infty = 0.$$

Действительные постоянные  $B$ ,  $B'$  и  $C'$ , входящие в соотношения для функций  $\Phi(z)$  и  $\Psi(z)$  посредством комплексных постоянных  $\Gamma$  и  $\Gamma'$ , имеют простой физический смысл (см. раздел 1.3.3). Рассматривая поведение напряжений на бесконечности, имеем:

$$\begin{aligned} \sigma_x^\infty = 2B - B' & & 2B - B' = p & & B = p/4, \\ \sigma_y^\infty = 2B + B' & \Rightarrow & 2B + B' = 0 & \Rightarrow & B' = -p/2, \\ \tau_{xy}^\infty = C' & & C' = 0 & & C' = 0. \end{aligned}$$

Соответственно, постоянные  $\Gamma$  и  $\Gamma'$  принимают значения:

$$\Gamma = p/4, \quad \Gamma' = -p/2.$$

Поскольку контур кругового отверстия не нагружен, имеем  $N - iT = 0$  на  $L$  и, как следствие, все коэффициенты разложения  $A_k$  равны нулю.

Переходим к определению коэффициентов разложения комплексных функций  $\Phi(z)$  и  $\Psi(z)$ . Будем иметь:

$$\begin{aligned} a_0 = p/4, & & a'_0 = -p/2, \\ a_1 = 0, & & a'_1 = 0, \\ a_2 = -pR^2/2, & & a'_2 = pR^2/2, \\ a_3 = 0, & & a'_3 = 0, \\ a_4 = 0, & & a'_4 = -3pR^4/2. \end{aligned}$$

Все остальные коэффициенты равны нулю.

С учетом коэффициентов разложений комплексные функции  $\Phi(z)$  и  $\Psi(z)$  принимают вид:

$$\Phi(z) = \frac{p}{4} \left( 1 - \frac{2R^2}{z^2} \right) \Rightarrow \Phi(z) = \frac{p}{4} \left( 1 - \frac{2R^2}{r^2} e^{-2i\theta} \right),$$

$$\Psi(z) = -\frac{p}{2} \left( 1 - \frac{R^2}{z^2} + \frac{3R^4}{z^4} \right) \Rightarrow \Psi(z) = -\frac{p}{2} \left( 1 - \frac{R^2}{r^2} e^{-2i\theta} + \frac{3R^4}{r^4} e^{-4i\theta} \right).$$

Найденные соотношения для функций  $\Phi(z)$  и  $\Psi(z)$  определяют решение поставленной задачи в общем виде.

Определим теперь соответствующие компоненты напряжений, используя формулы, полученные в разделе 1.2.5:

$$\sigma_r + \sigma_\theta = 2 \left[ \Phi(z) + \overline{\Phi(z)} \right],$$

$$\sigma_\theta - \sigma_r + 2i\tau_{r\theta} = 2e^{2i\theta} \left[ \bar{z}\Phi'(z) + \Psi(z) \right].$$

Подставив соотношения для функций  $\Phi(z)$  и  $\Psi(z)$  в приведенные формулы и проведя некоторые простые преобразования, будем иметь:

$$\sigma_r + \sigma_\theta = p \left( 1 - \frac{2R^2}{r^2} \cos 2\theta \right),$$

$$\sigma_\theta - \sigma_r + 2i\tau_{r\theta} =$$

$$= \frac{pR^2}{r^2} + \left( \frac{2pR^2}{r^2} - \frac{3pR^4}{r^4} - p \right) \cos 2\theta + i \left( -\frac{2pR^2}{r^2} + \frac{3pR^4}{r^4} - p \right) \sin 2\theta.$$

Поскольку второе уравнение распадается на два, для определения напряжений получаем следующие три уравнения:

$$\sigma_r + \sigma_\theta = p \left( 1 - \frac{2R^2}{r^2} \cos 2\theta \right),$$

$$\sigma_\theta - \sigma_r = \frac{pR^2}{r^2} + \left( \frac{2pR^2}{r^2} - \frac{3pR^4}{r^4} - p \right) \cos 2\theta,$$

$$\tau_{r\theta} = -\frac{p}{2} \left( 1 + \frac{2R^2}{r^2} - \frac{3R^4}{r^4} \right) \sin 2\theta.$$

Касательное напряжение  $\tau_{r\theta}$  определяется третьим уравнением, а для отыскания нормальных напряжений используем первое и второе. Окончательно будем иметь:

$$\sigma_r = \frac{p}{2} \left( 1 - \frac{R^2}{r^2} \right) + \frac{p}{2} \left( 1 - \frac{4R^2}{r^2} + \frac{3R^4}{r^4} \right) \cos 2\theta \quad ,$$

$$\sigma_\theta = \frac{p}{2} \left( 1 + \frac{R^2}{r^2} \right) - \frac{p}{2} \left( 1 + \frac{3R^4}{r^4} \right) \cos 2\theta \quad ,$$

$$\tau_{r\theta} = -\frac{p}{2} \left( 1 + \frac{2R^2}{r^2} - \frac{3R^4}{r^4} \right) \sin 2\theta \quad .$$

Решение рассматриваемой задачи в действительных переменных приведено в книге [1]. Там же проведен подробный анализ напряженного состояния с обсуждением его особенностей.

Для определения перемещений  $v_r$  и  $v_\theta$  точек пластины воспользуемся их комплексным представлением в полярной системе координат (см. раздел 1.2.5):

$$2\mu(v_r + iv_\theta) = e^{-i\theta} \left[ \kappa\varphi(z) - z\overline{\varphi'(z)} - \overline{\psi(z)} \right] \quad .$$

Необходимые комплексные функции  $\varphi(z)$  и  $\psi(z)$  определим по известным функциям  $\Phi(z)$  и  $\Psi(z)$ :

$$\varphi(z) = \int \Phi(z) dz = \frac{p}{4} \left( z + \frac{2R^2}{z} \right) \quad \Rightarrow \quad \varphi(z) = \frac{p}{4} \left( re^{i\theta} + \frac{2R^2}{r} e^{-i\theta} \right) \quad ,$$

$$\begin{aligned} \psi(z) &= \int \Psi(z) dz = -\frac{p}{2} \left( z + \frac{R^2}{z} - \frac{R^4}{z^3} \right) \quad \Rightarrow \\ \Rightarrow \quad \psi(z) &= -\frac{p}{2} \left( re^{i\theta} + \frac{R^2}{r} e^{-i\theta} - \frac{R^4}{r^3} e^{-3i\theta} \right) \quad . \end{aligned}$$

Подставляя значения комплексных функций в уравнение для перемещений и отделяя действительную и мнимую части, получим:

$$v_r = \frac{p}{8\mu r} \left\{ r^2(\kappa-1) + 2R^2 + 2 \left[ R^2(\kappa+1) + r^2 - \frac{R^4}{r^2} \right] \cos 2\theta \right\} ,$$

$$v_\theta = -\frac{p}{4\mu r} \left[ R^2(\kappa-1) + r^2 + \frac{R^4}{r^2} \right] \sin 2\theta .$$

1.2.	Всестороннее растяжение пластины, ослабленной круговым отверстием, имеющим радиус $R$ .
------	---

Решение задачи о всестороннем растяжении пластины, ослабленной круговым отверстием, строится по схеме, предложенной при решении задачи 1.1.

В соответствии с условием задачи на бесконечности имеем

$$\sigma_x^\infty = \sigma_y^\infty = p , \quad \tau_{xy}^\infty = 0 .$$

Определение действительных постоянных  $B$ ,  $B'$  и  $C'$ , входящих в соотношения для функций  $\Phi(z)$  и  $\Psi(z)$ , в рассматриваемом случае дает:

$$\begin{aligned} \sigma_x^\infty = 2B - B' & & 2B - B' = p & & B = p/2 , \\ \sigma_y^\infty = 2B + B' & \Rightarrow & 2B + B' = p & \Rightarrow & B' = 0 , \\ \tau_{xy}^\infty = C' & & C' = 0 & & C' = 0 . \end{aligned}$$

Соответственно, для постоянных  $\Gamma$  и  $\Gamma'$  получим:

$$\Gamma = p/2 , \quad \Gamma' = 0 .$$

Как и в предыдущей задаче, имеем  $N - iT = 0$  на  $L$  и  $A_k = 0$ . Переходя к определению коэффициентов разложения комплексных функций  $\Phi(z)$  и  $\Psi(z)$ , будем иметь, что только два коэффициента отличны от нуля:

$$a_0 = p/2 , \quad a'_2 = pR^2 .$$

С учетом найденных коэффициентов разложений комплексные функции  $\Phi(z)$ ,  $\Psi(z)$  и  $\phi(z)$ ,  $\psi(z)$  принимают вид:

$$\Phi(z) = \frac{p}{2} \quad , \quad \Psi(z) = \frac{pR^2}{z^2} \quad ;$$

$$\varphi(z) = \frac{p}{2} z \quad , \quad \psi(z) = -\frac{pR^2}{z} \quad .$$

Напряжения и перемещения вычисляются по формулам, приведенным в предыдущей задаче. Не останавливаясь на промежуточных преобразованиях, приведем окончательные результаты:

$$\sigma_r = p \left( 1 - \frac{R^2}{r^2} \right) \quad , \quad \sigma_\theta = p \left( 1 + \frac{R^2}{r^2} \right) \quad , \quad \tau_{r\theta} = 0 \quad ;$$

$$v_r = \frac{p}{4\mu r} \left[ r^2(\kappa - 1) + 2R^2 \right] \quad , \quad v_\theta = 0 \quad .$$

Приведенное решение можно получить, используя непосредственно решение предыдущей задачи, суммируя два односторонних растяжения пластины соответственно по осям  $x$  и  $y$ . Подобная процедура возможна, поскольку в теории упругости справедливы принцип пропорциональности решения заданной нагрузке и принцип независимости действия сил (принцип суперпозиции).

1.3.	Равномерное нормальное давление, приложенное к обводу кругового отверстия радиуса $R$ в пластине.
------	---

Из условия задачи имеем, что на бесконечности напряжения равны нулю, а на контуре кругового отверстия приложено равномерное нормальное давление  $p$ .

Соответственно, постоянные  $\Gamma$  и  $\Gamma'$  равны нулю ( $\Gamma = \Gamma' = 0 \Rightarrow a_0 = a'_0 = 0$ ), а проекции  $N$  и  $T$  внешней нагрузки, действующей на окружности  $L$  контура, на направления нормали и касательной к контуру, принимают следующие значения:

$$N = -p \quad , \quad T = 0 \quad .$$

Напомним, что внешняя нагрузка, действующая на контуре кругового отверстия, записанная в комплексном виде  $N - iT$ , должна быть представлена в форме ряда

$$N - iT = \sum_{-\infty}^{+\infty} A_k e^{ik\theta} \quad .$$

В рассматриваемом случае, когда  $N - iT = -p$ , будем иметь:

$$A_0 = -p, \quad A_k = 0 \quad \text{при} \quad k \neq 0.$$

Переходим к определению коэффициентов разложения комплексных функций  $\Phi(z)$  и  $\Psi(z)$ . В соответствии с имеющимися формулами, получим

$$a'_2 = pR^2,$$

а все остальные коэффициенты разложений функций  $\Phi(z)$  и  $\Psi(z)$  равны нулю.

С учетом найденных коэффициентов разложений, комплексные функции  $\Phi(z)$ ,  $\Psi(z)$  и  $\varphi(z)$ ,  $\psi(z)$  принимают вид:

$$\begin{aligned} \Phi(z) &= 0, & \Psi(z) &= \frac{pR^2}{z^2}; \\ \varphi(z) &= 0, & \psi(z) &= -\frac{pR^2}{z}. \end{aligned}$$

Определение напряжений и перемещений по имеющимся формулам не представляет особого труда. Не останавливаясь на промежуточных преобразованиях, приведем окончательные результаты:

$$\begin{aligned} \sigma_r &= -\frac{pR^2}{r^2}, & \sigma_\theta &= \frac{pR^2}{r^2}, & \tau_{r\theta} &= 0; \\ \nu_r &= \frac{pR^2}{2\mu r}, & \nu_\theta &= 0. \end{aligned}$$

1.4.	Сосредоточенная сила, приложенная в точке неограниченной плоскости.
------	---

Решение задачи о бесконечной плоскости с круговым отверстием можно использовать для исследования напряженно-деформированного состояния в пластине, находящейся под действием сосредоточенных сил и моментов.

Поскольку в поставленной задаче на бесконечности напряжения равны нулю, постоянные  $\Gamma$  и  $\Gamma'$  также равны нулю ( $\Gamma = \Gamma' = 0 \Rightarrow a_0 = a'_0 = 0$ ).

Будем считать, что внешние усилия, приложенные к контуру кругового отверстия радиуса  $R$ , имеют постоянную величину и направление, а их распределение по контуру отверстия задано в следующей форме:

$$\bar{X} = \frac{X}{2\pi R}, \quad \bar{Y} = \frac{Y}{2\pi R},$$

где  $X, Y$  — составляющие главного вектора внешних усилий (постоянные величины). Соответственно, проекции  $N$  и  $T$  внешней нагрузки, действующей на окружности  $L$  контура, на направления нормали и касательной к контуру<sup>1</sup>, принимают следующие значения:

$$\begin{aligned} N &= -(\bar{X} \cos \theta + \bar{Y} \sin \theta) \Rightarrow N = -\frac{1}{2\pi R}(X \cos \theta + Y \sin \theta), \\ T &= \bar{X} \sin \theta - \bar{Y} \cos \theta \Rightarrow T = \frac{1}{2\pi R}(X \sin \theta - Y \cos \theta). \end{aligned}$$

Комплексное представление внешней нагрузки, действующей на контуре кругового отверстия, будет иметь вид:

$$N - iT = -\frac{1}{2\pi R}(X - iY)e^{i\theta} \quad \text{на } L.$$

Представляя внешнюю нагрузку  $N - iT$  в форме ряда, получим, что отличным от нуля будет только один коэффициент

$$A_1 = -\frac{X - iY}{2\pi R}.$$

Переходим к определению коэффициентов разложения комплексных функций  $\Phi(z)$  и  $\Psi(z)$ . Будем иметь:

$$\begin{aligned} a_1 &= -\frac{X + iY}{2\pi(1 + \kappa)}, \quad a'_1 = \frac{\kappa(X - iY)}{2\pi(1 + \kappa)}, \\ a_2 &= 0, \quad a'_2 = 0, \\ a_3 &= 0, \quad a'_3 = -R^2 \frac{X + iY}{\pi(1 + \kappa)}. \end{aligned}$$

Все остальные коэффициенты равны нулю.

С учетом найденных коэффициентов разложений, комплексные функции  $\Phi(z)$  и  $\Psi(z)$  принимают вид:

---

<sup>1</sup> Напомним, что нормаль к контуру направлена к центру окружности, так что она составляет с осью  $x$  угол  $\theta \pm \pi$ .

$$\Phi(z) = -\frac{X+iY}{2\pi(1+\kappa)} \cdot \frac{1}{z}, \quad \Psi(z) = \frac{\kappa(X-iY)}{2\pi(1+\kappa)} \cdot \frac{1}{z} - \frac{X+iY}{\pi(1+\kappa)} \cdot \frac{R^2}{z^3}.$$

Будем считать теперь, что радиус отверстия в пластине беспредельно уменьшается, а составляющие  $\bar{X}$ ,  $\bar{Y}$  внешней нагрузки, действующей на контуре, беспредельно возрастают так, что главный вектор  $(X, Y)$  остается постоянным по величине и направлению. В этом случае можно говорить, что в начале координат приложена сосредоточенная сила  $(X, Y)$ . Напряженно-деформированное состояние от действия этой силы будет определяться комплексными функциями  $\Phi(z)$  и  $\Psi(z)$ , которые принимают вид:

$$\Phi(z) = -\frac{X+iY}{2\pi(1+\kappa)} \cdot \frac{1}{z}, \quad \Psi(z) = \frac{\kappa(X-iY)}{2\pi(1+\kappa)} \cdot \frac{1}{z}.$$

Определение напряжений и перемещений по имеющимся формулам не представляет никаких затруднений. Не останавливаясь на промежуточных преобразованиях, приведем окончательные результаты для напряжений<sup>1</sup>:

$$\begin{aligned} \sigma_r &= -\frac{3+\kappa}{2\pi(1+\kappa)} \cdot \frac{X \cos \theta + Y \sin \theta}{r}, \\ \sigma_\theta &= \frac{\kappa-1}{2\pi(1+\kappa)} \cdot \frac{X \cos \theta + Y \sin \theta}{r}, \\ \tau_{r\theta} &= \frac{\kappa-1}{2\pi(1+\kappa)} \cdot \frac{X \sin \theta - Y \cos \theta}{r}. \end{aligned}$$

1.5.	Сосредоточенный момент, приложенный в точке неограниченной плоскости.
------	---

Поскольку в поставленной задаче на бесконечности напряжения равны нулю, постоянные  $\Gamma$  и  $\Gamma'$  также равны нулю ( $\Gamma = \Gamma' = 0 \Rightarrow a_0 = a'_0 = 0$ ).

<sup>1</sup> Если рассматривается тонкая пластина (плоское напряженное состояние), то в формулах для напряжений вместо постоянной  $\kappa$  необходимо ввести постоянную  $\kappa^* = (3-\nu)/(1+\nu)$  и, кроме того, учесть, что компоненты  $X, Y$  главного вектора внешних усилий должны рассчитываться на единицу толщины пластины:  $X = X^{(0)}/h, Y = Y^{(0)}/h$ , где  $X^{(0)}, Y^{(0)}$  – составляющие сосредоточенной силы;  $h$  – толщина пластины.

Будем считать, что к контуру кругового отверстия радиуса  $R$  приложено равномерное касательное усилие  $T$ . В этом случае, представляя внешнюю нагрузку  $N - iT = -iT$  в форме ряда, получим, что отличным от нуля будет только один коэффициент разложения  $A_0 = -iT$ .

Использование формул, определяющих коэффициенты разложения в ряд комплексных функций  $\Phi(z)$  и  $\Psi(z)$ , приводит к следующему результату: все коэффициенты разложений равны нулю, кроме коэффициента  $a'_2 = iTR^2$ . Принимая, что  $M = -2\pi R^2 \cdot T$ , где  $M$  — момент внешних сил, приложенных к контуру отверстия, формулу для постоянной  $a'_2$  перепишем в виде:

$$a'_2 = -iM / 2\pi .$$

Соответственно, комплексные функции  $\Phi(z)$  и  $\Psi(z)$  принимают вид:

$$\Phi(z) = 0 , \quad \Psi(z) = -\frac{iM}{2\pi} \cdot \frac{1}{z^2} .$$

Очевидно, что полученные соотношения для функций  $\Phi(z)$  и  $\Psi(z)$  не изменятся, если радиус отверстия будет стремиться к нулю, а усилия  $T$  будут возрастать так, чтобы момент  $M$  оставался постоянным. В этом предельном случае формулы для комплексных функций  $\Phi(z)$  и  $\Psi(z)$  определяют напряженно-деформированное состояние в бесконечной плоскости при действии на нее сосредоточенного момента  $M$ , приложенного в начале координат.

Простые вычисления позволяют получить:

$$\sigma_r = \sigma_\theta = 0 , \quad \tau_{r\theta} = -M / 2\pi r^2 .$$

Если рассматривается тонкая пластина (плоское напряженное состояние), то необходимо учесть примечание к задаче 1.4.

### 1.5.2. Решение первой основной граничной задачи для кругового кольца

Рассмотрим случай, когда область  $S$ , занятая телом, представляет круговое кольцо, ограниченное двумя концентрическими окружностями  $L_1$  и  $L_2$  с радиусами  $R_1$  и  $R_2$  ( $R_1 < R_2$ ) с центром в начале координат.

Внешние усилия  $N'$ ,  $T'$  и  $N''$ ,  $T''$ , действующие на окружностях  $L_1$  и  $L_2$ , считаем заданными как функции угла  $\theta$ . Разложения внешней нагрузки как на  $L_1$ , так и на  $L_2$  в комплексные ряды Фурье имеют вид:

$$N' - iT' = \sum_{-\infty}^{+\infty} A'_k e^{ik\theta} \quad , \quad N'' - iT'' = \sum_{-\infty}^{+\infty} A''_k e^{ik\theta} \quad ,$$

где коэффициенты  $A'_k$  и  $A''_k$  разложений известны.

Для отыскания комплексных функций  $\Phi(z)$  и  $\Psi(z)$  будем использовать граничные условия в форме Колосова, которые в рассматриваемой задаче запишем в форме:

$$\Phi(t) + \overline{\Phi(\bar{t})} - e^{2i\theta} [\bar{t} \Phi'(t) + \Psi(t)] = \begin{cases} \sum_{-\infty}^{+\infty} A'_k e^{ik\theta} & \text{на } L_1 \\ \sum_{-\infty}^{+\infty} A''_k e^{ik\theta} & \text{на } L_2 \end{cases} .$$

Комплексная функция  $\Phi(z)$  для многосвязной конечной области (см. раздел 1.3.2) получена в виде:

$$\Phi(z) = \sum_{k=1}^m A_k \ln(z - z_k) + \Phi^*(z) \quad .$$

Соответственно, для рассматриваемой *двухсвязной* области будем иметь:

$$\Phi(z) = A \ln z + \Phi^*(z) \quad ,$$

где  $A$  – действительная постоянная;  $z_1 = 0$  – точка внутри контура

$L_1$  (начало координат);  $\Phi^*(z)$  – аналитическая и, следовательно, однозначная функция в области  $S$ .

Комплексная функция  $\Psi(z)$  является аналитической (однозначной) функцией в области  $S$  по определению.

Используя возможность представления функций, аналитических в рассматриваемой области, в форме ряда, для комплексных функций  $\Phi(z)$  и  $\Psi(z)$  будем иметь:

$$\Phi(z) = A \ln z + \sum_{-\infty}^{+\infty} a_k z^k, \quad \Psi(z) = \sum_{-\infty}^{+\infty} a'_k z^k.$$

Отметим, что полученное представление функций  $\Phi(z)$  и  $\Psi(z)$  отвечает условиям *однозначности напряжений* для рассматриваемой *двухсвязной* области. Требование *однозначности перемещений* для *многосвязной* конечной области (см. раздел 1.3.2) реализуется в форме дополнительных ограничений

$$A_k = 0, \quad k\gamma_k + \bar{\gamma}'_k = 0,$$

которые для *двухсвязной* области принимают вид<sup>1</sup>:

$$A = 0, \quad ka_{-1} + \bar{a}'_{-1} = 0.$$

Подставим соотношения, определяющие комплексные функции  $\Phi(z)$  и  $\Psi(z)$ , в граничные условия. После очевидных простых преобразований будем иметь:

---

<sup>1</sup> В рассматриваемом случае имеем только один внутренний контур  $L_1$  ( $A_k = 0 \Rightarrow A = 0$ ). Величины  $\gamma_k$  и  $\bar{\gamma}'_k$  есть коэффициенты при слагаемых типа  $\ln(z - z_k)$  в разложениях функций  $\varphi(z) = \int \Phi(z) dz$  и  $\psi(z) = \int \Psi(z) dz$ . При принятых обозначениях  $\ln(z - z_k) \Rightarrow \ln z$ , а  $\gamma_k$  и  $\bar{\gamma}'_k \Rightarrow a_{-1}$  и  $\bar{a}'_{-1}$ .

$$\sum_{-\infty}^{+\infty} (1-k)a_k r^k e^{ik\theta} + \sum_{-\infty}^{+\infty} \bar{a}_k r^k e^{-ik\theta} - \sum_{-\infty}^{+\infty} a'_{k-2} r^{k-2} e^{ik\theta} = \begin{cases} \sum_{-\infty}^{+\infty} A'_k e^{ik\theta} \\ \sum_{-\infty}^{+\infty} A''_k e^{ik\theta} \end{cases} .$$

Сравнение слагаемых, не зависящих от угла  $\theta$  (свободных членов), позволяет получить:

$$\bar{a}_0 + a_0 - a'_{-2} R_1^{-2} = A'_0 \quad \text{на } L_1 ,$$

$$\bar{a}_0 + a_0 - a'_{-2} R_2^{-2} = A''_0 \quad \text{на } L_2 .$$

Примем во внимание, что коэффициент  $a_0$  в разложении функции  $\Phi(z)$  есть то же самое, что коэффициент  $\Gamma = B + iC$  в разложении функции  $\varphi(z)$ . Неоднократно отмечалось, что слагаемое  $iC$  (при действительном  $C$ ) не оказывает влияния на напряженное состояние и может быть принятым равным нулю. В этом случае  $a_0 = \bar{a}_0$ , и уравнения для свободных членов преобразуются к виду:

$$2a_0 - a'_{-2} R_1^{-2} = A'_0 ,$$

$$2a_0 - a'_{-2} R_2^{-2} = A''_0 .$$

Решение уравнений относительно коэффициентов  $a_0$  и  $a'_{-2}$  позволяет получить:

$$a_0 = \frac{1}{2} \frac{A''_0 R_2^2 - A'_0 R_1^2}{R_2^2 - R_1^2} ,$$

$$a'_{-2} = \frac{(A''_0 - A'_0) R_1^2 R_2^2}{R_2^2 - R_1^2} .$$

Поскольку  $a_0$  – действительная величина, требуется, чтобы мнимая часть числителя ( $A_0''R_2^2 - A_0'R_1^2$ ), как комплексной величины, равнялась нулю:  $\text{Im}(A_0''R_2^2 - A_0'R_1^2) = 0$ . Как показывают простые вычисления, это условие определяет равенство нулю главного момента внешних усилий.

Сравнение слагаемых при  $e^{ik\theta}$  ( $k = \pm 1, k = \pm 2, \dots$ ) дает:

$$\begin{aligned} (1-k)a_k R_1^k + \bar{a}_{-k} R_1^{-k} - a'_{k-2} R_1^{k-2} &= A'_k \quad \text{на } L_1, \\ (1-k)a_k R_2^k + \bar{a}_{-k} R_2^{-k} - a'_{k-2} R_2^{k-2} &= A''_k \quad \text{на } L_2. \end{aligned} \quad (1.5)$$

Разделив первое уравнение на  $R_1^{k-2}$ , а второе на  $R_2^{k-2}$  и вычтя одно из другого, будем иметь:

$$(1-k)(R_2^2 - R_1^2)a_k + (R_2^{-2k+2} - R_1^{-2k+2})\bar{a}_{-k} = B_k, \quad (1.6, \text{а})$$

где введено обозначение  $B_k = A''_k R_2^{-k+2} - A'_k R_1^{-k+2}$ .

В полученном уравнении заменим  $k$  на  $-k$  и перейдем к сопряженным величинам:

$$(R_2^{2k+2} - R_1^{2k+2})a_k + (1+k)(R_2^2 - R_1^2)\bar{a}_{-k} = \bar{B}_{-k}. \quad (1.6, \text{б})$$

Система уравнений (1.6) при заданном значении  $k$  дает возможность вычислить коэффициенты  $a_k$  и  $\bar{a}_{-k}$ , если только определитель этой системы  $\Delta$  отличен от нуля:

$$\Delta = (1-k^2)(R_2^2 - R_1^2)^2 - (R_2^{2k+2} - R_1^{2k+2})(R_2^{-2k+2} - R_1^{-2k+2}) \neq 0.$$

Легко убедиться, что определитель  $\Delta$  обращается в нуль только

при  $k=0$  и  $k=\pm 1$ . Значение  $k=0$  нас уже не интересует. При  $k=+1$  система уравнений принимает вид:

$$\begin{aligned} 0 = B_1 &\Rightarrow A_1'' R_2 - A_1' R_1 = 0, \\ \left(R_2^4 - R_1^4\right) a_1 + 2\left(R_2^2 - R_1^2\right) \bar{a}_{-1} &= \bar{B}_{-1}. \end{aligned} \quad (1.7)$$

Простые выкладки показывают, что первое уравнение  $A_1'' R_2 - A_1' R_1 = 0$  определяет равенство нулю главного вектора внешних усилий, а второе – связывает между собой два коэффициента  $a_1$  и  $a_{-1}$ .

При  $k=-1$  не получим ничего нового, поскольку будем иметь систему уравнений, следующую из (1.7) путем перехода к сопряженным значениям.

Вернемся к вычислению коэффициентов  $a_k$  и  $\bar{a}_{-k}$ . Решение системы уравнений (1.6) при  $k=\pm 2, k=\pm 3, \dots$  позволяет получить:

$$a_k = \frac{(1+k)\left(R_2^2 - R_1^2\right) B_k - \left(R_2^{-2k+2} - R_1^{-2k+2}\right) \bar{B}_{-k}}{\left(1-k^2\right)\left(R_2^2 - R_1^2\right)^2 - \left(R_2^{2k+2} - R_1^{2k+2}\right)\left(R_2^{-2k+2} - R_1^{-2k+2}\right)}.$$

Соотношения для коэффициентов  $\bar{a}_{-k}$  не выписываем, поскольку они следуют из полученных для  $a_k$  при замене  $k$  на  $-k$  и переходе к сопряженным величинам.

Наконец, коэффициенты  $a'_k$  вычисляются по одному из двух уравнений (1.5), а коэффициент  $a'_{-2}$  – по «своей» отдельной формуле. Так как все коэффициенты  $a_k$ , за исключением  $a_1$  и  $a_{-1}$ , уже вычислены, то будем иметь определенные значения для всех  $a'_k$ , кроме  $a'_{-1}$  и  $a'_{-3}$ .

Коэффициенты  $a_{-1}$  и  $\bar{a}'_{-1}$ , в свою очередь, определяются из решения двух уравнений, одно из которых является условием однозначности перемещений, а второе следует из первого уравнения системы (1,5) при  $k = +1$ :

$$\begin{aligned} \kappa a_{-1} + \bar{a}'_{-1} &= 0, \\ \bar{a}_{-1} - a'_{-1} &= A'_1 R \quad \Rightarrow \quad a_{-1} - \bar{a}'_{-1} = \bar{A}'_1 R. \end{aligned}$$

Находим:

$$a_{-1} = \frac{\bar{A}'_1 R_1}{1 + \kappa}, \quad a'_{-1} = -\frac{\kappa A'_1 R_1}{1 + \kappa}.$$

Для определения коэффициента  $a_1$  воспользуемся вторым уравнением системы (1.7), связывающим коэффициенты  $a_1$  и  $a_{-1}$ . Будем иметь:

$$\begin{aligned} a_1 &= \frac{\bar{B}_{-1}}{R_2^4 - R_1^4} - \frac{2A'_1 R_1}{(1 + \kappa)(R_2^2 + R_1^2)} \quad \Rightarrow \\ \Rightarrow \quad a_1 &= \frac{\bar{A}''_{-1} R_2^3 - \bar{A}'_{-1} R_1^3}{R_2^4 - R_1^4} - \frac{2A'_1 R_1}{(1 + \kappa)(R_2^2 + R_1^2)}. \end{aligned}$$

Наконец, теперь можем вычислить и коэффициент  $a'_{-3}$  из любого уравнения системы (1.5) при  $k = -1$ , поскольку коэффициенты  $a_1$  и  $a_{-1}$  уже известны.

Таким образом, задача определения коэффициентов разложения комплексных функций  $\Phi(z)$  и  $\Psi(z)$  в ряды полностью решена и, темсамым, решена первая основная граничная задача для кругового кольца.

## Задача

1.6.	Толстостенная труба, подверженная равномерному внешнему и внутреннему давлениям.
------	--

Будем считать, что на внутренней поверхности трубы  $r = a$  действует равномерно распределенное давление  $p_a$ , а на внешней  $r = b$  – давление  $p_b$ . Граничные условия в напряжениях в этом случае имеют вид:

$$\sigma_r = -p_a, \quad \tau_{r\theta} = 0 \quad \text{при } r = a \text{ (на } L_1 \text{)} ;$$

$$\sigma_r = -p_b, \quad \tau_{r\theta} = 0 \quad \text{при } r = b \text{ (на } L_2 \text{)} .$$

Разложения внешней нагрузки на контурах  $L_1$  ( $N' = p_a, T' = 0$ ) и на  $L_2$  ( $N'' = -p_b, T'' = 0$ ) в комплексные ряды Фурье позволяют получить, что

$$A'_0 = -p_a, \quad A''_0 = -p_b,$$

а все остальные коэффициенты равны нулю. Соответственно, в разложениях комплексных функций  $\Phi(z)$  и  $\Psi(z)$  отличными от нуля будут только коэффициенты  $a_0$  и  $a'_{-2}$ :

$$a_0 = \frac{1}{2} \frac{A''_0 b^2 - A'_0 a^2}{b^2 - a^2}, \quad a'_{-2} = \frac{(A''_0 - A'_0) a^2 b^2}{b^2 - a^2}$$

или, с подстановкой значений коэффициентов  $A'_0$  и  $A''_0$ ,

$$a_0 = -\frac{1}{2} \frac{p_b b^2 - p_a a^2}{b^2 - a^2}, \quad a'_{-2} = \frac{(p_a - p_b) a^2 b^2}{b^2 - a^2} .$$

Таким образом, комплексные функции  $\Phi(z)$  и  $\Psi(z)$  принимают вид:

$$\Phi(z) = -\frac{1}{2} \frac{p_b b^2 - p_a a^2}{b^2 - a^2},$$

$$\Psi(z) = \frac{(p_a - p_b) a^2 b^2}{b^2 - a^2} \cdot \frac{1}{z^2} .$$

Для определения напряжений используем их комплексное представление в полярной системе координат:

$$\sigma_r + \sigma_\theta = 2 \left[ \Phi(z) + \overline{\Phi(\bar{z})} \right] = 4 \operatorname{Re} \Phi(z) ,$$

$$\sigma_\theta - \sigma_r + 2i\tau_{r\theta} = 2e^{2i\theta} \left[ \bar{z} \Phi'(z) + \Psi(z) \right] .$$

Подставляя в приведенные соотношения комплексные функции  $\Phi(z)$  и  $\Psi(z)$ , будем иметь:

$$\sigma_r + \sigma_\theta = 2 \frac{p_a a^2 - p_b b^2}{b^2 - a^2} ,$$

$$\sigma_\theta - \sigma_r + 2i\tau_{r\theta} = 2e^{2i\theta} \frac{(p_a - p_b) a^2 b^2}{b^2 - a^2} \cdot \frac{1}{r^2 2e^{2i\theta}} \Rightarrow$$

$$\Rightarrow \quad \sigma_\theta - \sigma_r + 2i\tau_{r\theta} = 2 \frac{(p_a - p_b) a^2 b^2}{r^2 (b^2 - a^2)} .$$

Из второго соотношения следует, что  $\tau_{r\theta} = 0$  и, соответственно,

$$\sigma_\theta - \sigma_r = 2 \frac{(p_a - p_b) a^2 b^2}{r^2 (b^2 - a^2)} .$$

Определение напряжений  $\sigma_r$  и  $\sigma_\theta$  приводит к известному результату:

$$\sigma_r = \frac{p_a a^2 - p_b b^2}{b^2 - a^2} - \frac{(p_a - p_b) a^2 b^2}{(b^2 - a^2)} \cdot \frac{1}{r^2} ,$$

$$\sigma_\theta = \frac{p_a a^2 - p_b b^2}{b^2 - a^2} + \frac{(p_a - p_b) a^2 b^2}{(b^2 - a^2)} \cdot \frac{1}{r^2} .$$

Решение рассматриваемой задачи в действительных переменных приведено в книге [1]. Там же проведен подробный анализ напряженного состояния с обсуждением его особенностей.

## 1.6. Решение граничных задач для полуплоскости и плоскости с прямолинейными разрезами

### 1.6.1. Преобразование общих формул для полуплоскости

До сих пор рассматривали только такие области, граница которых состояла из замкнутых (конечных) контуров. Полуплоскость представляет собой случай, когда граница определяется разомкнутой линией, уходящей в бесконечность в обе стороны.

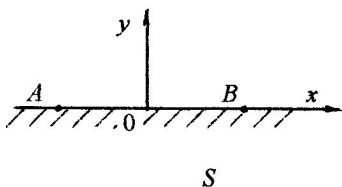


Рис. 1.1

Пусть область,  $S$  занятая телом, состоит из нижней полуплоскости  $y < 0$  (рис. 1.1), ограниченной осью  $x$ . Будем считать, напряжения стремятся к нулю, когда переменная  $z$  удаляется в бесконечность по любому

пути, оставаясь внутри  $S$ .

Если бы контур области  $S$  не простирался в бесконечность, а был замкнутой кривой, то комплексные функции  $\Phi(z)$  и  $\Psi(z)$  при больших значениях  $|z|$  имели бы вид (см. раздел 1.3.3):

$$\Phi(z) = \frac{\gamma_1}{z} + \frac{\gamma_2}{z^2} + \dots, \quad \Psi(z) = \frac{\gamma'_1}{z} + \frac{\gamma'_2}{z^2} + \dots$$

Соответственно, для рассматриваемого случая можем записать:

$$\Phi(z) = \frac{\gamma}{z} + o\left(\frac{1}{z}\right) \Rightarrow \Phi'(z) = -\frac{\gamma}{z^2} + o\left(\frac{1}{z^2}\right),$$

$$\Psi(z) = \frac{\gamma'}{z} + o\left(\frac{1}{z}\right),$$

где  $\gamma$  и  $\gamma'$  – постоянные. Напомним, что символом  $o(1/z)$  обозначается такая величина, что  $|o(1/z)| < \varepsilon / |z|$ , где  $\varepsilon$  зависит только от модуля  $|z|$  и стремится к нулю при  $|z| \rightarrow \infty$ .

Интегрируя комплексные функции  $\Phi(z)$  и  $\Psi(z)$ , получим:

$$\varphi(z) = \gamma \ln z + o(1) + \text{const} \quad , \quad \psi(z) = \gamma' \ln z + o(1) + \text{const} \quad ,$$

где символ  $o(1)$  определяет такую величину, что  $|o(1)| < \varepsilon$ , где  $\varepsilon$  зависит только от модуля  $|z|$  и стремится к нулю при  $|z| \rightarrow \infty$ . В представленных соотношениях следует выбрать одну ветвь многозначной функции  $\ln z$ , например  $\ln|z| + i\theta$ , где  $\theta$  изменяется от  $\theta = -\pi$  до  $\theta = 0$ .

Будем считать, что *главный вектор внешних сил, приложенных к отрезку  $AB$  оси  $x$ , стремится к определенному пределу, когда концы отрезка уходят в бесконечность* ( $A$  – влево, а  $B$  – вправо)<sup>1</sup>.

При положительном направлении обхода контура, когда область  $S$ , занятая телом, остается слева, компоненты главного вектора нагрузки, приложенной к участку  $AB$  контура, определяются соотношениями (см. раздел 1.2.4):

$$X + iY = -i \left[ \frac{\partial U}{\partial x} + i \frac{\partial U}{\partial y} \right]_A^B \quad , \quad \frac{\partial U}{\partial x} + i \frac{\partial U}{\partial y} = \varphi(z) + z \overline{\varphi'(z)} + \overline{\psi(z)} \quad .$$

Соответственно, если  $X'$ ,  $Y'$  – компоненты главного вектора нагрузки, приложенной к отрезку  $AB$  границы полуплоскости, будем иметь:

$$X' + iY' = i \left[ \frac{\partial U}{\partial x} + i \frac{\partial U}{\partial y} \right]_A^B = i \left[ \varphi(z) + z \overline{\varphi'(z)} + \overline{\psi(z)} \right]_A^B \quad ,$$

поскольку направление обхода от  $A$  к  $B$  – отрицательное.

Если точки  $A$  и  $B$  находятся по разные стороны от начала координат и достаточно далеко друг от друга, то использование ком-

<sup>1</sup> Принятое условие всегда выполняется, если нагружен конечный участок границы.

плексных функций  $\varphi(z)$  и  $\psi(z)$  в полученном виде приводит к соотношению:

$$X' + iY' = i \left( \gamma \ln \frac{r''}{r'} + \gamma \pi i + \bar{\gamma}' \ln \frac{r''}{r'} - \bar{\gamma}' \pi i + \varepsilon \right),$$

где  $r'$  и  $r''$  – расстояния точек  $A$  и  $B$  от начала координат;  $\varepsilon$  – малая величина, стремящаяся к нулю при возрастании  $r'$  и  $r''$ . Из полученного соотношения следует, что компоненты главного вектора  $X'$ ,  $Y'$  будут оставаться ограниченными при сколь угодно больших  $r'$  и  $r''$ , если выполняется условие:

$$\gamma + \bar{\gamma}' = 0.$$

В таком случае компоненты главного вектора  $X$ ,  $Y$  нагрузки, приложенной ко всей границе полуплоскости (ко всей оси  $x$ ), будут определяться соотношением:

$$X + iY = -\pi(\gamma - \bar{\gamma}')$$

откуда можно получить:

$$\gamma = -\frac{X + iY}{2\pi}, \quad \gamma' = -\frac{X - iY}{2\pi}.$$

С учетом полученных значений постоянных  $\gamma$  и  $\gamma'$  комплексные функции будут иметь вид:

$$\Phi(z) = -\frac{X + iY}{2\pi z} + o\left(\frac{1}{z}\right), \quad \Psi(z) = \frac{X - iY}{2\pi z} + o\left(\frac{1}{z}\right);$$

$$\varphi(z) = -\frac{X + iY}{2\pi} \ln z + o(1) + \text{const},$$

$$\psi(z) = \frac{X - iY}{2\pi} \ln z + o(1) + \text{const}.$$

Используя полученные соотношения для комплексных функций, напряженное и деформированное состояния можем определить по известным формулам (см. разделы 1.2.2 и 1.2.3):

$$\begin{aligned} 2\mu(u + iv) &= \kappa\varphi(z) - z\overline{\varphi'(z)} - \overline{\psi(z)} ; \\ \sigma_x + \sigma_y &= 2 [\Phi(z) + \overline{\Phi(z)}] = 4 \operatorname{Re} \Phi(z) , \\ \sigma_y - \sigma_x + 2i\tau_{xy} &= 2 [\bar{z}\Phi'(z) + \Psi(z)] . \end{aligned}$$

Принимая теперь для области, занятой телом (нижней полуплоскости  $\operatorname{Im}(z) \leq 0$ ) обозначение  $S^-$ , а для оси  $x - L$  (рис. 1.2), распространим определение комплексных функций на верхнюю полуплоскость  $S^+$ .

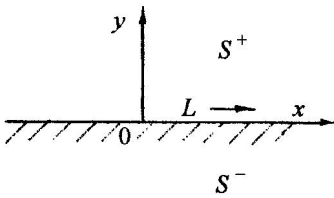


Рис. 1.2

Условимся сначала о некоторых представлениях. Если функция  $F(z)$  определена в области  $S^-$ , то функция  $\overline{F}(z) = \overline{F(\bar{z})}$ <sup>1</sup> определена в области  $S^+$  (данное утверждение проверяется

с привлечением соотношений Коши – Римана). Соответственно, если существует граничное значение  $F^-(t)$  в точке  $t$  действительной оси  $x$ , то существует и граничное значение  $\overline{F}^+(t)$ , причем  $\overline{F^-(t)} = \overline{F}^+(t)$  или  $\overline{F}^-(t) = \overline{F}^+(t)$ .

Построим аналитическое продолжение функции  $\Phi(z)$  в верхнюю полуплоскость  $S^+$  так, чтобы ее значения в этой полуплоскости аналитически продолжили значения, принимаемые в нижней полуплоскости через *незагруженные* участки границы (если таковые имеются).

<sup>1</sup> Если  $\Phi(z) = u(x, y) + iv(x, y)$ , то  $\overline{\Phi}(z) = u_1(x, y) + iv_1(x, y)$ , где  $u_1(x, y) = u(x, -y)$ ,  $v_1(x, y) = -v(x, -y)$ .

На незагруженном участке границы имеем, что  $\sigma_y = \tau_{xy} = 0$ .  
Поскольку

$$\sigma_y - i\tau_{xy} = \Phi(z) + \overline{\Phi(z)} + z\overline{\Phi'(z)} + \overline{\Psi(z)} ,$$

граничное условие принимает вид:

$$\sigma_y - i\tau_{xy} \Big|_{y=0} = \Phi^-(t) + \overline{\Phi^-(t)} + t\overline{\Phi'^-(t)} + \overline{\Psi^-(t)} = 0 ,$$

откуда непосредственно следует

$$\Phi^-(t) = -\overline{\Phi^-(t)} - t\overline{\Phi'^-(t)} - \overline{\Psi^-(t)} .$$

Можно утверждать, что функция  $\Phi(z) = -\overline{\Phi(z)} - z\overline{\Phi'(z)} - \overline{\Psi(z)}$  голоморфна в области  $S^-$ . Голоморфной в этой области является и функция  $\overline{\Phi(z)} = -\Phi(\bar{z}) - \bar{z}\Phi'(\bar{z}) - \Psi(\bar{z})$ .

Функция  $\Phi(z) = -\overline{\Phi(z)} - z\overline{\Phi'(z)} - \overline{\Psi(z)}$  будет голоморфной в области  $S^+$ . Действительно,  $\overline{\Phi(z)} = -\Phi(\bar{z}) - \bar{z}\Phi'(\bar{z}) - \Psi(\bar{z}) \Rightarrow \Rightarrow \overline{\overline{\Phi(z)}} = -\overline{\Phi(\bar{z})} - \bar{z}\overline{\Phi'(\bar{z})} - \overline{\Psi(\bar{z})} \Rightarrow \Phi(z) = -\overline{\Phi(z)} - z\overline{\Phi'(z)} - \overline{\Psi(z)}$ . Соответственно, на границе  $\text{Im}(z) = 0$  (на границе  $L$ , при  $z \rightarrow t$  со стороны  $S^+$ ) имеем:

$$\Phi^+(t) = -\overline{\Phi^+(t)} - t\overline{\Phi'^+(t)} - \overline{\Psi^+(t)} .$$

Сопоставление полученных соотношений для  $\Phi^-(t)$  и  $\Phi^+(t)$  с учетом равенства  $\overline{F^-(t)} = \overline{F^+(t)}$ , принимающего здесь форму  $\overline{\Phi^-(t)} = \overline{\Phi^+(t)}$  и  $\overline{\Psi^-(t)} = \overline{\Psi^+(t)}$ , позволяет получить:

$$\Phi^-(t) = \Phi^+(t) .$$

Следовательно, функция  $\Phi(z) = -\bar{\Phi}(z) - z\bar{\Phi}'(z) - \bar{\Psi}(z)$ , определенная в верхней полуплоскости  $S^+$ , является аналитическим продолжением через ненагруженные участки границы  $L$  голоморфной в нижней полуплоскости  $S^-$  функции  $\Phi(z)$ . Иными словами, функция  $\Phi(z) = -\bar{\Phi}(z) - z\bar{\Phi}'(z) - \bar{\Psi}(z)$  представляет кусочно-голоморфную функцию во всей плоскости, разрезанной вдоль нагруженных участков границы  $L$ .

Аналитическое продолжение комплексной функции  $\Psi(z)$  на верхнюю полуплоскость  $S^+$  легко получить, используя соответствующее соотношение для функции  $\Phi(z)$ . Действительно,  $\Phi(z) = -\bar{\Phi}(z) - z\bar{\Phi}'(z) - \bar{\Psi}(z) \xrightarrow{z \rightarrow \bar{z}} \bar{\Phi}(z) = -\Phi(z) - z\Phi'(z) - \Psi(z)$ , откуда имеем:

$$\Psi(z) = -\Phi(z) - \bar{\Phi}(z) - z\Phi'(z) .$$

Полученное соотношение позволяет упростить формулы, описывающие напряженное состояние, записав их через *одну* функцию  $\Phi(z)$ , определенную как в верхней, так и в нижней полуплоскости:

$$\begin{aligned} \sigma_x + \sigma_y &= 2 \left[ \Phi(z) + \bar{\Phi}(z) \right] , \\ \sigma_y - \sigma_x + 2i\tau_{xy} &= 2 \left[ (\bar{z} - z)\Phi'(z) - \Phi(z) - \bar{\Phi}(z) \right] . \end{aligned} \tag{1.8}$$

Переходя во втором уравнении к сопряженным значениям и складывая его с первым, можно получить еще одно соотношение для напряжений, удобное для использования в некоторых случаях:

$$\sigma_y - i\tau_{xy} = \Phi(z) - \Phi(\bar{z}) + (z - \bar{z})\bar{\Phi}'(\bar{z}) . \tag{1.8, a}$$

Для аналогичных преобразований формулы, определяющей комплексное представление перемещений, необходимо получить

аналитическое продолжение на верхнюю полуплоскость  $S^+$  функций  $\varphi(z)$  и  $\psi(z)$ . С этой целью продолжим голоморфную в области  $S^-$  функцию  $\varphi(z)$  в область  $S^+$  так, чтобы в этой области  $\varphi'(z) = \Phi(z)$ , где функция  $\Phi(z)$  уже определена соотношением:

$$\Phi(z) = -\overline{\Phi(z)} - z\overline{\Phi'(z)} - \overline{\Psi(z)} \Rightarrow \Phi(z) = -[z\overline{\varphi'(z)} + \overline{\psi(z)}]' .$$

Представленные соотношения позволяют определить производную функции  $\varphi(z)$  и саму функцию:

$$\varphi'(z) = -[z\overline{\varphi'(z)} + \overline{\psi(z)}]' \Rightarrow \varphi(z) = -z\overline{\varphi'(z)} - \overline{\psi(z)} + \text{const} .$$

Аналитическое продолжение комплексной функции  $\psi(z)$  на верхнюю полуплоскость  $S^+$  легко получить аналогично тому, как это было сделано для функции  $\Psi(z)$ . Будем иметь:

$$\psi(z) = -\overline{\varphi(z)} - z\overline{\varphi'(z)} + \text{const} .$$

Теперь и перемещения могут быть представлены через *одну* функцию  $\varphi(z)$ , определенную как в верхней, так и в нижней полуплоскости:

$$2\mu(u + iv) = k\varphi(z) + \varphi(\bar{z}) - (z - \bar{z})\overline{\varphi'(z)} + \text{const} . \quad (1.9)$$

Отметим, что постоянная, входящая в полученную формулу, определяет жесткое поступательное перемещение всего тела и, соответственно, может быть принята равной нулю.

### 1.6.2. Решение первой основной граничной задачи для полуплоскости

Пусть тело занимает нижнюю полуплоскость (см. рис. 1.2). Будем считать, что заданы внешние нагрузки в форме давления  $P(t)$

и сдвигающих усилий  $T(t)$ , приложенных ко всей границе  $L$ , причем  $P(\infty) = T(\infty) = 0$  (нагрузки исчезают при  $t \rightarrow \infty$ ). Напомним, что составляющая  $P(t)$  представляет собой проекцию внешней нагрузки на внешнюю нормаль  $\vec{n}$ , а  $T(t)$  – проекция той же нагрузки на касательную  $\vec{t}$  к границе, направленную влево, если смотреть вдоль  $\vec{n}$  (по положительному направлению обхода контура).

Согласно соотношению (1.8, а) граничное условие в поставленной задаче принимает вид:

$$\Phi^+(t) - \Phi^-(t) = P(t) + iT(t) ,$$

поскольку при  $z$ , стремящемся к  $t$  из нижней полуплоскости,  $\Phi(z)$  стремится к  $\Phi^-(t)$ ,  $\Phi(\bar{z})$  стремится к  $\Phi^+(t)$ , а  $(z - \bar{z})\overline{\Phi'(z)} = 2iy\overline{\Phi'(z)}$  стремится к нулю. Тем самым, задача сведена к отысканию кусочно-голоморфной функции  $\Phi(z)$  по заданному скачку  $\Phi^+(t) - \Phi^-(t) = f(t)$  на  $L$ . Решение этой задачи известно:

$$\Phi(z) = \frac{1}{2\pi i} \int_L \frac{f(t)}{t-z} dt = \frac{1}{2\pi i} \int_L \frac{P(t) + iT(t)}{t-z} dt .$$

Таким образом, первая основная граничная задача для полуплоскости решена, поскольку функция  $\Phi(z)$  определяет и компоненты тензора напряжений, и перемещения по уже известным формулам.

### 1.6.3. Решение первой основной граничной задачи для плоскости с прямолинейными разрезами

Пусть область  $S'$ , занятая упругим телом, представляет собой всю плоскость, разрезанную вдоль  $n$  отрезков  $L_k = a_k b_k$  ( $k = 1, 2, \dots, n$ ) оси  $x$ ; совокупность всех этих отрезков обозначим через  $L$ .

В отличие от ранее рассматриваемой задачи (см. раздел 1.6.1), будем предполагать, что напряжения *ограничены* на бесконечности. В этом случае комплексные функции  $\varphi(z)$  и  $\psi(z)$  принимают вид (см. раздел 1.3.3):

$$\begin{aligned}\varphi(z) &= -\frac{X+iY}{2\pi(1+\kappa)} \ln z + \Gamma z + \varphi_0(z) \quad , \\ \psi(z) &= \frac{\kappa(X-iY)}{2\pi(1+\kappa)} \ln z + \Gamma'z + \psi_0(z) \quad ,\end{aligned}$$

где  $\Gamma = B+iC$  ,  $\Gamma' = B'+iC'$  – комплексные постоянные;  $\varphi_0(z)$  и  $\psi_0(z)$  – функции, представляемые при достаточно больших значениях  $|z|$  разложениями вида

$$\varphi_0(z) = a_0 + \frac{a_1}{z} + \frac{a_2}{z^2} + \dots \quad , \quad \psi_0(z) = a'_0 + \frac{a'_1}{z} + \frac{a'_2}{z^2} + \dots$$

Соответственно, комплексные функции  $\Phi(z)$  и  $\Psi(z)$  при достаточно больших значениях  $|z|$  можем записать в форме:

$$\begin{aligned}\Phi(z) &= -\frac{X+iY}{2\pi(1+\kappa)} \frac{1}{z} + \Gamma + O\left(\frac{1}{z^2}\right) \quad , \\ \Psi(z) &= \frac{\kappa(X-iY)}{2\pi(1+\kappa)} \frac{1}{z} + \Gamma' + O\left(\frac{1}{z^2}\right) \quad .\end{aligned}$$

Действительные постоянные  $B$  ,  $B'$  и  $C'$  , входящие в соотношения для функций  $\Phi(z)$  и  $\Psi(z)$  посредством комплексных постоянных  $\Gamma$  и  $\Gamma'$  , имеют простой физический смысл.

$$\begin{aligned}B &= (N_1 + N_2) / 4 \quad , \\ \Gamma' = B' + iC' &= -(N_1 - N_2) e^{-2i\alpha} / 2 \quad ,\end{aligned}$$

где  $N_1$  и  $N_2$  – значения главных напряжений на бесконечности;  $\alpha$  – угол, который главная ось 1 составляет с осью  $x$ . Постоянная  $C$  может быть принята равной нулю.

Введем в рассмотрение новую функцию

$$\Omega(z) = \overline{\Phi}(z) + z\overline{\Phi}'(z) + \overline{\Psi}(z) ,$$

которая на основании имеющихся соотношений будет иметь вид:

$$\Omega(z) = \frac{\kappa(X + iY)}{2\pi(1 + \kappa)} \frac{1}{z} + \overline{\Gamma} + \overline{\Gamma}' + O\left(\frac{1}{z^2}\right) .$$

Комплексная функция  $\Psi(z)$  может быть определена через новую функцию  $\Omega(z)$  следующим образом:

$$\Psi(z) = \overline{\Omega}(z) - \Phi(z) + z\Phi'(z) ,$$

что позволяет представить напряжения через комплексные функции  $\Phi(z)$  и  $\Omega(z)$ . В частности, соотношение (1.8, а)

$$\sigma_y - i\tau_{xy} = \Phi(z) + \overline{\Phi}(\bar{z}) + z\overline{\Phi}'(\bar{z}) + \overline{\Psi}(z)$$

будет иметь вид:

$$\sigma_y - i\tau_{xy} = \Phi(z) + \Omega(\bar{z}) + (z - \bar{z})\overline{\Phi}'(\bar{z}) . \quad (1.8, б)$$

Аналогично можно преобразовать и соотношение, определяющее перемещения (1.2), если вместо функции  $\psi(z)$  ввести новую функцию

$$\omega(z) = \int \Omega(z) dz = z\overline{\Phi}(z) + \overline{\Psi}(z) + \text{const} .$$

Будем иметь:

$$2\mu(u + iv) = \kappa\varphi(z) - z\overline{\varphi'(z)} - \overline{\psi(z)} \Rightarrow$$

$$\Rightarrow 2\mu(u + iv) = \kappa\varphi(z) - \omega(\bar{z}) - (z - \bar{z})\overline{\Phi(z)} + \text{const} . \quad (1.9, a)$$

Перейдем теперь к решению первой основной задачи. Будем считать, что заданы внешние нагрузки  $\bar{X}^+$ ,  $\bar{Y}^+$ ,  $\bar{X}^-$ ,  $\bar{Y}^-$ , приложенных ко всей границе  $L$ ; верхними индексами "+" и "-" отмечены значения нагрузок, принимаемые соответственно на верхних и нижних краях разрезов. Кроме того, будем считать заданными постоянные  $\Gamma = \bar{\Gamma} = B$  (постоянная  $C$  принята равной нулю) и  $\Gamma' = B' + iC'$ , т.е. считаем заданными напряжения на бесконечности.

Согласно соотношению (1.8, б) граничные условия в поставленной задаче принимает вид:

$$\Phi^+(t) + \Omega^-(t) = \bar{Y}^+ - i\bar{X}^+ , \quad \Phi^-(t) + \Omega^+(t) = \bar{Y}^- - i\bar{X}^- .$$

Складывая и вычитая полученные уравнения, имеем:

$$[\Phi(t) + \Omega(t)]^+ + [\Phi(t) + \Omega(t)]^- = 2p(t) , \quad (1.10)$$

$$[\Phi(t) - \Omega(t)]^+ - [\Phi(t) - \Omega(t)]^- = 2q(t) , \quad (1.11)$$

где  $2p(t)$ ,  $2q(t)$  – заданные на  $L$  функции:

$$2p(t) = [\bar{Y}^+ + \bar{Y}^-] - i[\bar{X}^+ + \bar{X}^-] ,$$

$$2q(t) = [\bar{Y}^+ - \bar{Y}^-] - i[\bar{X}^+ - \bar{X}^-] .$$

Так как  $\Phi(\infty) - \Omega(\infty) = -\Gamma'$ , то общее решение граничной задачи (1.11) определяется формулой:

$$\Phi(z) - \Omega(z) = \frac{1}{\pi i} \int_L \frac{q(t)}{t - z} dt - \bar{\Gamma}' . \quad (1.12)$$

Далее, вводя в рассмотрение функцию

$$X(z) = \prod_{k=1}^n (z - a_k)^{1/2} (z - b_k)^{1/2} , \quad (1.13)$$

запишем общее решение граничной задачи (1.10)<sup>1</sup>:

$$\Phi(z) + \Omega(z) = \frac{1}{\pi i X(z)} \int_L \frac{X^+(t)p(t)}{t-z} dt + \frac{2P_n(z)}{X(z)} . \quad (1.14)$$

Здесь  $P_n(z)$  обозначает полином степени не выше  $n$  :

$$P_n(z) = C_0 z^n + C_1 z^{n-1} + \dots + C_n ,$$

а под  $X^+(t)$  подразумевается значение, принимаемое функцией  $X(z)$  на левой стороне  $L$ .

Из формул (1.12) и (1.14) следует:

$$\begin{aligned} \Phi(z) &= \Phi_0(z) + \frac{P_n(z)}{X(z)} - \frac{1}{2} \bar{\Gamma}' , \\ \Omega(z) &= \Omega_0(z) + \frac{P_n(z)}{X(z)} + \frac{1}{2} \bar{\Gamma}' , \end{aligned} \quad (1.15)$$

где

$$\begin{aligned} \Phi_0(z) &= \frac{1}{2\pi i X(z)} \int_L \frac{X^+(t)p(t)}{t-z} dt + \frac{1}{2\pi i} \int_L \frac{q(t)}{t-z} dt , \\ \Omega_0(z) &= \frac{1}{2\pi i X(z)} \int_L \frac{X^+(t)p(t)}{t-z} dt - \frac{1}{2\pi i} \int_L \frac{q(t)}{t-z} dt . \end{aligned}$$

---

<sup>1</sup> Решение дается без вывода. Полное решение задачи приводится в работе [7].

Остается определить полином  $P_n(z)$ . Для определенности будем считать, что под функцией  $X(z)$  подразумевается ветвь, имеющая при больших значениях  $|z|$  вид:

$$X(z) = z^n + a_{n-1}z^{n-1} + \dots$$

Коэффициент  $C_0$  сразу определяется по первой из формул (1.15) и по условию  $\Phi(\infty) = \Gamma$ :

$$C_0 = \Gamma + \frac{1}{2} \Gamma' .$$

Остальные коэффициенты должны быть определены из условия однозначности перемещений, комплексное представление которых дано формулой:

$$2\mu(u + iv) = \kappa\varphi(z) - \omega(\bar{z}) - (z - \bar{z})\overline{\Phi(z)} + \text{const} .$$

Приведенное соотношение показывает, что выдвинутое условие будет выполняться, если функция  $\kappa\varphi(z) - \omega(\bar{z})$  будет возвращаться к своим первоначальным значениям, когда точка  $z$  описывает замкнутые контуры  $\Lambda_k$ , охватывающие отрезки  $a_k b_k = L_k$  ( $k = 1, 2, \dots, n$ ). Стягивая контуры  $\Lambda_k$  к отрезкам  $L_k$ , условие однозначности перемещений можно привести к следующим равенствам:

$$2(\kappa + 1) \int_{L_k} \frac{P_n(t)}{X(t)} dt + \kappa \int_{L_k} [\Phi_0^+(t) - \Phi_0^-(t)] dt + \int_{L_k} [\Omega_0^+(t) - \Omega_0^-(t)] dt = 0 ,$$

которые представляют собой систему линейных уравнений относительно постоянных  $C_1, C_2, \dots, C_n$ .

В частном случае, когда края разрезов (щелей) свободны от напряжений (*растяжение пластины, ослабленной разрезами*), функции  $\Phi_0(z)$  и  $\Omega_0(z)$  равны нулю и решение принимает достаточно простой вид:

$$\Phi(z) = \frac{P_n(z)}{X(z)} - \frac{1}{2}\bar{\Gamma}', \quad \Omega(z) = \frac{P_n(z)}{X(z)} + \frac{1}{2}\bar{\Gamma}' . \quad (1.16)$$

В этом случае коэффициенты полинома  $P_n(z)$  определяются соотношениями:

$$C_0 = \Gamma + \frac{1}{2}\Gamma' , \quad \int_{L_k} \frac{P_n(t)}{X^+(t)} dt = 0 \quad (k = 1, 2, \dots, n) .$$

При  $n=1$  (*растяжение пластины, ослабленной одним разрезом*), полагая  $a_1 = -l$ ,  $b_1 = l$  ( $l$  – полудлина разреза), получим совсем простые формулы:

$$\Phi(z) = \frac{(2\Gamma + \bar{\Gamma}')z}{2\sqrt{z^2 - l^2}} - \frac{1}{2}\bar{\Gamma}' , \quad \Omega(z) = \frac{(2\Gamma + \bar{\Gamma}')z}{2\sqrt{z^2 - l^2}} + \frac{1}{2}\bar{\Gamma}' . \quad (1.17)$$

Представленные функции определяют напряженное состояние неограниченной пластины с одиночным разрезом.

### **1.7. Напряженное состояние в вершине разреза (трещины) при растяжении пластины**

В расчетах на прочность элементов конструкций и сооружений с трещинами отправной точкой является исследование напряжений и деформаций, возникающих в них под действием приложенных нагрузок. При этом особый интерес представляет область в непосредственной близости к вершине (кончику) трещины, размеры которой

малы по сравнению с размерами тела и трещины, поскольку именно в этой области начинается дальнейшее разрушение. В рамках линейной механики разрушения, исходящей из модели идеально упругого тела и представляющей трещину в виде разреза нулевой толщины, поверхности которого свободны от напряжений, задача определения напряженного состояния в вершине трещины сводится к граничной задаче теории упругости для плоскости с полубесконечным разрезом при соответствующем нагружении.

Рассмотрим задачу о растяжении плоскости с одиночным разрезом (трещиной), ориентированным перпендикулярно растягивающим напряжениям  $\sigma$ , приложенным на бесконечности, а нагрузка на верхнем и нижнем краях разреза равна нулю. Разрез занимает область  $y = 0, |x| \leq l$ .

Поскольку в рассматриваемом случае  $N_1 = \sigma, N_2 = 0, \alpha = \pi/2$ , будем иметь:  $B = \sigma/4, \Gamma = \sigma/4$  (постоянная  $C$  равна нулю) и  $\Gamma' = B' + iC' = \sigma/2$ .

Соответственно, комплексные функции  $\Phi(z)$  и  $\Omega(z)$ , определяемые соотношениями (1.17), принимают вид:

$$\Phi(z) = \frac{\sigma z}{2\sqrt{z^2 - l^2}} - \frac{\sigma}{4}, \quad \Omega(z) = \frac{\sigma z}{2\sqrt{z^2 - l^2}} + \frac{\sigma}{4}.$$

Напомним, что полученные соотношения определяют напряженное состояние неограниченной пластины с одиночным разрезом при больших значениях  $|z|$ . Для перехода к задаче определения напряженного состояния в вершине трещины (к задаче для плоскости с полубесконечным разрезом) введем полярные координаты  $r, \theta$ , поместив начало координат в вершине разреза, и новую комплексную переменную  $\zeta = z - l = r e^{i\theta}$  ( $z = \zeta + l$ ). Комплексные функции  $\Phi(z)$  и  $\Omega(z)$  будут иметь вид:

$$\Phi(z) = \frac{\sigma(\zeta + l)}{2\sqrt{\zeta(\zeta + 2l)}} - \frac{\sigma}{4},$$

$$\Omega(z) = \frac{\sigma(\zeta + l)}{2\sqrt{\zeta(\zeta + 2l)}} + \frac{\sigma}{4} .$$

При малых (сравнительно с длиной трещины) значениях  $|\zeta|$  асимптотическое представление комплексных функций  $\Phi(z)$  и  $\Omega(z)$  в окрестности вершины разреза позволяет получить:

$$\Phi(z)\Big|_{|\zeta| \rightarrow 0} = \Omega(z)\Big|_{|\zeta| \rightarrow 0} = \frac{\sigma\sqrt{\pi l}}{2\sqrt{2\pi\zeta}} = \frac{K_I e^{-i\theta/2}}{2\sqrt{2\pi r}} ,$$

где введено обозначение:  $K_I = \sigma\sqrt{\pi l}$  – коэффициент интенсивности напряжений для трещины нормального отрыва (для трещины типа I).

Напряженное состояние в вершине трещины определим, используя первое из соотношений (1.8) и соотношение (1.8, а):

$$\begin{aligned} \sigma_x + \sigma_y &= 2 \left[ \Phi(z) + \overline{\Phi(z)} \right] , \\ \sigma_y - i\tau_{xy} &= \Phi(z) + \Omega(\bar{z}) + (z - \bar{z}) \overline{\Phi'(z)} . \end{aligned}$$

Используя второе из представленных зависимостей, для нормального напряжения  $\sigma_y$  можем получить:

$$\begin{aligned} \sigma_y &= \operatorname{Re} \left[ \Phi(z) + \Omega(\bar{z}) + (z - \bar{z}) \overline{\Phi'(z)} \right] = \\ &= \frac{K_I}{2\sqrt{2\pi r}} \operatorname{Re} \left[ \exp\left(-\frac{i\theta}{2}\right) + \exp\left(\frac{i\theta}{2}\right) - i \sin \theta \cdot \exp\left(\frac{3i\theta}{2}\right) \right] \Rightarrow \\ \Rightarrow \sigma_y &= \frac{K_I}{\sqrt{2\pi r}} \cos \frac{\theta}{2} \left( 1 + \sin \frac{\theta}{2} \sin \frac{3\theta}{2} \right) . \end{aligned}$$

Аналогичным образом находим соотношение, определяющее касательное напряжение  $\tau_{xy}$ :

$$-i\tau_{xy} = \frac{K_I}{2\sqrt{2\pi r}} \left( -i \sin \theta \cos \frac{3\theta}{2} \right) \Rightarrow \tau_{xy} = \frac{K_I}{\sqrt{2\pi r}} \cos \frac{\theta}{2} \sin \frac{\theta}{2} \cos \frac{3\theta}{2} .$$

Соответственно, для нормального напряжения  $\sigma_x$  будем иметь:

$$\begin{aligned} \sigma_x &= 2 \left[ \Phi(z) + \overline{\Phi(\bar{z})} \right] - \sigma_y \quad \Rightarrow \\ \Rightarrow \quad \sigma_x &= \frac{K_I}{\sqrt{2\pi r}} \cos \frac{\theta}{2} \left( 1 - \sin \frac{\theta}{2} \sin \frac{3\theta}{2} \right) . \end{aligned}$$

Обратим внимание, что введенный параметр  $K_I = \sigma\sqrt{\pi l}$  является мерой сингулярности напряжений в области, прилегающей к вершине трещины, и играет для этой области такую же роль, как коэффициенты концентрации напряжений для макрообъемов тела. В отличие от коэффициентов концентрации коэффициенты интенсивности напряжений имеют размерность (МПа $\sqrt{м}$  или кг/мм<sup>3/2</sup>). Очевидно, что можно говорить о трещинах поперечного (тип трещины II) и продольного (тип III) сдвига.

Особенностью поля напряжений в вершине трещины является то, что асимптотика напряженного состояния не зависит от длины трещины, формы тела и схемы действующих нагрузок. С другой стороны, интенсивность асимптотического распределения напряжений определяется только коэффициентом интенсивности напряжений, являющимся функцией проложенной нагрузки, геометрии тела и трещины, но не зависящим от координат  $r$ ,  $\theta$  точки вблизи вершины разреза.

Таким образом, коэффициенты интенсивности напряжений являются базовыми характеристиками напряженно-деформированного состояния в вершине трещины. Определение этих величин для тел с трещинами на основе решения соответствующих краевых задач является обширной самостоятельной областью математической теории упругости.

## 2. Изгиб тонких плит (пластин)

Пластиной (плитой) будем называть тело призматической или цилиндрической формы, у которого высота  $h$  мала по сравнению с размерами основания.

Пластины, толщина которых не превышает  $1/5$  наименьшего размера основания, относятся к *тонким*. Расчеты таких пластин ведут на основе классической теории изгиба, базирующейся на гипотезах Кирхгофа. Расчеты пластин, толщина которых превышает  $1/5$  наименьшего размера основания, ведут на основе теории *толстых* плит.

Плоскость, делящая толщину пластины пополам, называется *срединной*. Перемещения, которые получают точки срединной плоскости при нагружении пластины нагрузкой, перпендикулярной к срединной плоскости (при изгибе пластины), называют *прогибами*. Срединная плоскость после деформирования пластины переходит в *срединную поверхность*.

Пластину считают *жесткой*, если величина максимального прогиба (*стрелы прогиба*) не превышает  $1/5$  толщины. При построении теории изгиба жесткой пластины можно пренебречь напряжениями растяжения (сжатия), равномерно распределенными по толщине пластины (*мембранными* напряжениями). Для *гибких* пластин, наряду с изгибными напряжениями, учет мембранных напряжений необходим. Пластину принято считать *абсолютно гибкой* или *мембраной*, если стрела прогиба превышает толщину в 5 и более раз. При расчете мембраны можно пренебречь изгибными напряжениями по сравнению с мембранными напряжениями в срединной плоскости.

Построение *инженерной теории* изгиба тонких пластин базируется на следующих основных допущениях (гипотезах):

- прямая, нормальная к срединной плоскости пластины до изгиба, переходит в нормаль к срединной поверхности после изгиба (гипотеза Кирхгофа – Лява);

- напряжением, действующим в направлении, перпендикулярном срединной поверхности, можно пренебречь;

- срединная плоскость остается после изгиба нейтральной.

## 2.1. Изгиб прямоугольных пластин

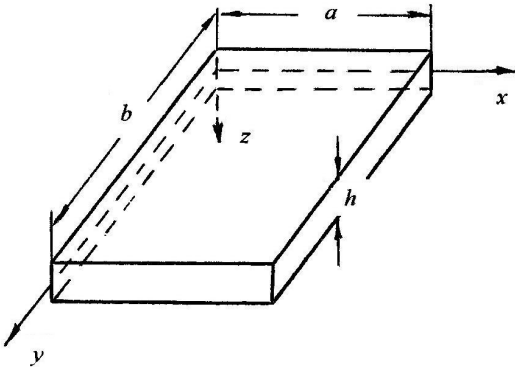


Рис. 2.1

Выберем систему координат так, чтобы плоскость  $xu$  являлась срединной плоскостью пластины, а ось  $z$  располагалась в направлении ее толщины (рис. 2.1). Размеры пластины показаны на рисунке.

Гипотезу о прямых нормалях в рассматриваемом случае можно

трактовать как требование неизменности прямых углов в плоскостях  $xz$  и  $yz$ , что означает отсутствие сдвигов  $\gamma_{xz}$  и  $\gamma_{yz}$  в этих плоскостях ( $\gamma_{xz} = \gamma_{yz} = 0$ ) и равенство нулю соответствующих касательных напряжений  $\tau_{xz}$  и  $\tau_{yz}$  ( $\tau_{xz} = \tau_{yz} = 0$ ).

Вторая гипотеза позволяет утверждать, что на площадках, параллельных срединной плоскости, можно пренебречь нормальным напряжением  $\sigma_z$  ( $\sigma_z = 0$ ). Соответственно, можно пренебречь взаимным нажатием горизонтальных слоев пластины и принять, что линейная деформация  $\varepsilon_z$  равна нулю ( $\varepsilon_z = 0$ ). Как следствие, можно утверждать, что вертикальные перемещения точек (прогибы  $w$ ) в пределах нормали (по толщине пластины) остаются постоянными и равными вертикальным перемещениям точек срединной поверхности  $w = w(x, y)$ . Поскольку принято, что срединная плоскость остается после изгиба нейтральной, для точек этой плоскости имеем  $u_0 = 0$ ,  $v_0 = 0$ ,  $w_0 = w(x, y)$ .

Принятые допущения существенно упрощают анализ напряженно-деформированного состояния изгибаемой пластины и позволяют в качестве расчетной схемы использовать элемент срединной плоскости пластины вместо ее элемента объема.

### 2.1.1. Уравнение прогибов при изгибе прямоугольной пластины

Примем, что на верхней плоскости пластины действует нормальная к ней нагрузка  $p(x, y)$ , а нижняя плоскость свободна от нагрузки. Объемные силы учитывать не будем, поскольку в задачах изгиба пластин они обычно малы по сравнению с поперечной нагрузкой  $p(x, y)$ .

Учитывая рассматриваемый характер деформирования пластины (изгиб), нагрузку на элемент срединной плоскости представим в виде изгибающих моментов  $M_x$ ,  $M_y$ , скручивающего момента  $M_{xy}$  и перерезывающих сил  $Q_x$  и  $Q_y$  (рис.2.2). Индексация сил и моментов является общепринятой в теории пластин и оболочек. На рисунке показаны положительные направления сил и моментов<sup>1</sup>, причем  $M_{xy} = -M_{yx}$ .

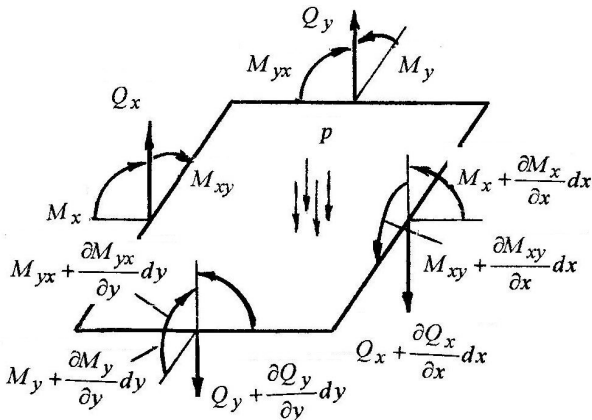


Рис. 2.2

Запишем уравнения равновесия выделенного элемента пластины. Отметим, что поскольку срединную плоскость после изгиба

<sup>1</sup> Изгибающий момент считается положительным, если в выбранной координатной системе вектор момента направлен по положительному направлению внешней нормали (или касательной) к площадке. Положительное направление касательной к площадке определяется направлением нормали, повернутой на  $90^\circ$  против часовой стрелки, если смотреть с конца оси  $z$ .

считаем нейтральной (недеформируемой), уравнения сил  $\sum X = 0$  и  $\sum Y = 0$  удовлетворяются тождественно. Проектируя все силы на направление оси  $z$ , получим:

$$\sum Z = 0 \quad \Rightarrow \quad \frac{\partial Q_x}{\partial x} + \frac{\partial Q_y}{\partial y} + p = 0 \quad .$$

Уравнение моментов относительно оси  $x$  после отбрасывания слагаемых высших порядков малости принимает вид:

$$\frac{\partial M_{xy}}{\partial x} - \frac{\partial M_y}{\partial y} + Q_y = 0 \quad .$$

Аналогичный вид будет иметь уравнение моментов относительно оси  $y$ :

$$\frac{\partial M_{yx}}{\partial y} + \frac{\partial M_x}{\partial x} - Q_x = 0 \quad .$$

Полученные три уравнения полностью описывают равновесие выделенного элемента пластины, поскольку уравнение моментов относительно оси  $z$  удовлетворяется тождественно.

Определив перерезывающие силы  $Q_x$  и  $Q_y$  из уравнений моментов (с учетом соотношения  $M_{xy} = -M_{yx}$ )

$$Q_x = -\frac{\partial M_{xy}}{\partial y} + \frac{\partial M_x}{\partial x} \quad , \quad Q_y = -\frac{\partial M_{xy}}{\partial x} + \frac{\partial M_y}{\partial y} \quad , \quad (2.1)$$

и подставив их значения в уравнение сил, будем иметь:

$$\frac{\partial^2 M_x}{\partial x^2} - 2 \frac{\partial^2 M_{xy}}{\partial x \partial y} + \frac{\partial^2 M_y}{\partial y^2} = -p(x, y) \quad . \quad (2.2)$$

Полученное соотношение показывает, что задача изгиба пластины является статически неопределимой (одно уравнение статики – три неизвестных момента), и для дальнейшего ее решения необходимо рассматривать деформированное состояние пластины и привлекать уравнения линейного физического закона, связывающие деформации и напряжения.

Напомним, что используемые при построении *инженерной теории* изгиба тонких пластин допущения (гипотезы) позволили сделать существенные упрощения в напряженно-деформированном состоянии изгибаемой пластины. Действительно, имеем:

$$\begin{aligned} \gamma_{xz} = \gamma_{yz} = 0 & \Rightarrow \tau_{xz} = \tau_{yz} = 0 ; \\ \sigma_z = 0 & \Rightarrow \varepsilon_z = 0 \Rightarrow w = w(x, y) . \end{aligned}$$

Отметим, однако, что гипотеза о прямых нормалях входит в некоторое противоречие с расчетной схемой, принятой при рассмотрении равновесия элемента пластины. Так, наличие перерезывающих сил  $Q_x$  и  $Q_y$  в расчетной схеме обусловлено характером деформирования пластины, а реализация упомянутой гипотезы требует равенства нулю касательных напряжений  $\tau_{xz}$  и  $\tau_{yz}$ , которые определяют эти силы. В дальнейшем будем считать, что деформации сдвига  $\gamma_{xz}$  и  $\gamma_{yz}$  достаточно малы, чтобы ими можно было пренебречь *при анализе деформированного состояния*, но перерезывающие силы  $Q_x$  и  $Q_y$  являются величинами того же порядка, что и нагрузка  $p(x, y)$ , и моменты  $M_x$ ,  $M_y$  и  $M_{xy}$ .

Реализуя условие  $\gamma_{xz} = \frac{\partial u}{\partial z} + \frac{\partial w}{\partial x} = 0$ , можем получить:

$$u = -z \frac{\partial w}{\partial x} + f(x, y) \Rightarrow u = -z \frac{\partial w}{\partial x} ,$$

поскольку  $u|_{z=0} = 0$ . Аналогичным образом, из условия  $\gamma_{yz} =$

$$= \frac{\partial v}{\partial z} + \frac{\partial w}{\partial y} = 0 \text{ будем иметь, что } v = -z \frac{\partial w}{\partial y} .$$

Переходя к уравнениям линейного физического закона и учитывая, что  $\varepsilon_z = \sigma_z = 0$ , можем записать:

$$\begin{aligned}\varepsilon_x &= \frac{\partial u}{\partial x} = \frac{1}{E}(\sigma_x - \nu\sigma_y), \\ \varepsilon_y &= \frac{\partial v}{\partial y} = \frac{1}{E}(\sigma_y - \nu\sigma_x), \\ \gamma_{xy} &= \frac{\partial v}{\partial x} + \frac{\partial u}{\partial y} = \frac{2(1+\nu)}{E} \tau_{xy}.\end{aligned}$$

Полученные уравнения позволяют представить напряжения  $\sigma_x$ ,  $\sigma_y$  и  $\tau_{xy}$  через производные от перемещений  $u$ ,  $v$  и, далее, через производные от перемещения  $w$ :

$$\begin{aligned}\sigma_x &= \frac{E}{1-\nu^2} \left( \frac{\partial u}{\partial x} + \nu \frac{\partial v}{\partial y} \right) & \sigma_x &= -\frac{Ez}{1-\nu^2} \left( \frac{\partial^2 w}{\partial x^2} + \nu \frac{\partial^2 w}{\partial y^2} \right), \\ \sigma_y &= \frac{E}{1-\nu^2} \left( \frac{\partial v}{\partial y} + \nu \frac{\partial u}{\partial x} \right) & \sigma_y &= -\frac{Ez}{1-\nu^2} \left( \frac{\partial^2 w}{\partial y^2} + \nu \frac{\partial^2 w}{\partial x^2} \right), \\ \tau_{xy} &= \frac{E}{2(1+\nu)} \left( \frac{\partial v}{\partial x} + \frac{\partial u}{\partial y} \right) & \tau_{xy} &= -\frac{Ez}{(1+\nu)} \frac{\partial^2 w}{\partial x \partial y}.\end{aligned}$$

Дальнейший путь решения поставленной задачи очевиден: необходимо представить моменты  $M_x$ ,  $M_y$  и  $M_{xy}$  через напряжения  $\sigma_x$ ,  $\sigma_y$  и  $\tau_{xy}$  и, используя соотношение (2.2), получить разрешающее уравнение относительно перемещения  $w$  (уравнение прогибов).

Поскольку в теории пластин и оболочек принято оперировать силами и моментами, отнесенными к единице длины сечения, зависимости, связывающие моменты и напряжения, имеют вид:

$$M_x = \int_{-h/2}^{h/2} \sigma_x z dz, \quad M_y = \int_{-h/2}^{h/2} \sigma_y z dz, \quad M_{xy} = - \int_{-h/2}^{h/2} \tau_{xy} z dz.$$

После подстановки значений напряжений и интегрирования представленных соотношений, получим:

$$M_x = -D \left( \frac{\partial^2 w}{\partial x^2} + \nu \frac{\partial^2 w}{\partial y^2} \right),$$

$$M_y = -D \left( \frac{\partial^2 w}{\partial y^2} + \nu \frac{\partial^2 w}{\partial x^2} \right),$$

$$M_{xy} = -D(1-\nu) \frac{\partial^2 w}{\partial x \partial y},$$

где  $D = Eh^3 / 12(1-\nu^2)$  – цилиндрическая жесткость пластины.

Соответственно, уравнение прогибов (уравнение Софи Жермен, 1815 г.) будет иметь вид:

$$\begin{aligned} \frac{\partial^4 w}{\partial x^4} + 2 \frac{\partial^4 w}{\partial x^2 \partial y^2} + \frac{\partial^4 w}{\partial y^4} &= \frac{p(x, y)}{D} \Rightarrow \\ \Rightarrow \nabla^2 \nabla^2 w &= p(x, y) / D. \end{aligned} \quad (2.3)$$

Таким образом, задача изгиба прямоугольной пластины при приложении к ней поперечной нагрузки сведена к решению неоднородного дифференциального уравнения четвертого порядка в частных производных с постоянными коэффициентами. Постоянные интегрирования должны быть найдены из граничных условий на краях (контуре) пластины.

Отметим, что цилиндрическая жесткость пластины  $D$  имеет тот же смысл, что и жесткость  $EJ$  балки при изгибе. Значения жесткости  $D$  для пластины постоянной толщины  $h$  и жесткости  $EJ$  балки прямоугольного сечения, имеющей эту же высоту, а ширину, равную единице, отличаются лишь на величину  $0 < 1 - \nu^2 < 1$ , причем  $D > EJ$ .

### 2.1.2. Граничные условия при изгибе

Постоянные интегрирования уравнения прогибов (2.3) должны быть найдены из граничных условий на краях (контуре) пластины.

Отметим, что на краю пластины, не считаясь с условиями его закрепления, в каждой точке можем задавать статические граничные условия – моменты и перерезывающие силы (см. рис. 2.2). Соответственно, для различных условий закрепления края пластины можем ставить условия относительно прогиба и углов поворота сечений – геометрические граничные условия. Очевидно, возможны и смешанные граничные условия. В такой ситуации, естественно, возникает вопрос о числе граничных условий, необходимых для обеспечения существования и единственности решения.

Доказано (Кирхгоф, 1850 г.), что для *полного* определения прогиба  $w$ , удовлетворяющего уравнению (2.3), достаточно *двух* граничных условий на каждой из граней прямоугольной пластины (общее число граничных условий определяется порядком дифференциального уравнения).

**Край пластины жестко закреплен.** Для определенности будем считать, что жестко закреплен край  $y = 0$  (см. рис. 2.1). В этом случае прогиб  $w$  и угол поворота  $\partial w / \partial y$  в точках края должны быть равны нулю:

$$w|_{y=0} = 0, \quad \frac{\partial w}{\partial y} \Big|_{y=0} = 0.$$

**Край пластины шарнирно оперт на жесткую опору.** Шарнирно опертый край пластины не смещается в вертикальной плоскости, но может свободно поворачиваться. Для определенности будем считать, что шарнирно оперт край  $x = a$  (см. рис. 2.1). В этом случае прогиб  $w$  и изгибающий момент  $M_x$  вдоль края должны равняться нулю:

$$w|_{x=a} = 0, \quad M_x|_{x=a} = 0 \quad \Rightarrow \quad \frac{\partial^2 w}{\partial x^2} + \nu \frac{\partial^2 w}{\partial y^2} \Big|_{x=a} = 0.$$

Но условие  $w = 0$  вдоль края  $x = a$  означает, что одновременно имеем:

$$\partial w / \partial y \Big|_{x=a} = \partial^2 w / \partial y^2 \Big|_{x=a} = 0 .$$

Таким образом, для шарнирно опертого края пластины  $x = a$  граничные условия имеют вид:

$$w \Big|_{x=a} = 0 , \quad \partial^2 w / \partial x^2 \Big|_{x=a} = 0 .$$

**Свободный край.** Если край пластины свободен, то естественно считать, что по этому краю нет ни моментов, ни перерезывающих сил. Полагая для определенности, что свободным является край  $x = a$  (см. рис. 2.1), можем записать:

$$M_x \Big|_{x=a} = 0 , \quad M_{xy} \Big|_{x=a} = 0 , \quad Q_x \Big|_{x=a} = 0 .$$

Из физических соображений ни одним из этих трех граничных условий пренебречь нельзя, однако возникшая трудность может быть устранена объединением двух условий относительно момента  $M_{xy}$  и перерезывающей силы  $Q_x$  в одно.

Действительно, скручивающий момент  $M_{xy} dy$ , действующий на элементе длины  $dy$  края пластины  $x = a$ , на основании принципа Сен-Венана можно представить в виде двух статически эквивалентных сил  $M_{xy}$ , действующих на расстоянии  $d$  друг от друга (рис. 2.3). Для следующего элемента длины  $dy$  скручивающий момент имеет

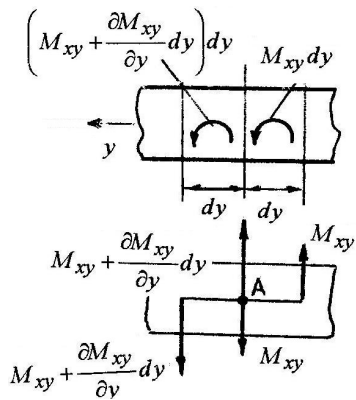


Рис. 2.3

величину  $\left( M_{xy} + \frac{\partial M_{xy}}{\partial y} dy \right) dy$ . Этот момент представляется двумя силами  $M_{xy} + \frac{\partial M_{xy}}{\partial y} dy$  на том же плече  $dy$ . Как результат таких замен моментов на силы, имеем, что в точке  $A$  действует сила  $(\partial M_{xy} / \partial y) dy$ , направленная вверх. Соответственно, на единицу длины будет приходиться перерезывающая сила  $\partial M_{xy} / \partial y$ . Таким образом, получили, что распределение скручивающих моментов  $M_{xy}$  статически эквивалентно распределению перерезывающих сил  $Q_x' = -\frac{\partial M_{xy}}{\partial y}$  (принято во внимание правило знаков для перерезывающих сил). Соответственно, объединенное граничное условие будет выглядеть следующим образом:

$$Q_x - \frac{\partial M_{xy}}{\partial y} \Big|_{x=a} = 0 .$$

Переходя в граничных условиях от сил и моментов к прогибу  $w$ , получим:

$$\frac{\partial^2 w}{\partial x^2} + \nu \frac{\partial^2 w}{\partial y^2} \Big|_{x=a} = 0 , \quad \frac{\partial^3 w}{\partial x^3} + (2 - \nu) \frac{\partial^3 w}{\partial x \partial y^2} \Big|_{x=a} = 0 .$$

Отметим, что рассмотренная выше замена распределения скручивающих моментов, действующих на краю изгибаемой пластины, на статически эквивалентное распределение перерезывающих сил оказывает влияние на распределение напряжений в непосредственной близости к краю пластины, но в остальной части пластины распределение напряжений остается без изменений.

Заканчивая рассмотрение граничных условий для свободной грани, отметим, что в процессе преобразования скручивающего

момента  $M_{xy}$  в эквивалентную поперечную нагрузку  $Q_x'$  получим еще две неуравновешенные сосредоточенные силы в концах края. По величине эти силы равны значениям момента  $M_{xy}$  в соответствующих углах пластины и направлены в разные стороны. Если стороны пластины, примыкающие к свободному краю, защемлены или оперты, то учитывать эти силы нет необходимости, так как они будут нейтрализованы реакциями опор. Если же примыкающие стороны тоже свободны, то упомянутые силы должны быть учтены в форме сосредоточенных усилий в углах пластины.

### 2.1.3. Мембранная аналогия при изгибе прямоугольной пластины

Уравнение четвертого порядка  $\nabla^2 \nabla^2 w = p(x, y) / D$ , определяющее прогиб прямоугольной пластины, можно свести к двум уравнениям второго порядка, используя имеющиеся соотношения для изгибающих моментов:

$$M_x = -D \left( \frac{\partial^2 w}{\partial x^2} + \nu \frac{\partial^2 w}{\partial y^2} \right), \quad M_y = -D \left( \frac{\partial^2 w}{\partial y^2} + \nu \frac{\partial^2 w}{\partial x^2} \right).$$

Действительно, суммируя выписанные соотношения и проводя некоторые преобразования, будем иметь:

$$M_x + M_y = -D(1 + \nu) \left( \frac{\partial^2 w}{\partial x^2} + \frac{\partial^2 w}{\partial y^2} \right) \Rightarrow \nabla^2 w = -M / D,$$

где  $M = (M_x + M_y) / (1 + \nu)$  – приведенный изгибающий момент.

Подставляя полученное значение  $\nabla^2 w$  в уравнение прогибов, будем иметь:

$$\nabla^2 M = -p(x, y).$$

Итак, окончательно имеем:

$$\nabla^2 \nabla^2 w = p(x, y) / D \quad \Rightarrow \quad \begin{aligned} \nabla^2 M &= -p(x, y) , \\ \nabla^2 w &= -M / D . \end{aligned}$$

Известно, что прогиб  $z(x, y)$  мембраны (очень тонкой гибкой пластины), закрепленной на контуре, идентичном контуру изгибаемой пластины, и нагруженной нагрузкой  $p(x, y)$ , определяется дифференциальным уравнением:

$$\nabla^2 z = -p(x, y) / T ,$$

где  $T$  – натяжение мембраны (сила, отнесенная к единице длины).

Сравнение двух уравнений, определяющих прогиб прямоугольной пластины, и уравнения прогибов мембраны позволяет сделать следующие выводы:

– если положить  $T = 1$ , то  $z = M$ . Это значит, что при натяжении мембраны, равном единице, и нагрузке  $p(x, y)$  изогнутая поверхность мембраны  $z(x, y)$  определяет эпюру приведенного момента  $M(x, y)$ ;

– если положить  $T = D$ ,  $p = M$ , то  $z = w$ . В этом случае при натяжении мембраны, равном жесткости пластины  $D$ , и нагрузке в форме эпюры  $M$  изогнутая поверхность мембраны  $z(x, y)$  определяет поверхность изогнутой пластины  $w(x, y)$ .

Решения задачи о мембране известны для многих случаев ее нагружения, и ими можно пользоваться при рассмотрении соответствующих задач изгиба пластин.

#### **2.1.4. Потенциальная энергия изогнутой прямоугольной пластины**

Потенциальная энергия, накопленная телом при его упругом деформировании, определяется известным соотношением:

$$U = \frac{1}{2} \iiint_V (\sigma_x \varepsilon_x + \sigma_y \varepsilon_y + \sigma_z \varepsilon_z + \tau_{xy} \gamma_{xy} + \tau_{yz} \gamma_{yz} + \tau_{zx} \gamma_{zx}) dx dy dz .$$

Для тонких пластин в соответствии с принятыми допущениями о характере напряженно-деформированного состояния имеем, что нормальное напряжение  $\sigma_z$  и угловые деформации  $\gamma_{zx}$  и  $\gamma_{zy}$  являются малыми величинами, и ими можно пренебречь по сравнению с другими компонентами напряжений и деформаций. В этом случае имеем:

$$U = \frac{1}{2} \iiint_V (\sigma_x \varepsilon_x + \sigma_y \varepsilon_y + \tau_{xy} \gamma_{xy}) dx dy dz .$$

Исключим из полученного соотношения деформации, используя соответствующие уравнения линейного физического закона. После некоторых преобразований будем иметь:

$$U = \iiint_V \left[ \frac{1}{2E} (\sigma_x^2 - 2\nu \sigma_x \sigma_y + \sigma_y^2) + \frac{1+\nu}{E} \tau_{xy}^2 \right] dx dy dz .$$

Используя теперь представления напряжений через прогиб  $w(x, y)$ , потенциальную энергию деформации изогнутой прямоугольной пластины получим в виде:

$$U = \frac{E}{2(1-\nu^2)} \iiint_V z^2 \left\{ \left( \frac{\partial^2 w}{\partial x^2} + \frac{\partial^2 w}{\partial y^2} \right)^2 - 2(1-\nu) \left[ \frac{\partial^2 w}{\partial x^2} \cdot \frac{\partial^2 w}{\partial y^2} - \left( \frac{\partial^2 w}{\partial x \partial y} \right)^2 \right] \right\} dx dy dz .$$

Интегрирование по переменной  $z$  по толщине пластины (в пределах от  $-h/2$  до  $+h/2$ ) приводит к результату:

$$U = \frac{D}{2} \iint_A \left\{ \left( \frac{\partial^2 w}{\partial x^2} + \frac{\partial^2 w}{\partial y^2} \right)^2 - 2(1-\nu) \left[ \frac{\partial^2 w}{\partial x^2} \cdot \frac{\partial^2 w}{\partial y^2} - \left( \frac{\partial^2 w}{\partial x \partial y} \right)^2 \right] \right\} dx dy ,$$

где  $A$  – площадь пластины.

Полученное соотношение, определяющее потенциальную энергию деформации изогнутой прямоугольной пластины, может быть упрощено для пластин произвольной формы с защемленными краями и для прямоугольных пластин, у которых вдоль кромок прогиб равен нулю. Действительно, интегрируя последнее слагаемое по частям, будем иметь:

$$\begin{aligned} \iint_A \frac{\partial^2 w}{\partial x \partial y} \cdot \frac{\partial^2 w}{\partial x \partial y} dx dy &= \oint_S \frac{\partial^2 w}{\partial x \partial y} \cdot \frac{\partial w}{\partial x} dx - \oint_S \frac{\partial w}{\partial x} \cdot \frac{\partial^2 w}{\partial y^2} dy + \\ &+ \iint_A \frac{\partial^2 w}{\partial x^2} \cdot \frac{\partial^2 w}{\partial y^2} dx dy . \end{aligned}$$

Для пластин, края которых защемлены, вдоль кромок выполняются условия:  $\partial w / \partial x = \partial w / \partial y = 0$  ( $\partial w / \partial n = \partial w / \partial s = 0$ ). Для прямоугольных пластин, у которых вдоль кромок  $w = 0$ , имеем, что  $\partial w / \partial x = \partial^2 w / \partial x^2 = 0$  вдоль кромок  $y = \text{const}$  и  $\partial w / \partial y = \partial^2 w / \partial y^2 = 0$  вдоль кромок  $x = \text{const}$ . Отсюда следует, что контурные интегралы для рассматриваемых случаев обращаются в нуль, и, таким образом, равен нулю интеграл

$$\iint_A \left[ \frac{\partial^2 w}{\partial x^2} \cdot \frac{\partial^2 w}{\partial y^2} - \left( \frac{\partial^2 w}{\partial x \partial y} \right)^2 \right] dx dy = 0 .$$

Соответственно, потенциальная энергия изгиба будет равна:

$$U = \frac{D}{2} \iint_A \left( \frac{\partial^2 w}{\partial x^2} + \frac{\partial^2 w}{\partial y^2} \right)^2 dx dy .$$

Полученные соотношения для потенциальной энергии деформации изогнутой пластины будут использоваться в дальнейшем при решении задач с использованием энергетических методов.

### Задача

2.1.	Изгиб шарнирно опертых прямоугольных пластин.
------	---

Задача изгиба прямоугольной пластины при приложении к ней поперечной нагрузки  $p(x, y)$  сводится к решению неоднородного дифференциального уравнения четвертого порядка относительно прогиба  $w$  :

$$\nabla^2 \nabla^2 w = p(x, y) / D .$$

Постоянные интегрирования должны быть найдены из граничных условий на шарнирно опертых краях пластины:

$$w = 0 , \quad \frac{\partial^2 w}{\partial x^2} = 0 \quad \text{при } x = 0 , \quad x = a .$$

$$w = 0 , \quad \frac{\partial^2 w}{\partial y^2} = 0 \quad \text{при } y = 0 , \quad y = b ,$$

где  $a$  и  $b$  – размеры пластины (см. рис. 2.1).

**Решение в двойных тригонометрических рядах (решение Навье).** Решение уравнения прогибов будем разыскивать в виде двойного тригонометрического ряда:

$$w(x, y) = \sum_{m=1}^{\infty} \sum_{n=1}^{\infty} A_{mn} \sin \frac{m\pi x}{a} \sin \frac{n\pi y}{b} .$$

Подобная форма решения, с одной стороны, позволяет удовлетворить граничные условия на шарнирно опертых краях пластины, а с другой – является наиболее общим, поскольку любая функция двух переменных, удовлетворяющая граничным условиям, представима в виде двойного ряда Фурье.

Представим нагрузку  $p(x, y)$  в виде такого же двойного тригонометрического ряда Фурье, как и для функции прогибов:

$$p(x, y) = \sum_{m=1}^{\infty} \sum_{n=1}^{\infty} a_{mn} \sin \frac{m\pi x}{a} \sin \frac{n\pi y}{b},$$

где произвольный коэффициент разложения  $a_{m'n'}$  определяется известным соотношением:

$$a_{m'n'} = \frac{4}{ab} \int_0^a \int_0^b p(x, y) \sin \frac{m'\pi x}{a} \sin \frac{n'\pi y}{b} dx dy.$$

Очевидно, что дальнейшее решение поставленной задачи будет заключаться в определении коэффициентов  $A_{mn}$  разложения прогиба  $w$  через известные коэффициенты  $a_{mn}$  разложения нагрузки  $p(x, y)$  при удовлетворении дифференциального уравнения прогибов.

Подставим функцию  $w(x, y)$  и нагрузку  $p(x, y)$  в форме двойных рядов Фурье в уравнение прогибов. Будем иметь:

$$\begin{aligned} \sum_{m=1}^{\infty} \sum_{n=1}^{\infty} A_{mn} \left[ \left( \frac{m\pi}{a} \right)^4 + 2 \left( \frac{m\pi}{a} \right)^2 \left( \frac{n\pi}{b} \right)^2 + \left( \frac{n\pi}{b} \right)^4 \right] \sin \frac{m\pi x}{a} \sin \frac{n\pi y}{b} = \\ = \sum_{m=1}^{\infty} \sum_{n=1}^{\infty} \frac{a_{mn}}{D} \sin \frac{m\pi x}{a} \sin \frac{n\pi y}{b}. \end{aligned}$$

Из уравнения следует:

$$A_{mn} \pi^4 \left( \frac{m^2}{a^2} + \frac{n^2}{b^2} \right)^2 = \frac{a_{mn}}{D} \Rightarrow A_{mn} = a_{mn} / \pi^4 D \left( \frac{m^2}{a^2} + \frac{n^2}{b^2} \right)^2.$$

С учетом значений найденных коэффициентов  $A_{mn}$  функция прогибов  $w(x, y)$  будет иметь вид:

$$w(x, y) = \frac{1}{\pi^4 D} \sum_{m=1}^{\infty} \sum_{n=1}^{\infty} \left\{ a_{mn} / \left( \frac{m^2}{a^2} + \frac{n^2}{b^2} \right)^2 \right\} \sin \frac{m\pi x}{a} \sin \frac{n\pi y}{b}.$$

Если поперечная нагрузка равномерно распределена по всей площади пластины ( $p(x, y) \rightarrow p_0$ ), коэффициенты ее разложения в двойной ряд Фурье будут определяться соотношением:

$$a_{m'n'} = \frac{4p_0}{ab} \int_0^a \int_0^b \sin \frac{m'\pi x}{a} \sin \frac{n'\pi y}{b} dx dy \Rightarrow a_{m'n'} = \frac{16p_0}{\pi^2 m'n'} ,$$

где  $m'$  и  $n'$  – нечетные числа.

Функция прогибов  $w(x, y)$  в этом случае будет иметь вид:

$$w(x, y) = \frac{16p_0}{\pi^6 D} \sum_{m=1}^{\infty} \sum_{n=1}^{\infty} \left\{ 1 / mn \left( \frac{m^2}{a^2} + \frac{n^2}{b^2} \right)^2 \right\} \sin \frac{m\pi x}{a} \sin \frac{n\pi y}{b} ,$$

где  $m=1, 3, 5, \dots$ ,  $n=1, 3, 5, \dots$ .

Тот факт, что все члены ряда с четными индексами  $m$  и  $n$  обращаются в нуль, имеет простое физическое объяснение. Действительно, при равномерном нагружении пластины изогнутая поверхность пластины будет симметричной относительно осей  $x=a/2$  и  $y=b/2$ . Слагаемые, определяемые четными значениями  $m$  и  $n$ , являются несимметричными относительно этих осей и, соответственно, должны быть приравнены нулю.

Зная функцию прогибов, по известным формулам можно найти значения моментов или напряжений.

Изложенный метод решения задачи изгиба прямоугольной пластины в двойных тригонометрических рядах Фурье наряду с простотой и наглядностью выкладки обладает существенными недостатками:

- скорость сходимости рядов, входящих в решение, невелика, а в некоторых случаях ряды вообще расходятся;
- распространение метода на другие типы граничных условий весьма затруднительно.

**Решение в одинарных (ординарных) тригонометрических рядах (метод М. Леви).** Метод Леви решения задач изгиба прямоугольных пластин используется для случаев, когда две противоположные стороны пластины шарнирно оперты, а на двух других – граничные условия произвольные. В этом плане метод имеет более общий характер, чем решение Навье.

Будем считать, что шарнирно оперты являются стороны пластины  $x=0$ ,  $x=a$ . Граничные условия на этих сторонах имеют вид:

$$w=0 , \quad \frac{\partial^2 w}{\partial x^2}=0 \quad \text{при } x=0 , \quad x=a .$$

Граничные условия на двух других сторонах пока не формулируем.

Решение уравнения прогибов будем разыскивать в виде ряда:

$$w(x, y) = \sum_{m=1}^{\infty} Y_m(y) \sin \frac{m\pi x}{a} ,$$

где  $Y_m(y)$  – произвольная функция переменной  $y$ . При таком выборе формы решения граничные условия на шарнирно опертых краях пластины удовлетворяются. Отметим, что представление решения уравнения прогибов в подобном виде является проекцией на рассматриваемую задачу более общего метода – метода разделения переменных Фурье.

Нагрузку  $p(x, y)$  представим в виде такого же тригонометрического ряда, как и для функции прогибов:

$$p(x, y) = \sum_{m=1}^{\infty} p_m(y) \sin \frac{m\pi x}{a} ,$$

где  $p_m(y)$  – коэффициенты ряда, зависящие от переменной  $y$ . Определение этих коэффициентов не представляет особого труда:

$$p_m'(y) = \frac{2}{a} \int_0^a p(x, y) \sin \frac{m'\pi x}{a} dx .$$

Подставим функцию  $w(x, y)$  и нагрузку  $p(x, y)$  в форме выбранных одинарных тригонометрических рядов в уравнение прогибов. Будем иметь:

$$\sum_{m=1}^{\infty} \left[ Y_m^{IV} - 2 \left( \frac{m\pi}{a} \right)^2 Y_m'' + \left( \frac{m\pi}{a} \right)^4 Y_m \right] \sin \frac{m\pi x}{a} = \frac{1}{D} \sum_{m=1}^{\infty} p_m(y) \sin \frac{m\pi x}{a} ,$$

откуда следует обыкновенное неоднородное линейное дифференциальное уравнение четвертого порядка для функции  $Y_m(y)$ :

$$Y_m^{IV} - 2 \left( \frac{m\pi}{a} \right)^2 Y_m'' + \left( \frac{m\pi}{a} \right)^4 Y_m = \frac{p_m(y)}{D} .$$

Как известно, решение дифференциального уравнения подобного типа складывается из его частного решения  $\bar{Y}_m(y)$  и общего решения  $Y_m^0(y)$  соответствующего однородного уравнения.

Общее решение однородного уравнения отыскивается по стандартной процедуре и имеет вид:

$$Y_m^0(y) = A_m \operatorname{ch} \frac{m\pi y}{a} + B_m \operatorname{sh} \frac{m\pi y}{a} + C_m y \operatorname{ch} \frac{m\pi y}{a} + D_m y \operatorname{sh} \frac{m\pi y}{a} ,$$

где  $A_m, B_m, C_m, D_m$  – постоянные интегрирования, подлежащие определению из граничных условий на краях пластины  $y = 0, y = b$ .

Частное решение  $\bar{Y}_m(y)$  найти не трудно, если нагрузка  $p(x, y)$  определяется несложной функцией. В частности, если нагрузка равномерно распределена по верхней плоскости пластины, коэффициенты  $p_m$  тригонометрического ряда, представляющего нагрузку  $p_0$ , при четных значениях  $m$  равны нулю, а при нечетных принимают следующие значения:

$$p_m = \frac{4p_0}{m\pi} .$$

В этом случае

$$\bar{Y}_m = \frac{4p_0 a^4}{m^5 \pi^5 D} .$$

При произвольном нагружении пластины построение частного решения неоднородного уравнения  $\bar{Y}_m(y)$  ведется по правилу Коши с применением процедуры Коши, в которой используется частное решение однородного уравнения, удовлетворяющее некоторым начальным условиям.

Для определения постоянных интегрирования  $A_m, B_m, C_m, D_m$  будем считать, что края пластины  $y = 0, y = b$  шарнирно оперты. В этом случае имеем:

$$w = 0 , \quad \frac{\partial^2 w}{\partial y^2} = 0 \quad \text{при } y = 0, y = b .$$

Подставив в граничные условия функцию прогибов  $w(x, y)$  в форме выбранного одинарного тригонометрического ряда, перейдем к граничным условиям для функции  $Y_m(y)$ :

$$Y_m = 0 , \quad \partial^2 Y_m / \partial y^2 = 0 \quad \text{при } y = 0, y = b .$$

Напомним, что разыскиваемая функция  $Y_m(y)$  имеет вид:

$$Y_m(y) = A_m \operatorname{ch} \frac{m\pi y}{a} + B_m \operatorname{sh} \frac{m\pi y}{a} + C_m y \operatorname{ch} \frac{m\pi y}{a} + D_m y \operatorname{sh} \frac{m\pi y}{a} + \bar{Y}_m(y) .$$

Можно видеть, что подстановка функции  $Y_m(y)$  в граничные условия, позволяет получить четыре уравнения относительно определяемых четырех постоянных интегрирования. Обратим внимание, что в правой части уравнений будем иметь значения функции  $\bar{Y}_m(y)$  и ее второй производной  $\bar{Y}_m''(y)$  в точках  $y = 0$  и  $y = b$ . Очевидно, что соответствующий подбор частного решения  $\bar{Y}_m(y)$ , обеспечивающий, например, нулевые значения<sup>1</sup>  $\bar{Y}_m(0) = 0$ ,  $\bar{Y}_m''(0) = 0$ , может существенно упростить отыскание постоянных интегрирования.

Скорость сходимости рядов, используемых в решении Леви, достаточно велика. Если в соотношении для прогиба  $w(x, y)$  ограничиться всего одним слагаемым, то, например, для квадратной пластины, шарнирно опертой по всем сторонам, нагруженной равномерно распределенной нагрузкой, вычисление прогиба в центре пластины дает результат, отличающийся от его точного значения приблизительно на 1%. При решении этой же задачи с использованием метода Навье для обеспечения такой же точности необходимо оставлять четыре-пять слагаемых.

При вычислении моментов сходимости рядов несколько хуже, однако двух-трех слагаемых совершенно достаточно для получения результатов с практически необходимой точностью.

**Решение в одинарных тригонометрических рядах с отделением частного решения (метод Галеркина Б.Г.).** Суть метода Галеркина Б.Г. заключается в представлении прогиба пластины  $w(x, y)$  в виде суммы основного прогиба  $w_{\text{осн}}$  и дополнительного  $w_{\text{доп}}$  ( $w = w_{\text{осн}} + w_{\text{доп}}$ ). С учетом данного предложения уравнение прогибов принимает форму:

$$\nabla^2 \nabla^2 w_{\text{осн}} + \nabla^2 \nabla^2 w_{\text{доп}} = p(x, y) / D .$$

Основной прогиб  $w_{\text{осн}}$  будем рассматривать как частное решение уравнения прогибов пластины, т.е. для его отыскания достаточно удовлетворить уравнение:

$$\nabla^2 \nabla^2 w_{\text{осн}} = p(x, y) / D .$$

---

<sup>1</sup> Отметим, что начальные условия, используемые при построении частного решения неоднородного уравнения  $\bar{Y}_m(y)$  с применением процедуры Коши, имеют подобный вид.

Соответственно, для определения дополнительного прогиба  $w_{\text{доп}}$  остается одно-родное бигармоническое уравнение:

$$\nabla^2 \nabla^2 w_{\text{доп}} = 0 .$$

Будем считать, что две стороны пластины  $x = 0$ ,  $x = a$  являются шарнирно опертыми. Граничные условия на этих сторонах имеют вид:

$$w = 0 , \quad \frac{\partial^2 w}{\partial x^2} = 0 \quad \text{при } x = 0 , \quad x = a .$$

Учитывая прямое разделение прогиба пластины на основной  $w_{\text{осн}}$  и дополнительный  $w_{\text{доп}}$  прогибы, получаем, что граничные условия для полного прогиба  $w$  переходят в граничные условия для дополнительного прогиба  $w_{\text{доп}}$  :

$$w_{\text{доп}} = 0 , \quad \frac{\partial^2 w_{\text{доп}}}{\partial x^2} = 0 \quad \text{при } x = 0 , \quad x = a .$$

Соответственно, решение однородного бигармонического уравнения относительно дополнительного прогиба  $w_{\text{доп}}$  будем разыскивать в виде ряда:

$$w_{\text{доп}}(x, y) = \sum_{n=1}^{\infty} Y_n(y) \sin \frac{n\pi x}{a} ,$$

где  $Y_n(y)$  – произвольная функция переменной  $y$ . При таком выборе формы решения граничные условия на шарнирно опертых краях пластины удовлетворяются.

Отыскание  $Y_n(y)$  определяется стандартной процедурой и приводит к известному результату:

$$Y_n(y) = A_n \operatorname{ch} \frac{n\pi y}{a} + B_n \operatorname{sh} \frac{n\pi y}{a} + C_n y \operatorname{ch} \frac{n\pi y}{a} + D_n y \operatorname{ch} \frac{n\pi y}{a} ,$$

где  $A_n, B_n, C_n, D_n$  – постоянные интегрирования, подлежащие определению из граничных условий на краях пластины  $y = 0$ ,  $y = b$ .

Таким образом, для дополнительного прогиба  $w_{\text{доп}}$  имеем:

$$w_{\text{доп}}(x, y) = \sum_{n=1}^{\infty} \left( A_n \operatorname{ch} \frac{n\pi y}{a} + B_n \operatorname{sh} \frac{n\pi y}{a} + C_n y \operatorname{ch} \frac{n\pi y}{a} + D_n y \operatorname{ch} \frac{n\pi y}{a} \right) \sin \frac{n\pi x}{a} .$$

Дальнейшее решение задачи ничем не отличается от решения с применением метода Леви.

Сравнивая методы Леви и Галеркина, нужно отметить, что метод Леви требует представить в форме ряда не только прогиб  $w(x, y)$ , но и нагрузку  $p(x, y)$ , но при применении этого метода частное решение разыскивается для обыкновенного дифференциального уравнения, а при применении метода Галеркина – для бигармонического.

## 2.2. Изгиб круглых пластин

### 2.2.1. Уравнение прогибов в полярных координатах. Граничные условия

Решение задачи изгиба прямоугольной пластины при приложении к ней поперечной нагрузки сведено к решению неоднородного дифференциального уравнения четвертого порядка в частных производных с постоянными коэффициентами (уравнения прогибов) относительно функции прогиба  $w(x, y)$ :

$$\nabla^2 \nabla^2 w = p(x, y) / D .$$

При рассмотрении изгиба круглых пластин удобнее пользоваться системой координат  $r, \theta$ . Очевидно, что решение поставленной задачи можно провести, повторив все выкладки, и получить соответствующее уравнение прогибов. Однако в этом нет необходимости, поскольку имеющаяся связь между декартовыми и полярными координатами определяет оператор Лапласа  $\nabla^2$  в полярной системе координат в виде:

$$\nabla^2 = \left( \frac{\partial^2}{\partial r^2} + \frac{1}{r} \frac{\partial}{\partial r} + \frac{1}{r^2} \frac{\partial^2}{\partial \theta^2} \right) .$$

Соответственно, дифференциальное уравнение изогнутой поверхности круглой пластины, находящейся под действием поперечной нагрузки  $p(r, \theta)$ , в полярных координатах будет иметь вид:

$$\left( \frac{\partial^2}{\partial r^2} + \frac{1}{r} \frac{\partial}{\partial r} + \frac{1}{r^2} \frac{\partial^2}{\partial \theta^2} \right) \left( \frac{\partial^2 w}{\partial r^2} + \frac{1}{r} \frac{\partial w}{\partial r} + \frac{1}{r^2} \frac{\partial^2 w}{\partial \theta^2} \right) = \frac{p(r, \theta)}{D} \Rightarrow$$

$$\Rightarrow \nabla^2 \nabla^2 w = p(r, \theta) / D .$$

Чтобы получить в полярной системе координат соотношения, связывающие моменты  $M_r$ ,  $M_\theta$ ,  $M_{r\theta}$  и перерезывающие силы  $Q_r$ ,  $Q_\theta$  с прогибом  $w$ , проще использовать зависимости между декартовыми и полярными координатами, записав производные  $\partial w / \partial x$ ,  $\partial w / \partial y$ ,  $\partial^2 w / \partial x^2$ , ... через производные  $\partial w / \partial r$ ,  $\partial w / \partial \theta$ ,  $\partial^2 w / \partial r^2$ , ... В частности, будем иметь:

$$\frac{\partial w}{\partial x} = \frac{\partial w}{\partial r} \cos \theta - \frac{1}{r} \frac{\partial w}{\partial \theta} \sin \theta ,$$

$$\frac{\partial w}{\partial y} = \frac{\partial w}{\partial r} \sin \theta + \frac{1}{r} \frac{\partial w}{\partial \theta} \cos \theta ,$$

...

Совместим ось  $x$  с радиусом  $r$ . В этом случае моменты  $M_r$ ,  $M_\theta$ ,  $M_{r\theta}$  и перерезывающие силы  $Q_r$ ,  $Q_\theta$  имеют те же значения, что и моменты  $M_x$ ,  $M_y$  и  $M_{xy}$ , и перерезывающие силы  $Q_x$  и  $Q_y$  в той же точке при  $\theta = 0$ . Не останавливаясь на промежуточных преобразованиях, выпишем необходимые соотношения:

$$M_r = -D \left[ \frac{\partial^2 w}{\partial r^2} + \nu \left( \frac{1}{r} \frac{\partial w}{\partial r} + \frac{1}{r^2} \frac{\partial^2 w}{\partial \theta^2} \right) \right] ,$$

$$\begin{aligned}
 M_{\theta} &= -D \left( \frac{1}{r} \frac{\partial w}{\partial r} + \frac{1}{r^2} \frac{\partial^2 w}{\partial \theta^2} + \nu \frac{\partial^2 w}{\partial r^2} \right), \\
 M_{r\theta} &= (1-\nu) D \left( \frac{1}{r} \frac{\partial^2 w}{\partial r \partial \theta} - \frac{1}{r^2} \frac{\partial w}{\partial \theta} \right), \\
 Q_r &= -D \frac{\partial}{\partial r} \left( \frac{\partial^2 w}{\partial r^2} + \frac{1}{r} \frac{\partial w}{\partial r} + \frac{1}{r^2} \frac{\partial^2 w}{\partial \theta^2} \right), \\
 Q_{\theta} &= -D \frac{1}{r} \frac{\partial}{\partial \theta} \left( \frac{\partial^2 w}{\partial r^2} + \frac{1}{r} \frac{\partial w}{\partial r} + \frac{1}{r^2} \frac{\partial^2 w}{\partial \theta^2} \right).
 \end{aligned}$$

Решение задачи изгиба круглой пластины при произвольном нагружении обычно строится при представлении прогиба  $w(r, \theta)$  и нагрузки  $p(r, \theta)$  в рядах Фурье.

Постоянные интегрирования уравнения прогибов должны быть найдены из граничных условий на краях (контуре) пластины.

**Край пластины жестко закреплен.** В этом случае прогиб  $w$  и угол поворота  $\partial w / \partial r$  в точках края при  $r = a$  ( $a$  – радиус сплошной пластины) должны быть равны нулю:

$$w \Big|_{r=a} = 0, \quad \frac{\partial w}{\partial r} \Big|_{r=a} = 0.$$

**Край пластины шарнирно оперт на жесткую опору.** Шарнирно опертый край пластины не смещается в вертикальной плоскости, но может свободно поворачиваться. В этом случае прогиб  $w$  и изгибающий момент  $M_r$  вдоль края  $r = a$  должны равняться нулю:

$$w \Big|_{r=a} = 0, \quad M_r \Big|_{r=a} = 0 \Rightarrow \left. \frac{\partial^2 w}{\partial r^2} + \nu \left( \frac{1}{r} \frac{\partial w}{\partial r} + \frac{1}{r^2} \frac{\partial^2 w}{\partial \theta^2} \right) \right|_{r=a} = 0.$$

Но условие  $w = 0$  вдоль края  $r = a$  (при произвольном значении  $\theta$ ) означает, что одновременно имеем:

$$\left. \frac{\partial w}{\partial \theta} \right|_{r=a} = \left. \frac{\partial^2 w}{\partial \theta^2} \right|_{r=a} = 0 .$$

Таким образом, для шарнирно опертого края пластины  $r = a$  граничные условия имеют вид:

$$w|_{r=a} = 0 , \quad \left. \frac{\partial^2 w}{\partial r^2} + \nu \frac{1}{r} \frac{\partial w}{\partial r} \right|_{r=a} = 0 .$$

**Свободный край.** Если край пластины  $r = a$  свободен, то естественно считать, что на этом краю нет моментов  $M_r$ ,  $M_{r\theta}$  и перерезывающей силы  $Q_r$ . Учитывая возможность объединения граничных условий относительно  $M_{r\theta}$  и  $Q_r$  в одно (см. раздел 2.1.2), будем иметь:

$$M_r|_{r=a} = 0 , \quad \left. Q_r - \frac{1}{r} \frac{\partial M_{r\theta}}{\partial \theta} \right|_{r=a} = 0 .$$

Граничные условия для кольцевой пластины на внутреннем радиусе  $b$  записываются в аналогичной форме.

Отметим, что в случае кольцевой пластины для определения четырех постоянных интегрирования всегда есть четыре независимых граничных условия. Для сплошной пластины, у которой нет центрального выреза, граничных условий только два, и необходимо формировать дополнительно два условия из физических соображений.

### 2.2.2. Симметрично нагруженные круглые пластины

Если поперечная нагрузка, приложенная к круглой пластине, симметрична относительно оси, перпендикулярной к плоскости пластины и проходящей через ее центр, то и изогнутая поверхность пластины будет осесимметричной. В этом случае прогиб  $w$  будет функцией только переменной  $r$ , и уравнение прогибов примет вид:

$$\left( \frac{d^2}{dr^2} + \frac{1}{r} \frac{d}{dr} \right) \left( \frac{d^2 w}{dr^2} + \frac{1}{r} \frac{dw}{dr} \right) = \frac{p(r)}{D}$$

или

$$\frac{1}{r} \frac{d}{dr} \left\{ r \frac{d}{dr} \left[ \frac{1}{r} \frac{d}{dr} \left( r \frac{dw}{dr} \right) \right] \right\} = \frac{p(r)}{D},$$

где использована возможность записи оператора Лапласа в более компактном виде:

$$\nabla^2 = \frac{d^2}{dr^2} + \frac{1}{r} \frac{d}{dr} = \frac{1}{r} \frac{d}{dr} \left( r \frac{d}{dr} \right).$$

Последний вариант записи уравнения прогибов при осесимметричном изгибе круглой пластины предпочтителен, поскольку допускает прямое интегрирование уравнения.

Рассмотрим частный случай нагружения круглой сплошной пластины радиуса  $a$  равномерно распределенным давлением  $p_0$ . В этом случае уравнение прогибов принимает форму:

$$\frac{d}{dr} \left\{ r \frac{d}{dr} \left[ \frac{1}{r} \frac{d}{dr} \left( r \frac{dw}{dr} \right) \right] \right\} = \frac{p_0 r}{D}.$$

Проведя последовательное интегрирование уравнения, будем иметь:

$$w = \frac{p_0 r^4}{64D} + \frac{C_1 r^2}{4} (\ln r - 1) + \frac{C_2 r^2}{4} + C_3 \ln r + C_4 ,$$

где  $C_1, C_2, C_3, C_4$  – постоянные интегрирования, подлежащие определению.

### Задачи

2.2.	Изгиб круглой сплошной пластины радиуса $a$ , жестко защемленной по краю и нагруженной равномерно распределенным давлением $p_0$ .
------	--

Поставленная задача является осесимметричной, и в этом случае можно использовать имеющееся общее решение уравнения прогибов:

$$w = \frac{p_0 r^4}{64D} + \frac{C_1 r^2}{4} (\ln r - 1) + \frac{C_2 r^2}{4} + C_3 \ln r + C_4 .$$

Таким образом, задача сводится к отысканию четырех постоянных интегрирования  $C_1, C_2, C_3, C_4$ .

Для жестко защемленного края пластины имеем следующие два граничных условия:

$$w|_{r=a} = 0 , \quad \frac{\partial w}{\partial r} \Big|_{r=a} = 0 .$$

Одно дополнительное условие для определения постоянных интегрирования очевидно: прогиб  $w$  должен принимать конечное значение в центре пластины при  $r = 0$ . Реализация этого условия дает  $C_3 = 0$ .

Для выявления второго дополнительного условия рассмотрим соотношение, определяющее перерезывающую силу  $Q_r$ :

$$Q_r = -D \frac{d}{dr} \left( \frac{d^2 w}{dr^2} + \frac{1}{r} \frac{dw}{dr} \right) \Rightarrow \frac{d}{dr} \left[ \frac{1}{r} \frac{d}{dr} \left( r \frac{dw}{dr} \right) \right] = -\frac{Q_r}{D} .$$

Сопоставляя полученное соотношение с первым этапом интегрирования уравнения прогибов

$$\frac{d}{dr} \left[ \frac{1}{r} \frac{d}{dr} \left( r \frac{dw}{dr} \right) \right] = \frac{p_0 r}{2D} + \frac{C_1}{r} ,$$

будем иметь:

$$-\frac{Q_r}{D} = \frac{p_0 r}{2D} + \frac{C_1}{r} .$$

Поскольку перерезывающая сила  $Q_r$  должна иметь конечное значение в центре пластины при  $r = 0$  , принимаем  $C_1 = 0$  .

Оставшиеся две постоянные  $C_2$  и  $C_4$  определим из граничных условий при  $r = a$  , которые с учетом соотношения для прогиба  $w$  принимают вид:

$$\begin{aligned} \frac{p_0 a^4}{64D} + \frac{C_2 a^2}{4} + C_4 &= 0 , \\ \frac{p_0 a^3}{16D} + \frac{C_2 a}{2} &= 0 , \end{aligned}$$

откуда следует

$$C_2 = -\frac{p_0 a^2}{8D} , \quad C_4 = \frac{p_0 a^4}{64D} .$$

Таким образом, прогиб круглой сплошной пластины радиуса  $a$  , жестко защемленной по краю и нагруженной равномерно распределенным давлением  $p_0$  , определяется соотношением:

$$w = \frac{p_0}{64D} (r^2 - a^2)^2 .$$

Наибольший прогиб имеет место в центре пластины:

$$w_{\max} = w|_{r=0} = \frac{p_0 a^4}{64D} .$$

Вычисление изгибающих моментов  $M_r$  ,  $M_\theta$  приводит к следующему результату:

$$M_r = \frac{p_0}{16} \left[ a^2(1+\nu) - r^2(3+\nu) \right] ,$$

$$M_\theta = \frac{p_0}{16} \left[ a^2(1+\nu) - r^2(1+3\nu) \right] .$$

Наибольший изгибающий момент имеет место на кромке пластины при  $r = a$  :  $(M_r)_{\max} = -p_0 a^2 / 8$  . Соответственно, наибольшее напряжение изгиба оказывается равным  $(\sigma_r)_{\max} = 3 p_0 a^2 / 4 h^2$  .

Поскольку соотношение, определяющее перерезывающую силу  $Q_r$  , позволяет уменьшить число постоянных интегрирования, можно использовать его как исходное уравнение для решения задачи изгиба круглой сплошной пластины. Очевидно, для этого нужно связать перерезывающую силу  $Q_r$  с заданной нагрузкой  $p(r)$  , что не представляет особого труда:

$$Q_r \cdot 2\pi r = - \int_0^r p(r) \cdot 2\pi r \cdot dr \quad \Rightarrow \quad Q_r = - \frac{1}{r} \int_0^r p(r) r dr .$$

Теперь для решения задачи осесимметричного изгиба круглой сплошной пластины можно использовать уравнение прогибов в виде:

$$\frac{d}{dr} \left[ \frac{1}{r} \frac{d}{dr} \left( r \frac{dw}{dr} \right) \right] = \frac{1}{Dr} \int_0^r p(r) r dr .$$

Представленное уравнение является дифференциальным уравнением третьего порядка, и его решение будет содержать уже только три постоянных интегрирования.

2.3.	Изгиб кольцевой пластины, шарнирно опертой по внешнему контуру, изгибающими моментами $M_1$ и $M_2$ , равномерно распределенными по внутреннему и внешнему контурам соответственно.
------	---

Для решения поставленной задачи воспользуемся уравнением прогибов в форме дифференциального уравнения третьего порядка, которое при отсутствии поперечной нагрузки принимает вид:

$$\frac{d}{dr} \left[ \frac{1}{r} \frac{d}{dr} \left( r \frac{dw}{dr} \right) \right] = 0 .$$

Последовательное интегрирование уравнения позволяет получить вторую и первую производные функции прогибов (которые понадобятся в дальнейшем) и саму функцию прогибов в виде:

$$\begin{aligned} \frac{d^2 w}{dr^2} &= \frac{C_1}{2} - \frac{C_2}{r^2} , & \frac{dw}{dr} &= C_1 \frac{r}{2} - \frac{C_2}{r} , \\ w &= C_1 \frac{r^2}{4} + C_2 \ln r + C_3 \Rightarrow w = C_1 \frac{r^2}{4} + C_2 \ln \frac{r}{a} + C_3^* . \end{aligned}$$

Принимая, что внутренний радиус пластины равен  $b$ , а внешний –  $a$ , запишем граничные условия, необходимые для определения постоянных интегрирования  $C_1, C_2, C_3^*$ :

$$w|_{r=a} = 0 , \quad M_r|_{r=a} = M_2 , \quad M_r|_{r=b} = M_1 .$$

Соотношение, связывающее изгибающий момент  $M_r$  с прогибом  $w$ , для осесимметричной задачи имеет вид:

$$M_r = -D \left( \frac{d^2 w}{dr^2} + \frac{\nu}{r} \frac{dw}{dr} \right) .$$

Граничные условия для моментов на внутреннем и внешнем радиусах пластины дают два уравнения для двух неизвестных  $C_1, C_2$ :

$$\begin{aligned} \frac{C_1}{2} (1+\nu) - \frac{C_2}{a^2} (1-\nu) &= -\frac{M_2}{D} , \\ \frac{C_1}{2} (1+\nu) - \frac{C_2}{b^2} (1-\nu) &= -\frac{M_1}{D} . \end{aligned}$$

Решение полученных уравнений относительно  $C_1, C_2$  позволяет получить:

$$C_1 = \frac{2(M_1 b^2 - M_2 a^2)}{D(1+\nu)(a^2 - b^2)} , \quad C_2 = \frac{(M_1 - M_2) a^2 b^2}{D(1-\nu)(a^2 - b^2)} .$$

Выполнение оставшегося граничного условия дает возможность определить третью неизвестную  $C_3^*$ :

$$C_3^* = -\frac{C_1 a^2}{4} = -\frac{a^2 (M_1 b^2 - M_2 a^2)}{2D(1+\nu)(a^2 - b^2)} .$$

Окончательно, для прогиба  $w$  имеем:

$$w = -\frac{M_1 b^2 - M_2 a^2}{2D(1+\nu)(a^2 - b^2)} (a^2 - r^2) + \frac{(M_1 - M_2) a^2 b^2}{D(1-\nu)(a^2 - b^2)} \ln \frac{r}{a} .$$

2.4.	Изгиб кольцевой пластины, шарнирно опертой по внешнему контуру, перерезывающими силами $Q_0$ , равномерно распределенными по внутреннему контуру.
------	---

Для решения поставленной задачи воспользуемся уравнением прогибов в форме дифференциального уравнения третьего порядка в форме:

$$\frac{d}{dr} \left[ \frac{1}{r} \frac{d}{dr} \left( r \frac{dw}{dr} \right) \right] = -\frac{Q_r(r)}{D} , \quad Q_r(r) = -\frac{1}{r} \int_0^r p(r) r dr .$$

В рассматриваемом случае распределенная поперечная нагрузка  $p(r)$  отсутствует, однако перерезывающая сила  $Q_r(r)$  в сечениях пластины имеет место. Действительно, перерезывающая сила, приходящаяся на единицу длины окружности радиуса  $r$ , будет равна:

$$Q_r(r) = \frac{P}{2\pi r} = \frac{2\pi b Q_0}{2\pi r} = \frac{b}{r} Q_0 ,$$

где  $P = 2\pi b Q_0$  – вся нагрузка, приложенная к внутреннему контуру.

Интегрируя уравнение прогибов с учетом значения  $Q_r(r)$ , получим:

$$w = \frac{Pr^2}{8\pi D} \left( \ln \frac{r}{a} - 1 \right) - C_1 \frac{r^2}{4} - C_2 \ln \frac{r}{a} + C_3 .$$

Постоянные интегрирования должны быть определены из следующих граничных условий:

$$w|_{r=a} = 0, \quad M_r|_{r=a} = 0, \quad M_r|_{r=b} = 0,$$

где  $a$  и  $b$  – внешний и внутренний радиусы пластины.

Не останавливаясь на промежуточных выкладках, приведем значения постоянных интегрирования:

$$C_1 = \frac{P}{4\pi D} \left( \frac{1-\nu}{1+\nu} - \frac{2b^2}{a^2-b^2} \ln \frac{b}{a} \right),$$

$$C_2 = -\frac{P(1+\nu)}{4\pi D(1-\nu)} \cdot \frac{a^2 b^2}{a^2-b^2} \ln \frac{b}{a},$$

$$C_3 = \frac{Pa^2}{8\pi D} \left( 1 + \frac{1}{2} \cdot \frac{1-\nu}{1+\nu} - \frac{b^2}{a^2-b^2} \ln \frac{b}{a} \right).$$

При найденных значениях постоянных  $C_1, C_2, C_3$  можем найти прогиб в любой точке пластины.

Представляет интерес рассмотрение предельного случая, когда радиус внутреннего круга пластины становится достаточно малым, чтобы считать величину  $b^2 \ln(b/a)$  близкой к нулю, при сохранении значения нагрузки  $P = 2\pi b Q_0$ . Этот случай соответствует задаче изгиба круглой пластины сосредоточенной силой, приложенной в ее центре.

Соответствующее решение будет определяться следующими значениями постоянных интегрирования:

$$C_1 = \frac{1-\nu}{1+\nu} \cdot \frac{P}{4\pi D}, \quad C_2 = 0, \quad C_3 = \frac{Pa^2}{8\pi D} \left( 1 + \frac{1}{2} \cdot \frac{1-\nu}{1+\nu} \right).$$

Таким образом, для прогиба  $w$  будем иметь:

$$w = \frac{P}{8\pi D} \left[ \frac{3+\nu}{2(1+\nu)} (a^2 - r^2) + r^2 \ln \frac{r}{a} \right].$$

Отметим, что представленное решение совпадает с точным решением этой задачи, и это означает, что наличие малого отверстия в центре пластины не оказывает на ее прогиб никакого влияния.

### 3. Вариационные принципы и энергетические методы в теории упругости

#### 3.1. Общие и частные вариационные принципы и теоремы теории упругости

Предметом вариационного исчисления является отыскание *неизвестных функций*  $f_i(x, y, z)$ ,  $i = 1, 2, \dots, n$ , реализующих максимум (минимум) или стационарное значение *функционала* (определенного интеграла), имеющего, например, вид:

$$\begin{aligned} \mathcal{E} = \int_{V_0} F [f_1(x, y, z), f_2(x, y, z), \dots, f_n(x, y, z) ; \\ f'_1(x, y, z), f'_2(x, y, z), \dots, f'_n(x, y, z) ; x, y, z] dV_0 . \end{aligned} \quad (3.1)$$

Напомним, что предметом дифференциального исчисления является отыскание *неизвестных значений независимых переменных*  $x, y, z$ , реализующих максимум (минимум) или стационарное значение заданной *функции*.

Если все функции  $f_i(x, y, z)$ , входящие в функционал, независимы между собой, то вариационная задача называется *свободной*, а функционал – *полным*.

В *несвободной* вариационной задаче между варьируемыми функциями имеются зависимости (*уравнения связи* или *дополнительные условия*), которые должны быть удовлетворены предварительно, до варьирования функционала.

Условия, при которых функционал имеет стационарное значение (максимум, минимум), называются уравнениями Эйлера и естественными (эйлеровыми) граничными условиями. Функционал имеет стационарную точку, если вариация функционала по всем независимым функциям равна нулю, т.е.  $\delta\mathcal{E} = 0$ . Вопрос о наличии локального экстремума (максимума, минимума) решается знаком второй вариации  $\delta^2\mathcal{E}$ .

Вид уравнений Эйлера зависит от формы математической реализации стационарного значения функционала: аналитической,

численной или смешанной. При аналитической форме реализации стационарного значения функционала уравнения Эйлера, как правило, являются дифференциальными уравнениями с естественными граничными условиями.

**Общий вариационный принцип линейной теории упругости.** Напомним, что система уравнений и граничных условий линейной теории упругости имеет вид:

– дифференциальные уравнения равновесия (статические уравнения)

$$\begin{aligned} \frac{\partial \sigma_x}{\partial x} + \frac{\partial \tau_{yx}}{\partial y} + \frac{\partial \tau_{zx}}{\partial z} + X &= 0 \quad , \\ \frac{\partial \tau_{xy}}{\partial x} + \frac{\partial \sigma_y}{\partial y} + \frac{\partial \tau_{zy}}{\partial z} + Y &= 0 \quad , \\ \frac{\partial \tau_{xz}}{\partial x} + \frac{\partial \tau_{yz}}{\partial y} + \frac{\partial \sigma_z}{\partial z} + Z &= 0 \quad ; \end{aligned} \tag{3.2}$$

– зависимости Коши (геометрические уравнения)

$$\begin{aligned} \varepsilon_x &= \frac{\partial u}{\partial x} \quad , \quad \gamma_{xy} = \frac{\partial v}{\partial x} + \frac{\partial u}{\partial y} \quad , \\ \varepsilon_y &= \frac{\partial v}{\partial y} \quad , \quad \gamma_{yz} = \frac{\partial w}{\partial y} + \frac{\partial v}{\partial z} \quad , \\ \varepsilon_z &= \frac{\partial w}{\partial z} \quad , \quad \gamma_{zx} = \frac{\partial u}{\partial z} + \frac{\partial w}{\partial x} \quad ; \end{aligned} \tag{3.3}$$

– обобщенный закон Гука (физические уравнения)

$$\begin{aligned} \sigma_x &= \lambda\theta + 2\mu\varepsilon_x \quad , \quad \tau_{xy} = \mu\gamma_{xy} \quad , \\ \sigma_y &= \lambda\theta + 2\mu\varepsilon_y \quad , \quad \tau_{yz} = \mu\gamma_{yz} \quad , \\ \sigma_z &= \lambda\theta + 2\mu\varepsilon_z \quad , \quad \tau_{zx} = \mu\gamma_{zx} \quad ; \end{aligned} \tag{3.4}$$

– статические граничные условия на части  $\Sigma_1$  поверхности тела

$$\begin{aligned}\bar{X} &= \sigma_x l + \tau_{yx} m + \tau_{zx} n \ , \\ \bar{Y} &= \tau_{xy} l + \sigma_y m + \tau_{zy} n \ , \\ \bar{Z} &= \tau_{xz} l + \tau_{yz} m + \sigma_z n \ ;\end{aligned}\tag{3.5}$$

– геометрические граничные условия на части  $\Sigma_2$  поверхности тела

$$\bar{u} = u \ , \quad \bar{v} = v \ , \quad \bar{w} = w \ .\tag{3.6}$$

Полный функционал линейной теории упругости должен включать все компоненты напряжений, деформаций и перемещений, которые необходимо рассматриваться как независимые функции:

$$\mathfrak{E} = \mathfrak{E}(u, v, w; \sigma_x, \sigma_y, \dots, \tau_{zx}; \varepsilon_x, \varepsilon_y, \dots, \gamma_{zx}) \ .\tag{3.7}$$

Конкретное представление полного функционала линейной теории упругости, учитывающее вышеприведенную систему определяющих уравнений и граничных условий, можно найти в научной литературе.

**Общий вариационный принцип** линейной теории упругости формулируется следующим образом:

*истинные поля напряжений, деформаций и перемещений таковы, что полный функционал имеет стационарное значение.*

**Общая вариационная теорема**

Для вариационного уравнения  $\delta\mathfrak{E} = 0$ , где  $\mathfrak{E}$  – полный функционал линейной теории упругости, уравнениями Эйлера и естественными граничными условиями являются комплект статических, геометрических и физических уравнений теории упругости (3.2) – (3.4) и соответствующие граничные условия (3.5) и (3.6).

Другими словами, общая вариационная теорема утверждает, что полный функционал содержит в необходимой и достаточной мере

всю информацию о теории упругости, так что для решения задач не требуется привлечения каких-либо дополнительных условий (уравнений) кроме тех, что содержатся в полном функционале.

Из полного функционала линейной теории упругости можно получить различные частные функционалы и, тем самым, перейти от свободной вариационной задачи к несвободной с дополнительными условиями. В качестве дополнительных условий принимаются какие-либо соотношения из уравнений Эйлера и естественных граничных условий, реализующих стационарное значение полного функционала. Выполняя дополнительные условия предварительно (до варьирования) и исключая с их помощью зависимую часть функциональных аргументов из полного функционала, получим соответствующий частный функционал.

**Частный вариационный принцип** линейной теории упругости формулируется следующим образом:

*из всех возможных полей напряжений, деформаций и перемещений упругого тела, удовлетворяющих дополнительным условиям, в действительности имеют место лишь те, которые придают частному функционалу стационарное значение.*

#### **Частная вариационная теорема**

Для вариационного уравнения  $\delta\mathcal{E}_k = 0$  ( $k=1, 2, \dots$ ) с некоторыми дополнительными условиями, где  $\mathcal{E}_k$  – частный функционал линейной теории упругости, уравнениями Эйлера являются те уравнения и естественные граничные условия, которые в совокупности с упомянутыми дополнительными условиями составляют полный комплект уравнений и граничных условий теории упругости, т.е. уравнений Эйлера и граничных условий для полного вариационного уравнения.

Из приведенной формулировки следует тождественность постановки задач теории упругости на основе полного и частных вариационных уравнений.

В качестве примеров приведем некоторые частные вариационные принципы.

**Вариационный принцип для перемещений (принцип Лагранжа).** Если в качестве дополнительных условий принять геометри-

ческие (3.3) и физические (3.4) уравнения, а также геометрические граничные условия (3.6) на части поверхности  $\Sigma_2$ , то частный функционал линейной теории упругости будет определяться только перемещениями:  $\mathcal{E} = \mathcal{E}(u, v, w)$ . В этом случае возможными функциями перемещений являются те, которые отвечают указанным дополнительным условиям (уравнениям связи). А из всех возможных перемещений действительными будут те, при которых удовлетворяется вариационное уравнение  $\delta\mathcal{E}(u, v, w) = 0$ .

Уравнениями Эйлера для функционала  $\mathcal{E} = \mathcal{E}(u, v, w)$  являются статические уравнения (3.2) в области, занятой телом, и граничные условия (3.5) на части поверхности  $\Sigma_1$ .

**Вариационный принцип для напряжений (принцип Кастильяно).** Если в качестве дополнительных условий принять статические (3.2) и физические (3.4) уравнения, а также статические граничные условия (3.5) на части поверхности  $\Sigma_1$ , то частный функционал линейной теории упругости будет определяться только напряжениями:  $\mathcal{E} = \mathcal{E}(\sigma_x, \sigma_y, \dots, \tau_{zx})$ . Из всех возможных полей напряжений, удовлетворяющих указанным дополнительным условиям (уравнениям связи), действительными будут те, при которых удовлетворяется вариационное уравнение  $\delta\mathcal{E}(\sigma_x, \sigma_y, \dots, \tau_{zx}) = 0$ .

Уравнениями Эйлера для функционала  $\mathcal{E} = \mathcal{E}(\sigma_x, \sigma_y, \dots, \tau_{zx})$  являются геометрические уравнения в напряжениях и граничные условия (3.6) на части поверхности  $\Sigma_2$ .

**Вариационный принцип Рейсснера.** Если в качестве дополнительных условий принять физические уравнения (3.4), то частный функционал линейной теории упругости будет определяться и напряжениями, и перемещениями:  $\mathcal{E} = \mathcal{E}(u, v, w; \sigma_x, \sigma_y, \dots, \tau_{zx})$  – смешанный функционал.

Вариационное уравнение  $\delta\mathcal{E}(u, v, w; \sigma_x, \sigma_y, \dots, \tau_{zx}) = 0$  эквивалентно системе статических (3.2), геометрических уравнений в напряжениях и граничных условий (3.5) и (3.6) на участках поверхности тела  $\Sigma_1$  и  $\Sigma_2$  соответственно.

С математической точки зрения систему полного и частных функционалов можно рассматривать как выражение общей идеи расчленения сложной системы на элементы: расчленение реализуется в выборе некоторых дополнительных условий и соответствующего частного функционала. Так, например, если в качестве дополнительных условий принять статические, геометрические и физические уравнения (3.2) – (3.4), придем к *функционалу граничных условий*. Каждому из функционалов может быть поставлен в соответствие один или несколько методов подбора аппроксимирующих функций для решения краевых задач теории упругости. Аппроксимирующие функции, как правило, подбираются так, чтобы дополнительные условия удовлетворялись точно, а параметры подбираемых функций определялись из условий реализации стационарного значения соответствующего функционала.

Наиболее используемыми в настоящее время являются методы Рэлея – Ритца, Бубнова – Галеркина, Треффца и численные методы.

### 3.2. Принцип возможных работ

В разделе 3.1 общие и частные вариационные принципы и теоремы линейной теории упругости рассмотрены с позиций вариационного исчисления. Однако для построения частных функционалов теории упругости и, соответственно, для реализации частных вариационных принципов удобнее (и проще) пользоваться подходом, базирующемся на *принципе возможных работ*, сформулированном И. Бернулли (1717 г.).

Рассмотрим материальную точку, на которую действует сила  $P$ . Предположим, что точка получает *возможное перемещение*  $\delta r$  в направлении  $r$ , составляющим угол  $\theta$  с направлением силы  $P$ . Работа силы  $P$  на возможном перемещении (возможная работа) будет равна

$$\delta A = P \cdot \delta r \cos \theta = P_r \delta r \quad ,$$

где  $P_r$  – проекция силы на направление  $r$ .

Если материальная точка находится в равновесии под действием сил  $P_i$  ( $i = 1, 2, \dots, n$ ), общая (полная) возможная работа будет определяться соотношением:

$$\delta A = \sum_{i=1}^n P_{ir} \delta r = \delta r \sum_{i=1}^n P_{ir} \quad ,$$

но, поскольку для равновесной системы сил  $\sum_{i=1}^n P_{ir} = 0$ , имеем, что

$\delta A = 0$ . Соответственно, принцип возможных работ формулируется следующим образом:

*если материальная точка находится в равновесии, то полная возможная работа приложенных сил на любом возможном перемещении точки равна нулю.*

Принцип возможных работ можно распространить на упругое тело, рассматривая его как систему материальных точек, на каждую из которых действует система уравновешенных сил. Особенность рассмотрения точки в упругом теле (по сравнению со свободной точкой) заключается в том, что, придавая ей возможное перемещение, необходимо соблюдать условие сплошности материала и граничные условия, если перемещения на поверхности (или ее части) имеют заданные значения. Отметим, что для выполнения условия сплошности материала достаточно представлять возможные перемещения непрерывными функциями координат точки.

### **3.3. Принцип минимума потенциальной энергии (принцип Лагранжа)**

Вариационный принцип Лагранжа (см. раздел 3.1) утверждает, что из всех возможных перемещений действительными будут те, которые отвечают вариационному уравнению  $\delta \mathcal{E}(u, v, w) = 0$ .

Реализуем принцип возможных работ для упругого тела при получении точками тела возможных перемещений  $\delta u$ ,  $\delta v$ ,  $\delta w$ . Полная возможная работа будет складываться из возможных работ внутренних сил (напряжений), объемных сил  $X$ ,  $Y$ ,  $Z$  и поверхностных сил  $\bar{X}$ ,  $\bar{Y}$ ,  $\bar{Z}$ , заданных на части поверхности  $\Sigma_1$  (на части поверхности  $\Sigma_2$  заданы перемещения).

Гипотеза о потенциале упругих сил позволяет определить работу внутренних сил на возможных перемещениях соотношением  $(-\delta U)$ , где  $U$  – потенциальная энергия деформации упругого тела, а  $\delta U = \iiint_V (\sigma_x \delta \epsilon_x + \sigma_y \delta \epsilon_y + \dots + \tau_{zx} \delta \gamma_{zx}) dV$  – вариация (изменение)

потенциальной энергии деформации при получении телом возможных перемещений.

С учетом представленного соотношения принцип возможных работ принимает вид:

$$\iint_{\Sigma_1} (\bar{X} \delta u + \bar{Y} \delta v + \bar{Z} \delta w) d\Sigma + \iiint_V (X \delta u + Y \delta v + Z \delta w) dV - \delta U = 0 .$$

Поскольку при получении телом возможных перемещений внешние силы остаются постоянными, оператор варьирования  $\delta$  можно вынести из-под знаков интегралов и представить полученное уравнение в виде:

$$\delta(U - W) = 0 \Rightarrow \delta\Pi = 0 , \quad (3.8)$$

где  $W = \iint_{\Sigma_1} (\bar{X} u + \bar{Y} v + \bar{Z} w) d\Sigma + \iiint_V (X u + Y v + Z w) dV$ ;  $\Pi = U - W$  –

*полная потенциальная энергия системы, состоящая из потенциальной энергии деформации  $U$  упругого тела и потенциала внешних сил  $(-W)$ , действующих на тело.*

Уравнение (3.8) позволяет сформулировать вариационный принцип для перемещений (принцип Лагранжа) в форме:

*из всех возможных перемещений, допускаемых связями, в упругом теле в действительности реализуются такие перемещения, при которых полная потенциальная энергия принимает стационарное значение.*

Вопрос о наличии локального экстремума (максимума, минимума) решается знаком второй вариации  $\delta^2\Pi$ . Однако в рассматриваемом случае, когда под действием системы сил упругое тело находится в равновесии, знаком второй вариации  $\delta^2\Pi$ , по сути,

решается вопрос об устойчивом или неустойчивом равновесии. Данное обстоятельство позволяет воспользоваться известным критерием Лежен – Дирихле, который утверждает, что полная потенциальная энергия имеет минимальное значение, если равновесие устойчивое.

Окончательная формулировка вариационного принципа Лагранжа имеет вид:

*из всех возможных перемещений, допускаемых связями, в упругом теле в действительности реализуются такие перемещения, при которых полная потенциальная энергия принимает минимальное значение.*

Отметим, что принятая формулировка принципа Лагранжа исключает рассмотрение задач о потере устойчивости упругого равновесия, однако, напомним, что эти задачи уже исключены введением в линейной теории упругости принципа независимости действия сил.

С позиций вариационного исчисления имеем, что для функционала  $\Pi = U - W$  уравнения Эйлера являются дифференциальные уравнения равновесия в области, занятой телом, и граничные условия на части поверхности  $\Sigma_1$ .

### **3.4. Принцип минимума дополнительной работы (принцип Кастильяно)**

Реализуем принцип возможных работ для упругого тела при варьировании внутренних и внешних сил.

Полная возможная работа здесь будет складываться из двух слагаемых: из возможных работ варьируемых поверхностных сил  $\bar{X}$ ,  $\bar{Y}$ ,  $\bar{Z}$  (только на части поверхности  $\Sigma_2$ , где заданы перемещения) и внутренних сил (напряжений) на действительных перемещениях. Объемные силы  $X$ ,  $Y$ ,  $Z$  являются внешними силами, заданными по всему объему тела, и поэтому не могут варьироваться. Будем иметь:

$$\iint_{\Sigma_2} (\delta \bar{X} u + \delta \bar{Y} v + \delta \bar{Z} w) d\Sigma - \delta U = 0 ,$$

где  $\delta U = \iiint_V (\delta\sigma_x \varepsilon_x + \delta\sigma_y \varepsilon_y + \dots + \delta\tau_{zx} \gamma_{zx}) dV$  – вариация (изменение) потенциальной энергии деформации, отвечающая вариациям напряжений. Поскольку для части поверхности  $\Sigma_2$  перемещения не варьируются, оператор  $\delta$  можно вынести за знак интеграла. Получим:

$$\delta(U - W^*) = 0 \Rightarrow \delta\Pi^* = 0, \quad (3.9)$$

где  $W^* = \iint_{\Sigma_2} (\bar{X}u + \bar{Y}v + \bar{Z}w) d\Sigma$ ;  $\Pi^* = U - W^*$  – дополнительная

*энергия системы.*

Уравнение (3.9) определяет стационарное значение дополнительной энергии. Так же, как и для полной потенциальной энергии системы, вторая вариация дополнительной энергии положительна ( $\delta^2\Pi^* > 0$ ), что позволяет сформулировать вариационный принцип в напряжениях (принцип Кастильяно) в форме:

*из всех статически возможных полей напряжений в упругом теле в действительности реализуется такое поле напряжений, при котором дополнительная энергия принимает минимальное значение.*

С позиций вариационного исчисления имеем, что для функционала  $\Pi^* = U - W^*$  уравнения Эйлера являются условия совместности деформаций, представленные в напряжениях, и граничные условия на части поверхности  $\Sigma_2$ .

### 3.5. Энергетические методы решения задач теории упругости

Решение задач теории упругости с использованием методов, построенных на классическом подходе с интегрированием основных уравнений совместно с граничными условиями, часто связано со значительными математическими трудностями. Вариационные принципы представляют практический интерес в том смысле, что

позволяют подойти к решению граничных задач с другой точки зрения и построить методы, позволяющие находить решения во многих случаях, когда традиционный подход оказывается неэффективным.

### 3.5.1. Метод Рэлея – Ритца

Метод Рэлея – Ритца может быть построен как на использовании вариационного принципа Лагранжа, так и вариационного принципа Кастильяно. Построение метода покажем на примере принципа Лагранжа.

С применением принципа Лагранжа (принципа возможных перемещений) задача обычно решается в перемещениях.

Перемещения  $u$ ,  $v$ ,  $w$  задаются в форме рядов, содержащих специально подбираемые аппроксимирующие функции, удовлетворяющие граничным условиям, и неизвестные параметры:

$$\begin{aligned} u &= \sum_{m=1}^{\infty} a_m f_m(x, y, z) , \\ v &= \sum_{m=1}^{\infty} b_m \varphi_m(x, y, z) , \\ w &= \sum_{m=1}^{\infty} c_m \psi_m(x, y, z) . \end{aligned} \tag{3.10}$$

Здесь  $f_m(x, y, z)$ ,  $\varphi_m(x, y, z)$ ,  $\psi_m(x, y, z)$  – линейно независимые аппроксимирующие функции;  $a_m$ ,  $b_m$ ,  $c_m$  – постоянные коэффициенты (параметры), подлежащие определению.

Далее, с использованием перемещений, заданных в виде рядов (3.10), преобразуется соотношение для полной потенциальной энергии  $\Pi$ , с представлением энергии как функции параметров  $a_m$ ,  $b_m$ ,  $c_m$ .

Поскольку в состоянии равновесия полная потенциальная энергия  $\Pi$  должна иметь минимальное значение, для определения параметров  $a_m$ ,  $b_m$ ,  $c_m$  используются условия ее минимизации:

$$\frac{\partial \Pi}{\partial a_m} = 0, \quad \frac{\partial \Pi}{\partial b_m} = 0, \quad \frac{\partial \Pi}{\partial c_m} = 0.$$

Отметим, что точность решения задачи, полученного подобным образом, определяется, с одной стороны, удачным (или неудачным) выбором аппроксимирующих функций  $f_m(x, y, z)$ ,  $\varphi_m(x, y, z)$ ,  $\psi_m(x, y, z)$ , удовлетворяющих граничным условиям, а с другой – числом удерживаемых членов рядов.

### Задачи

3.1.	Кручение стержня прямоугольного поперечного сечения сторонами $2a$ и $2b$ ( $x = \pm a$ , $y = \pm b$ – начало координат расположено в центре поперечного сечения).
------	---

Для решения задачи воспользуемся принципом минимума дополнительной работы (принципом Кастильяно)  $\delta \Pi^* = 0$ , где  $\Pi^* = U - W^*$  – дополнительная энергия системы;  $U$  – потенциальная энергия деформации;  $W^*$  – работа поверхностных сил.

Напомним основные соотношения, определяющие напряженное состояние при кручении:

$$\sigma_x = \sigma_y = \sigma_z = \tau_{xy} = 0; \quad \tau_{zx} = \mu \tau \frac{\partial \Phi}{\partial y}, \quad \tau_{zy} = -\mu \tau \frac{\partial \Phi}{\partial x}, \quad (3.11)$$

где  $\mu = G = E / 2(1 + \nu)$  – упругая постоянная;  $\tau$  – степень закручивания (угол закручивания на единицу длины);  $\Phi(x, y)$  – функция напряжений (функция Прандтля).

Общая формула для упругой потенциальной энергии деформации, представленной через напряжения и отнесенной к единице объема, имеет вид:

$$\tilde{U} = \frac{1}{2E} \left[ \sigma_x^2 + \sigma_y^2 + \sigma_z^2 - 2\nu(\sigma_x \sigma_y + \sigma_y \sigma_z + \sigma_z \sigma_x) + 2(1 + \nu)(\tau_{xy}^2 + \tau_{yz}^2 + \tau_{zx}^2) \right].$$

Принимая длину бруса равной  $L$  и учитывая значения напряжений (3.11), для потенциальной энергии деформации бруса получим:

$$U = \frac{\mu\tau^2 L}{2} \iint_{\Omega} \left[ \left( \frac{\partial\Phi}{\partial x} \right)^2 + \left( \frac{\partial\Phi}{\partial y} \right)^2 \right] dx dy , \quad (3.12)$$

где  $\Omega$  – площадь поперечного сечения бруса.

На боковой поверхности бруса поверхностные силы заданы (равны нулю), поэтому их работа на этой части поверхности тела равна нулю.

На торцах  $z = 0$  и  $z = L$  работа поверхностных сил будет определяться работой касательных напряжений  $\tau_{zx}$  и  $\tau_{zy}$  на перемещениях  $u$  и  $v$ . Принимая, что нижнее основание  $z = 0$  закреплено ( $u = v = 0$ ) и работа поверхностных сил здесь равна нулю, вычислим работу поверхностных сил на верхнем основании  $z = L$  ( $u = -\tau L y$ ,  $v = \tau L x$ ). Будем иметь:

$$W^* = -\mu\tau^2 L \int_{\Omega} \left( x \frac{\partial\Phi}{\partial x} + y \frac{\partial\Phi}{\partial y} \right) dx dy .$$

Интегрируя полученное соотношение по частям, получим:

$$W^* = 2\mu\tau^2 L \iint_{\Omega} \Phi dx dy - \mu\tau^2 L \int_S \Phi (x dy + y dx) ,$$

где  $S$  – контур, ограничивающий поперечное сечение бруса. Поскольку рассматриваемое сечение является односвязным, на контуре поперечного сечения функцию напряжений можно принять равной нулю. Окончательно, для работы поверхностных сил будем иметь:

$$W^* = 2\mu\tau^2 L \iint_{\Omega} \Phi dx dy . \quad (3.13)$$

С учетом полученных соотношений для потенциальной энергии деформации бруса (3.12) и работы поверхностных сил (3.13) дополнительная энергия системы принимает вид:

$$\Pi^* = U - W^* \Rightarrow \Pi^* = \frac{\mu\tau^2 L}{2} \iint_{\Omega} \left[ \left( \frac{\partial\Phi}{\partial x} \right)^2 + \left( \frac{\partial\Phi}{\partial y} \right)^2 - 4\Phi \right] dx dy . \quad (3.14)$$

При построении (выборе) функции напряжений  $\Phi(x, y)$  необходимо удовлетворить граничные условия (на контуре  $S$  функция  $\Phi$  должна быть равна нулю)

и ввести неизвестные параметры, позволяющие варьировать ее значения. Можно, например, представить функцию  $\Phi(x, y)$  в следующей форме:

$$\Phi(x, y) = (x^2 - a^2)(y^2 - b^2)(c_1 + c_2x^2 + c_3y^2 + c_4x^2y^2 + \dots), \quad (3.15)$$

где  $c_1, c_2, c_3, c_4 \dots$  – параметры, подлежащие определению. Отметим, что в полином включены только слагаемые с четными степенями переменных  $x$  и  $y$ , поскольку функция  $\Phi(x, y)$  должна быть симметричной относительно координатных осей.

В первом приближении в соотношении (3.15) ограничимся только одним слагаемым полинома. Будем иметь:

$$\Phi(x, y) = c_1(x^2 - a^2)(y^2 - b^2). \quad (3.16)$$

Дополнительная энергия системы (3.14) с учетом предложенного соотношения для функции напряжений (3.16) после интегрирования принимает вид:

$$\Pi^* = \frac{\mu\tau^2L}{2} \cdot \frac{64}{45} \left[ 2c_1^2a^3b^3(a^2 + b^2) - 5c_1a^3b^3 \right].$$

Для действительного состояния равновесия дополнительная энергия должна принимать минимальное значение. Реализуя условие минимизации, получим:

$$\frac{d\Pi^*}{dc_1} = 0 \Rightarrow c_1 = \frac{5}{4(a^2 + b^2)}.$$

Таким образом, имеем приближенное соотношение для функции напряжений:

$$\Phi(x, y) = \frac{5}{4(a^2 + b^2)}(x^2 - a^2)(y^2 - b^2).$$

Не останавливаясь на промежуточных выкладках, приведем некоторые конечные результаты, определяющие приближенное решение поставленной задачи:

- крутящий момент –  $M = 32\mu\tau a^3b^3c_1$ ;
- максимальное касательное напряжение, действующее в точке, расположенной посередине длинной стороны ( $b > a$ ) –  $\tau_{\max} = 9M/16a^2b$ ;
- жесткость бруса при кручении –  $D = M/\tau = 32\mu a^3b^3c_1$ .

В случае бруса квадратного поперечного сечения ( $a/b=1$ ) приближенное решение дает значение жесткости при кручении  $D=2,222 \mu a^4$  (точное значение  $\bar{D}=2,25 \mu a^4$ , погрешность составляет  $-1,2\%$ ) и  $\tau_{\max}=0,563 M/a^3$  (точное значение  $\bar{\tau}_{\max}=0,6 M/a^3$ , погрешность составляет  $-6,2\%$ ).

Увеличим теперь число варьируемых параметров до трех: функцию напряжений  $\Phi(x, y)$  возьмем в виде:

$$\Phi(x, y) = (x^2 - a^2)(y^2 - b^2)(c_1 + c_2x^2 + c_3y^2) .$$

Дополнительная энергия системы (3.14) с учетом предложенного соотношения для функции напряжений после интегрирования принимает вид:

$$\begin{aligned} \Pi^* = & \frac{\mu \tau^2 L}{2} \cdot \frac{64}{4725} a^3 b^3 \left[ 210(a^2 + b^2)c_1^2 + a^4(10a^2 + 66b^2)c_2^2 + b^4(66a^2 + 10b^2)c_3^2 + \right. \\ & \left. + a^2(60a^2 + 84b^2)c_1c_2 + b^2(84a^2 + 60b^2)c_1c_3 + 12a^2b^2(a^2 + b^2)c_2c_3 - \right. \\ & \left. - 525c_1 - 105a^2c_1 - 105b^2c_3 \right] . \end{aligned}$$

Для действительного состояния равновесия дополнительная энергия должна принимать минимальное значение. Реализуя условия минимизации

$$\frac{\partial \Pi^*}{\partial c_1} = 0 , \quad \frac{\partial \Pi^*}{\partial c_2} = 0 , \quad \frac{\partial \Pi^*}{\partial c_3} = 0 ,$$

для случая  $a/b=1$  получим:

$$c_1 = \frac{1295}{2216a^2} , \quad c_2 = c_3 = \frac{525}{4432a^2} .$$

Используя новое приближенное соотношение для функции напряжений, приведем некоторые конечные результаты, определяющие решение поставленной задачи:

- жесткость при кручении  $D=2,246 \mu a^4$  (погрешность составляет  $-0,18\%$ );
- $\tau_{\max}=0,626 M/a^3$  (погрешность составляет  $4,3\%$ ).

Для аппроксимации функции напряжений вместо полиномов можно воспользоваться, например, двойным тригонометрическим рядом:

$$\Phi(x, y) = \sum_{m=0}^{\infty} \sum_{n=0}^{\infty} c_{mn} \cdot \cos(2m+1) \frac{\pi x}{2a} \cdot \cos(2n+1) \frac{\pi y}{2b}, \quad (3.17)$$

где  $c_{mn}$  – параметры, подлежащие определению. Отметим, что соотношение (3.17), принятое для функции напряжений, удовлетворяет граничным условиям на контуре поперечного сечения бруса.

Если к рассмотрению принять только один член ряда, дополнительная энергия системы (3.14) после интегрирования принимает вид:

$$\Pi^* = \frac{\mu \tau^2 L}{2} \left[ \pi^2 c_{00}^2 \cdot \frac{a^2 + b^2}{4ab} - 64 c_{00} \cdot \frac{ab}{\pi^2} \right].$$

Реализуя условие минимизации, получим:

$$\frac{d\Pi^*}{dc_{00}} = 0 \Rightarrow c_{00} = \frac{128}{\pi^2} \cdot \frac{a^2 b^2}{a^2 + b^2}.$$

В случае бруса квадратного поперечного сечения ( $a/b = 1$ ) приближенное решение дает значение жесткости при кручении  $D = 2,13 \mu a^4$  (погрешность составляет  $-5,3\%$ ) и  $\tau_{\max} = 0,484 M / a^3$  (погрешность составляет  $-19,3\%$ ).

Из приведенных примеров решения поставленной задачи видно, что при возрастании числа варьируемых параметров точность решения повышается. Однако точность решения зависит и от вида аппроксимирующих функций: взяв небольшое число определяемых параметров в одном случае, можем получить более высокую точность решения, чем с большим числом параметров, в другом. Если точное решение задачи неизвестно, то единственный путь, который позволяет получить ориентировочное представление о точности решения, состоит в последовательном увеличении числа варьируемых параметров и сравнении окончательных результатов. Если результаты быстро сходятся, то аппроксимацию можно считать удачной.

3.2.	Изгиб шарнирно опертой прямоугольной пластины под действием равномерно распределенной поперечной нагрузки $p_0$ .
------	---

Размеры пластины –  $a \times b \times h$  (см. рис. 2.1). Будем считать пластину жесткой и, соответственно, принимаем, что усилия в срединной плоскости равны нулю. В этом случае потенциальная энергия деформации (энергия изгиба пластины) определяется соотношением (см. раздел 2.1.4):

$$U = \frac{D}{2} \iint_A \left\{ \left( \frac{\partial^2 w}{\partial x^2} + \frac{\partial^2 w}{\partial y^2} \right)^2 - 2(1-\nu) \left[ \frac{\partial^2 w}{\partial x^2} \cdot \frac{\partial^2 w}{\partial y^2} - \left( \frac{\partial^2 w}{\partial x \partial y} \right)^2 \right] \right\} dx dy ,$$

где  $w = w(x, y)$  – прогиб пластины;  $D = Eh^3/12(1-\nu^2)$  – ее цилиндрическая жесткость.

Для прямоугольных пластин, у которых вдоль кромок  $w=0$ , имеем, что  $\partial w/\partial x = \partial^2 w/\partial x^2 = 0$  при  $y = \text{const}$  и  $\partial w/\partial y = \partial^2 w/\partial y^2 = 0$  при  $x = \text{const}$ . В этом случае соотношение, определяющее потенциальную энергию деформации, упрощается и принимает вид:

$$U = \frac{D}{2} \iint_A \left( \frac{\partial^2 w}{\partial x^2} + \frac{\partial^2 w}{\partial y^2} \right)^2 dx dy \Rightarrow U = \frac{D}{2} \iint_A \left( \nabla^2 w \right)^2 dx dy . \quad (3.18)$$

Шарнирное опирание краев пластины соответствует условию, приводящему к упрощению записи соотношения для потенциальной энергии деформации, и поэтому в дальнейшем можно использовать формулу (3.18).

Поскольку пластина нагружена равномерно распределенным давлением  $p_0$ , работа внешних сил будет определяться соотношением:

$$W = p_0 \iint_A w dx dy . \quad (3.19)$$

С учетом соотношений (3.18) и (3.19) полная потенциальная энергия системы  $\Pi = U - W$  принимает вид:

$$\Pi = (D/2) \iint_A \left( \nabla^2 w \right)^2 dx dy - p_0 \iint_A w dx dy .$$

Прогиб пластины  $w = w(x, y)$  представим в виде двойного тригонометрического ряда:

$$w(x, y) = \sum_{m=1}^{\infty} \sum_{n=1}^{\infty} A_{mn} \sin \frac{m\pi x}{a} \sin \frac{n\pi y}{b} . \quad (3.20)$$

Подобная форма представления прогиба, с одной стороны, дает возможность удовлетворить граничные условия (и геометрические, и статические) на шарнирно

оперных краях пластины, а с другой – включает параметры  $A_{mn}$ , позволяющие варьирование функции  $w = w(x, y)$ .

Подставляя функцию прогибов (3.20) в соотношения (3.18) и (3.19), после некоторых преобразований получим:

– для потенциальной энергии деформации пластины

$$U = D \frac{\pi^4 ab}{8} \sum_{m=1}^{\infty} \sum_{n=1}^{\infty} A_{mn}^2 \left( \frac{m^2}{a^2} + \frac{n^2}{b^2} \right)^2 ;$$

– для работы внешних сил

$$W = \frac{4p_0 ab}{\pi^2} \sum_{m=1}^{\infty} \sum_{n=1}^{\infty} \frac{A_{mn}}{mn} .$$

Ограничимся в первом приближении только одним членом ряда (3.20), представляя прогиб в виде:

$$w(x, y) = A_{11} \sin \frac{\pi x}{a} \sin \frac{\pi y}{b} .$$

Полная потенциальная энергия системы  $\Pi$  в этом случае принимает вид:

$$\Pi = \frac{\pi^4 D}{8} \cdot A_{11}^2 \frac{a^2 + b^2}{ab} - \frac{4p_0}{\pi^2} \cdot A_{11} ab .$$

Для действительного состояния равновесия полная потенциальная энергия должна принимать минимальное значение. Реализуя условие минимизации, получим:

$$\frac{d\Pi}{dA_{11}} = 0 \Rightarrow A_{11} = \frac{16p_0}{\pi^6 D} \cdot \frac{a^4 b^4}{(a^2 + b^2)^2} .$$

С учетом полученного значения параметра  $A_{11}$  функция прогиба (3.20) принимает вид:

$$w(x, y) = \frac{16p_0}{\pi^6 D} \cdot \frac{a^4 b^4}{(a^2 + b^2)^2} \sin \frac{\pi x}{a} \sin \frac{\pi y}{b} .$$

Максимальный прогиб в центре квадратной пластины ( $a = b$ ), найденный при коэффициенте Пуассона  $\nu = 0,3$ , равен:

$$w_{\max} = 0,0455 p_0 a^4 / E h^3 .$$

Полученное приближенное значение максимального прогиба отличается от точного  $\bar{w}_{\max} = 0,0443 p_0 a^4 / E h^3$  на 2,7% .

Если же определить максимальные изгибающие моменты, действующие также в центре квадратной пластины, то их значения  $(M_x)_{\max} = (M_y)_{\max} = 0,0535 p_0 a^2$  будут отличаться от точного  $(\bar{M})_{\max} = 0,0479 p_0 a^2$  уже на 11,7% . Еще менее точный результат имеет место при вычислении в первом приближении поперечных (перерезывающих) сил. Соответственно, при необходимости вычисления изгибающих моментов и перерезывающих сил следует брать несколько членов ряда, определяющего прогиб пластины.

3.3.	Изгиб шарнирно опертой прямоугольной пластины сосредоточенной силой $P$ , приложенной в точке с координатами $\xi, \eta$ .
------	--

Как и в предыдущей задаче, прогиб пластины  $w = w(x, y)$  представим в виде двойного тригонометрического ряда:

$$w(x, y) = \sum_{m=1}^{\infty} \sum_{n=1}^{\infty} A_{mn} \sin \frac{m\pi x}{a} \sin \frac{n\pi y}{b} .$$

Соответственно, потенциальная энергия деформации (энергия изгиба пластины) будет представляться тем же соотношением:

$$U = D \frac{\pi^4 ab}{8} \sum_{m=1}^{\infty} \sum_{n=1}^{\infty} A_{mn}^2 \left( \frac{m^2}{a^2} + \frac{n^2}{b^2} \right)^2 .$$

Работа внешних сил в поставленной задаче будет определяться работой силы  $P$  на перемещении точки ее приложения:

$$W = P \sum_{m=1}^{\infty} \sum_{n=1}^{\infty} A_{mn} \sin \frac{m\pi \xi}{a} \sin \frac{n\pi \eta}{b} .$$

Реализуя условия минимизации полной потенциальной энергии  $\partial(U - W)/\partial A_{mn} = 0$ , получим систему уравнений типа:

$$P \sin \frac{m\pi\xi}{a} \sin \frac{n\pi\eta}{b} - D \frac{\pi^4 ab}{4} A_{mn} \left( \frac{m^2}{a^2} + \frac{n^2}{b^2} \right)^2 = 0,$$

откуда имеем:

$$A_{mn} = \frac{4Pa^3b^3}{D\pi^4(m^2b^2 + n^2a^2)^2} \sin \frac{m\pi\xi}{a} \sin \frac{n\pi\eta}{b}.$$

Двойной тригонометрический ряд, определяющий прогиб пластины  $w(x, y)$ , сходится достаточно быстро. Если сила  $P$  приложена в центре квадратной пластины, максимальный прогиб будет определяться соотношением:

$$w_{\max} = \frac{4Pa^2}{\pi^4 D} \sum_{m=1}^{\infty} \sum_{n=1}^{\infty} \frac{1}{(m^2 + n^2)^2}.$$

Оставляя только один член ряда, получим, что это приближение отличается от точного значения менее чем на 10%. Если же оставить первые четыре слагаемых ряда, приближение будет отличаться от точного значения менее чем на 3,5%. Однако, как уже отмечалось, о точности решения в целом надо судить не только по величине прогибов, но и по величине сил и моментов.

### 3.5.2. Метод Бубнова – Галеркина

С позиций вариационного исчисления было показано, что для функционала  $\Pi = U - W$  уравнениями Эйлера являются дифференциальные уравнения равновесия в области, занятой телом, и граничные условия на части поверхности  $\Sigma_1$ . Соответственно, принцип Лагранжа может быть представлен не только в форме рассмотренного ранее вариационного уравнения  $\delta\Pi = 0$ , но и в форме следующего уравнения:

$$\begin{aligned}
& \iiint_V \left[ \left( \frac{\partial \sigma_x}{\partial x} + \frac{\partial \tau_{yx}}{\partial y} + \frac{\partial \tau_{zx}}{\partial z} + X \right) \delta u + \left( \frac{\partial \tau_{xy}}{\partial x} + \frac{\partial \sigma_y}{\partial y} + \frac{\partial \tau_{zy}}{\partial z} + Y \right) \delta v + \right. \\
& \left. + \left( \frac{\partial \tau_{xz}}{\partial x} + \frac{\partial \tau_{yz}}{\partial y} + \frac{\partial \sigma_z}{\partial z} + Z \right) \delta w \right] dV + \iint_{\Sigma_1} \left[ \left( \sigma_x l + \tau_{yx} m + \tau_{zx} n - \bar{X} \right) \delta u + \right. \\
& \left. + \left( \tau_{xy} l + \sigma_y m + \tau_{zy} n - \bar{Y} \right) \delta v + \left( \tau_{xz} l + \tau_{yz} m + \sigma_z n - \bar{Z} \right) \delta w \right] d\Sigma = 0 .
\end{aligned}$$

Как и при построении метода Рэлея – Ритца, перемещения  $u$ ,  $v$ ,  $w$  задаются в форме рядов (3.10), содержащих аппроксимирующие функции  $f_m(x, y, z)$ ,  $\varphi_m(x, y, z)$ ,  $\psi_m(x, y, z)$ , удовлетворяющие граничным условиям, и неизвестные параметры  $a_m, b_m, c_m$ , подлежащие определению. В этом случае в вариационном уравнении Лагранжа остается только объемный интеграл

$$\begin{aligned}
& \iiint_V \left[ \left( \frac{\partial \sigma_x}{\partial x} + \frac{\partial \tau_{yx}}{\partial y} + \frac{\partial \tau_{zx}}{\partial z} + X \right) \delta u + \left( \frac{\partial \tau_{xy}}{\partial x} + \frac{\partial \sigma_y}{\partial y} + \frac{\partial \tau_{zy}}{\partial z} + Y \right) \delta v + \right. \\
& \left. + \left( \frac{\partial \tau_{xz}}{\partial x} + \frac{\partial \tau_{yz}}{\partial y} + \frac{\partial \sigma_z}{\partial z} + Z \right) \delta w \right] dV = 0 , \quad (3.21)
\end{aligned}$$

в котором вариации перемещений  $\delta u$ ,  $\delta v$ ,  $\delta w$  будут определяться теми же соотношения (3.10), но с заменой параметров  $a_m, b_m, c_m$  на их вариации  $\delta a_m, \delta b_m, \delta c_m$ .

В силу произвольности возможных перемещений, определяемых вариациями  $\delta a_m, \delta b_m, \delta c_m$ , уравнение (3.21) распадается на совокупность уравнений, общее число которых равно числу коэффициентов  $a_m, b_m, c_m$ . Приведем три уравнения для отыскания одной группы коэффициентов  $a_m, b_m, c_m$ :

$$\begin{aligned} \iiint_V \left( \frac{\partial \sigma_x}{\partial x} + \frac{\partial \tau_{yx}}{\partial y} + \frac{\partial \tau_{zx}}{\partial z} + X \right) f_m(x, y, z) dV &= 0 \quad , \\ \iiint_V \left( \frac{\partial \tau_{xy}}{\partial x} + \frac{\partial \sigma_y}{\partial y} + \frac{\partial \tau_{zy}}{\partial z} + Y \right) \varphi_m(x, y, z) dV &= 0 \quad , \\ \iiint_V \left( \frac{\partial \tau_{xz}}{\partial x} + \frac{\partial \tau_{yz}}{\partial y} + \frac{\partial \sigma_z}{\partial z} + Z \right) \psi_m(x, y, z) dV &= 0 \quad . \end{aligned}$$

В эти соотношения вместо напряжений должны быть подставлены их представления через перемещения, получаемые с использованием зависимостей Коши и уравнения линейного физического закона.

На уравнения, составляемые по методу Бубнова – Галеркина, можно смотреть как на уравнения, вытекающие из условий ортогональности функций<sup>1</sup>.

Метод интегрирования уравнений Бубнова – Галеркина сводится к тому, что в эти уравнения вместо искомым функций подставляются принятые для них соотношения с неопределенными (неизвестными) коэффициентами. После этого каждое уравнение умножают поочередно на каждый член ряда (3.10), полагая в нем значения коэффициентов  $a_m, b_m, c_m$  равными единице, или, что то же самое, умножают на производные рядов (3.10) по переменным  $a_m, b_m, c_m$  и интегрируют полученные соотношения по объему тела.

Отметим, что если метод Рэлея – Ритца построен на использовании того или иного вариационного принципа и не требует знания, например, дифференциальных уравнений равновесия, то метод Бубнова – Галеркина не связан непосредственно с вариационной проблемой, и его можно рассматривать как некоторый приближенный метод интегрирования дифференциальных уравнений вообще (и не только в теории упругости).

---

<sup>1</sup> Две функции  $\psi(x)$  и  $\varphi(x)$  ортогональны на интервале  $[a, b]$ , если

$$\int_a^b \psi(x) \varphi(x) dx = 0 \quad .$$

## Задачи

3.4.	Изгиб шарнирно опертой прямоугольной пластины под действием распределенной поперечной нагрузки $p(x, y)$ .
------	--

Метод Бубнова – Галеркина использует представление принципа Лагранжа в форме уравнения, включающего дифференциальные уравнения равновесия в области, занятой телом, и статические граничные условия на части поверхности, где заданы поверхностные силы.

Напомним, что определяющим уравнением при изгибе жестких пластин является бигармоническое уравнение

$$\frac{\partial^4 w}{\partial x^4} + 2 \frac{\partial^4 w}{\partial x^2 \partial y^2} + \frac{\partial^4 w}{\partial y^4} = \frac{p(x, y)}{D} \Rightarrow \nabla^2 \nabla^2 w = p(x, y) / D .$$

Как и в задачах 3.2 и 3.3, прогиб пластины  $w = w(x, y)$  представим в виде двойного тригонометрического ряда:

$$w(x, y) = \sum_{m=1}^{\infty} \sum_{n=1}^{\infty} A_{mn} \sin \frac{m\pi x}{a} \sin \frac{n\pi y}{b} \Rightarrow w(x, y) = \sum_{m=1}^{\infty} \sum_{n=1}^{\infty} A_{mn} \varphi_{mn}(x, y) ,$$

где  $\varphi_{mn}(x, y) = \sin(m\pi x/a) \sin(n\pi y/b)$ .

Как уже отмечалось, подобное представление прогиба, с одной стороны, дает возможность удовлетворить граничные условия (и геометрические, и статические) на шарнирно опертых краях пластины, а с другой – включает параметры  $A_{mn}$ , позволяющие варьирование функции  $w = w(x, y)$ .

Соответственно, определяющее уравнение метода Бубнова – Галеркина (3.11) для рассматриваемой задачи принимает вид:

$$\iint_A \left[ D \nabla^2 \nabla^2 w - p(x, y) \right] \delta w \, dA = 0 , \quad \delta w = \sum_{m=1}^{\infty} \sum_{n=1}^{\infty} \delta A_{mn} \varphi_{mn} .$$

Оставляя конечное число слагаемых в соотношении для прогиба, получим соответствующее число уравнений для отыскания параметров  $A_{mn}$ :

$$\iint_A \left[ D \nabla^2 \nabla^2 w - p(x, y) \right] \varphi_{mn} \, dA = 0 \quad (m = 1, 2, \dots, k ; n = 1, 2, \dots, k) .$$

Процедуру дальнейшего решения задачи рассмотрим в первом приближении, принимая, что пластина нагружена равномерно распределенным давлением  $p_0$ , и оставляя в соотношении для прогиба пластины только один член ряда:

$$w(x, y) = A_{11} \sin \frac{\pi x}{a} \sin \frac{\pi y}{b} .$$

Соответственно, после преобразований в квадратной скобке подынтегрального выражения, уравнение для определения параметра  $A_{11}$  будет иметь вид:

$$\int_0^a \int_0^b \left[ \pi^4 D A_{11} \left( \frac{1}{a^2} + \frac{1}{b^2} \right)^2 \sin \frac{\pi x}{a} \sin \frac{\pi y}{b} - p_0 \right] \sin \frac{\pi x}{a} \sin \frac{\pi y}{b} dx dy = 0 .$$

После интегрирования получим:

$$\pi^4 D A_{11} \frac{ab}{4} \left( \frac{1}{a^2} + \frac{1}{b^2} \right)^2 - p_0 \frac{4ab}{\pi^2} = 0 \Rightarrow A_{11} = \frac{16p_0}{\pi^6 D} \cdot \frac{a^4 b^4}{(a^2 + b^2)^2} .$$

Отметим, что полученное значение параметра  $A_{11}$  совпадает с его значением, ранее найденным при решении задачи 3.2 методом Рэлея – Ритца.

Рассмотрим решения задачи во втором приближении, принимая, что пластина нагружена равномерно распределенным давлением  $p_0$ , и оставляя в соотношении для прогиба пластины два слагаемых ряда:

$$w(x, y) = A_{11} \sin \frac{\pi x}{a} \sin \frac{\pi y}{b} + A_{13} \sin \frac{\pi x}{a} \sin \frac{3\pi y}{b} .$$

Отметим, что все члены ряда с четными индексами  $m$  и  $n$  обращаются в нуль, поскольку при равномерном нагружении пластины изогнутая поверхность пластины будет симметричной относительно осей  $x = a/2$  и  $y = b/2$ . Слагаемые, определяемые четными значениями  $m$  и  $n$ , являются несимметричными относительно этих осей и, соответственно, должны быть приравнены нулю.

Принимая во внимание, что вариация функции прогибов определяется соотношением

$$\delta w = \delta A_{11} \sin \frac{\pi x}{a} \sin \frac{\pi y}{b} + \delta A_{13} \sin \frac{\pi x}{a} \sin \frac{3\pi y}{b} ,$$

определяющее уравнение метода Бубнова – Галеркина будет иметь вид:

$$\iint_A \left[ D \nabla^2 \nabla^2 w - p_0 \right] \left( \delta A_{11} \sin \frac{\pi x}{a} \sin \frac{\pi y}{b} + \delta A_{13} \sin \frac{\pi x}{a} \sin \frac{3\pi y}{b} \right) dA = 0 \quad . \quad (3.22)$$

В силу независимости вариаций  $\delta A_{11}$  и  $\delta A_{13}$  уравнение (3.21) распадается на два уравнения, позволяющие определить два неизвестных параметра  $A_{11}$  и  $A_{13}$  :

$$\int_0^a \int_0^b \left[ D \nabla^2 \nabla^2 w - p_0 \right] \sin \frac{\pi x}{a} \sin \frac{\pi y}{b} dx dy = 0 \quad ,$$

$$\int_0^a \int_0^b \left[ D \nabla^2 \nabla^2 w - p_0 \right] \sin \frac{\pi x}{a} \sin \frac{3\pi y}{b} dx dy = 0 \quad .$$

Проведем предварительно преобразования соотношения, стоящего в квадратной скобке подынтегрального выражения. Будем иметь:

$$D \nabla^2 \nabla^2 w - p_0 = \pi^4 D \left[ A_{11} \left( \frac{1}{a^2} + \frac{1}{b^2} \right)^2 \sin \frac{\pi x}{a} \sin \frac{\pi y}{b} + \right. \\ \left. + A_{13} \left( \frac{1}{a^2} + \frac{9}{b^2} \right)^2 \sin \frac{\pi x}{a} \sin \frac{3\pi y}{b} - p_0 \right] \quad .$$

Подставляя полученное соотношение в систему уравнений относительно параметров  $A_{11}$  и  $A_{13}$  , после интегрирования получим:

$$A_{11} = \frac{16 p_0}{\pi^6 D} \cdot \frac{a^4 b^4}{(a^2 + b^2)^2} \quad , \quad A_{13} = \frac{16 p_0}{3 \pi^6 D} \cdot \frac{a^4 b^4}{(9a^2 + b^2)^2} \quad .$$

Отметим, что при решении задачи об изгибе шарнирно опертой прямоугольной пластины под действием распределенной поперечной нагрузки методами Рэлея – Ритца и Бубнова – Галеркина прогиб пластины  $w = w(x, y)$  представлялся в виде двойного тригонометрического ряда, и при этом использовались одни и те же аппроксимирующие функции. Поскольку в обоих методах определяющим являет-

ся вариационное уравнение Лагранжа (хотя и в разных формах записи), то, естественно, что при одинаковых аппроксимирующих прогиб функций результаты решения задачи совпадают.

В большинстве случаев использование метода Бубнова – Галеркина при решении задач рассмотренного типа приводит к менее громоздким выкладкам, чем применение метода Рэлея – Ритца.

3.5.	Изгиб защемленной по контуру прямоугольной пластины под действием равномерно распределенной поперечной нагрузки $p_0$ .
------	---

Размеры пластины и направления координатных осей в рассматриваемой задаче примем такими же, как и для шарнирно опертой прямоугольной пластины (см. рис. 2.1).

Из характера закрепления пластины следует, что прогиб  $w$  и соответствующий угол поворота ( $\partial w / \partial x$  или  $\partial w / \partial y$ ) в точках края пластины должны быть равны нулю:

$$w \Big|_{x=0, x=a} = 0 \quad , \quad \frac{\partial w}{\partial x} \Big|_{x=0, x=a} = 0 \quad ,$$

$$w \Big|_{y=0, y=b} = 0 \quad , \quad \frac{\partial w}{\partial y} \Big|_{y=0, y=b} = 0 \quad .$$

Прогиб пластины  $w = w(x, y)$  представим в виде двойного тригонометрического ряда:

$$w(x, y) = \sum_{m=1}^{\infty} \sum_{n=1}^{\infty} A_{mn} \left( 1 - \cos \frac{2m\pi x}{a} \right) \left( 1 - \cos \frac{2n\pi y}{b} \right) \Rightarrow$$

$$\Rightarrow w(x, y) = \sum_{m=1}^{\infty} \sum_{n=1}^{\infty} A_{mn} \varphi_{mn}(x, y) \quad , \tag{3.23}$$

где

$$\varphi_{mn}(x, y) = \left( 1 - \cos \frac{2m\pi x}{a} \right) \left( 1 - \cos \frac{2n\pi y}{b} \right) .$$

Подобная форма представления прогиба, с одной стороны, дает возможность удовлетворить граничные условия (и геометрические, и статические) на шарнирно опертых краях пластины, а с другой – включает параметры  $A_{mn}$ , позволяющие варьирование функции  $w = w(x, y)$ .

Определяющее уравнение метода Бубнова – Галеркина (3.11) для рассматриваемой задачи принимает вид:

$$\iint_A \left[ D \nabla^2 \nabla^2 w - p_0 \right] \delta w \, dA = 0 \quad , \quad \delta w = \sum_{m=1}^{\infty} \sum_{n=1}^{\infty} \delta A_{mn} \varphi_{mn} \quad .$$

Оставляя конечное число слагаемых в соотношении для прогиба, получим соответствующее число уравнений для отыскания параметров  $A_{mn}$  :

$$\iint_A \left[ D \nabla^2 \nabla^2 w - p_0 \right] \varphi_{mn} \, dA = 0 \quad (m = 1, 2, \dots, k; n = 1, 2, \dots, k) \quad .$$

Процедуру дальнейшего решения задачи рассмотрим в первом приближении, оставляя в соотношении для прогиба пластины только один член ряда:

$$w(x, y) = A_{11} \left( 1 - \cos \frac{2\pi x}{a} \right) \left( 1 - \cos \frac{2\pi y}{b} \right) \quad .$$

Соответственно, после преобразований в квадратной скобке подынтегрального выражения уравнение для определения параметра  $A_{11}$  будет иметь вид:

$$\int_0^a \int_0^b \left\{ -16\pi^4 D A_{11} \left[ \frac{1}{a^4} \cos \frac{2\pi x}{a} \left( 1 - \cos \frac{2\pi y}{b} \right) - \frac{1}{a^2 b^2} \cos \frac{2\pi x}{a} \cos \frac{2\pi y}{b} + \right. \right. \\ \left. \left. + \frac{1}{b^4} \left( 1 - \cos \frac{2\pi x}{a} \right) \cos \frac{2\pi y}{b} \right] - p_0 \right\} \left( 1 - \cos \frac{2\pi x}{a} \right) \left( 1 - \cos \frac{2\pi y}{b} \right) dx dy = 0 \quad .$$

После интегрирования получим:

$$-16\pi^4 D A_{11} \left[ \frac{1}{a^4} \left( -\frac{a}{2} \right) \left( b + \frac{b}{2} \right) - \frac{2}{a^2 b^2} \left( -\frac{a}{2} \right) \left( -\frac{b}{2} \right) + \frac{1}{b^4} \left( a + \frac{a}{2} \right) \left( -\frac{b}{2} \right) \right] - p_0 ab = 0$$

или после упрощений

$$-16\pi^4 D A_{11} \left( \frac{3b}{4a^3} + \frac{1}{2ab} + \frac{3a}{4b^3} \right) - p_0 ab = 0 \quad .$$

Окончательно, для определяемого параметра  $A_{11}$  получаем:

$$A_{11} = \frac{p_0}{4\pi^4 D} \cdot \frac{a^4 b^4}{3a^4 + 2a^2 b^2 + 3b^4} \quad .$$

С учетом найденного значения параметра  $A_{11}$  прогиб пластины  $w = w(x, y)$  имеет вид:

$$w(x, y) = \frac{p_0}{4\pi^4 D} \cdot \frac{a^4 b^4}{3a^4 + 2a^2 b^2 + 3b^4} \cdot \left( 1 - \cos \frac{2\pi x}{a} \right) \left( 1 - \cos \frac{2\pi y}{b} \right) \quad .$$

Максимальный прогиб в центре квадратной пластины ( $a = b$ ), найденный при коэффициенте Пуассона  $\nu = 0,3$ , будет равен:

$$w_{\max} = 0,0140 p_0 a^4 / E h^3 \quad .$$

Полученное приближенное значение максимального прогиба отличается от точного  $\bar{w}_{\max} = 0,0138 p_0 a^4 / E h^3$  меньше чем на 1,5%.

## Список литературы

1. Сапунов В.Т. Прикладная теория упругости: *Учеб. пособие*. Ч. 1. М.: МИФИ, 2008.
2. Теребушко О.И. Основы теории упругости и пластичности. М.: Наука, 1984.
3. Подгорный А.Н. и др. Основы и методы прикладной теории упругости. Киев: Вища школа, 1981.
4. Демидов С.П. Теория упругости. М.: Высшая школа, 1979.
5. Тимошенко С.П., Гудьер Д. Теория упругости. М.: Наука, 1979.
6. Амензаде Ю.А. Теория упругости. М.: Высшая школа, 1976.
7. Мусхелишвили Н.И. Некоторые основные задачи математической теории упругости. М.: Наука, 1966.
8. Винокуров Л.П. Теория упругости и пластичности. Харьков: Изд-во ХГУ, 1965.
9. Тимошенко С.П., Войновский-Кригер С. Пластинки и оболочки. М.: Физматгиз, 1963.
10. Филоненко-Бородич М.М. Теория упругости. М.: Физматгиз, 1959.
11. Ван Цзи-де. Прикладная теория упругости. М.: Физматгиз, 1959.
12. Новожилов В.В. Теория упругости. Л.: Судпромгиз, 1958.

Владимир Тимофеевич Сапунов

# ПРИКЛАДНАЯ ТЕОРИЯ УПРУГОСТИ

Учебное пособие

*Часть 2*

Редактор Н.В. Егорова

Оригинал-макет изготовлен В. Т. Сапуновым

Подписано в печать 20.11.2008.      Формат 60x84 1/16

Уч.-изд. л. 8,75    Печ. л. 8,75    Тираж 150 экз.

Изд. № 4/138    Заказ

*Московский инженерно-физический институт*

*(государственный университет)*

*115409, Москва, Каширское шоссе, 31*

*Типография издательства «Тривант».*

*г. Троицк Московской обл.*